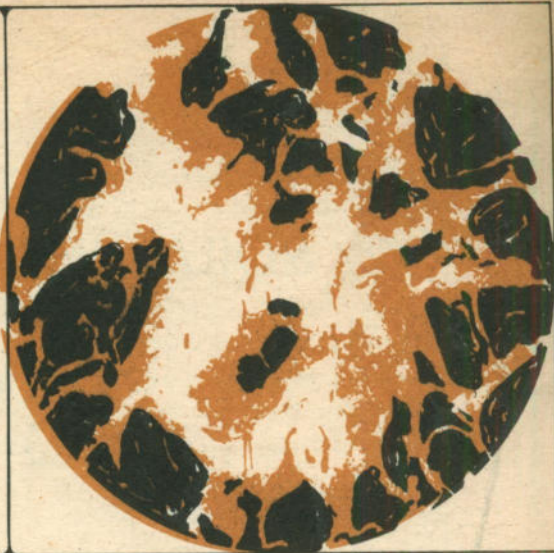


Е. Л. Афанасьева
М. П. Исаенко

ОПРЕДЕЛИТЕЛЬ
ГИПЕРГЕННЫХ
МИНЕРАЛОВ
ОКИСЛЕННЫХ
СУЛЬФИДНЫХ РУД
В ОТРАЖЕННОМ
СВЕТЕ



R 20-5



Ковеллин
Малахит

Куприт
R12-8



H

Е. Л. Афанасьева,
М. П. Исаенко

ОПРЕДЕЛИТЕЛЬ
ГИПЕРГЕННЫХ МИНЕРАЛОВ
ОКИСЛЕННЫХ
СУЛЬФИДНЫХ РУД
В ОТРАЖЕННОМ СВЕТЕ

СПРАВОЧНИК

Издание второе,
переработанное и дополненное



МОСКВА «НЕДРА» 1981

УДК 549.1

Афанасьева Е. Л., Исаенко М. П. Определитель гипергенных минералов окисленных сульфидных руд в отраженном свете. Справочник. — 2-е изд. М., «Недра», 1981.—135 с.

Содержит определительные и описательные таблицы с диагностическими свойствами 130 гипергенных и реликтовых гипогеных рудообразующих минералов окисленных и полуокисленных сульфидных руд различных типов. Рассмотрены вещественный состав, текстуры и структуры окисленных сильфидных руд и методы их исследования. Во втором издании (1-е изд. — 1974) увеличено число описываемых минералов, даны дополнительные материалы по обогащению окисленных сульфидных руд.

Для геологов, минералогов и других специалистов, занимающихся разведкой и изучением рудных месторождений. Может быть полезен студентам и аспирантам геологических вузов.

Табл. 12, ил. 23, список лит. — 76 назв.

Р е ц е н з е н т канд. геол.-минер. наук Л. П. Ермилова (ИГЕМ)

засоте эннаде Н
вийненалога и юшкагодбада

A 20805-111 8-81 1904020000
043(01)-81

© Издательство «Недра», 1981

ПРЕДИСЛОВИЕ

Первое издание книги было опубликовано в 1974 г. и быстро разошлось, что свидетельствует о настоятельной потребности в сводных справочных работах по диагностике гипергенных минералов окисленных сульфидных руд.

Минеральный состав и строение окисленных руд различных рудо-проявлений изучаются при проведении поисково-съемочных работ любого масштаба. Детальное изучение вещественного состава и строения окисленных и смешанных руд проводится в ходе поисково-разведочных работ на месторождениях полезных ископаемых и в пределах рудных полей. Исследования вещественного состава и строения окисленных руд необходимы для разработки схем обогащения и технологии извлечения полезных компонентов, а также изучения процессов минералообразования в зоне окисления.

Состав минералов в зоне окисления сложен и крайне разнообразен. Минералы обогащены различными примесями; многие трудно диагностируются. Руды обладают разнообразными по морфологии сложными текстурами и структурами; характерны пустоты выщелачивания, тонкие прорастания минералов, размытые и тонкозазубренные границы выделений, пропитка агрегатов и пород вследствие метасоматического замещения, наличие порошковатых, хрупких агрегатов. В процессе разработки окисленные минералы легко переизмельчаются и переходят в шлам.

В настоящее время растут требования к комплексному исследованию и использованию бедных окисленных и смешанных руд, которые все шире вовлекаются в эксплуатацию. Невосполнимость минеральных ресурсов и исчерпание богатых месторождений требуют резкого сокращения потерь руды в недрах, вовлечения в эксплуатацию новых видов сырья и более бедных руд.

В ст. 18 Конституции СССР указывается, что «в интересах настоящего и будущих поколений в СССР принимаются необходимые меры для охраны и научно обоснованного, рационального использования земли и ее недр, водных ресурсов...».

Второе издание Определителя значительно дополнено и улучшено. Определительные и описательные таблицы переработаны с учетом новых достижений в изучении гипергенных минералов как в СССР, так и за рубежом.

В определительных и описательных таблицах приведены количественные константы и качественная характеристика 130 реликтовых и гипергенных рудообразующих минералов. Для каждого минерала даны теоретический химический состав, величины отражения и микротвердости, качественная характеристика цвета, двоотражения, внутренних рефлексов, форма и строение минеральных индивидов, результаты трав-

ления. В описательных таблицах, кроме того, имеются сведения о методике микрохимического анализа, характерных линиях дебаеграмм, показателе преломления и типоморфном парагенезисе минералов.

Написана новая глава IV, посвященная описанию морфологических видов срастаний минералов, неблагоприятных для обогащения окисленных и полуокисленных руд. Значительно дополнена и расширена глава V за счет описания современных методов диагностики гипергенных рудных минералов в отраженном свете.

При подготовке второго издания книги учтены ценные замечания и советы проф. С. А. Вахромеева, академика Е. К. Лазаренко, старших научных сотрудников Л. П. Ермиловой и С. С. Боришанской, доцента Н. А. Журавлевой, преподавателей и аспирантов кафедры полезных ископаемых МГРИ. Всем им авторы приносят искреннюю благодарность.

Глава I

ВЕЩЕСТВЕННЫЙ СОСТАВ ОКИСЛЕННЫХ И ПОЛУОКИСЛЕННЫХ РУД СУЛЬФИДНЫХ МЕСТОРОЖДЕНИЙ

Характеристика природы реакций и агентов выветривания сульфидных месторождений, роль процессов окисления, растворения и гидролиза детально рассмотрены в ряде монографий и статей [Смирнов С. С., 1951; Смирнов В. И., 1969; Щербина В. В., 1972 и др.].

По химико-минералогическому составу и строению в зоне окисления рудных месторождений выделяются три типа руд: окисленные, полуокисленные или смешанные и первичные сульфидные.

Исследование вещественного состава окисленных и полуокисленных руд должно проводиться в трех направлениях: 1) изучение типоморфных гипергенных минералов; 2) изучение гипогенных реликтовых рудных и жильных минералов; 3) изучение элементов-примесей в гипергенных минералах.

Типоморфные гипергенные минералы

Минералогия окисленных и полуокисленных руд сульфидных месторождений гораздо более разнообразна, чем минералогия первичных сульфидных руд. Гипергенные минералы широко распространены в земной коре, и на их долю приходится не менее 25 % от всего числа минеральных видов.

Окислы, гидроокислы, сульфаты и карбонаты представляют собой главнейшие, наиболее частые минералы окисленных руд. Меньше развиты арсенаты, антимонаты, молибдаты и силикаты. Незначительно распространены некоторые галоидные минералы и самородные элементы. В полуокисленных рудах всегда встречаются сульфиды. Это гипогенные реликтовые сульфиды и гипергенные вторичные сульфиды меди, цинка и серебра.

Как показано в табл. 1, гипергенные минералы отлагаются в зоне окисления в широком интервале времени в кислой, нейтральной и щелочной среде. Схема составлена по данным Р. Гаррелса [1962], В. В. Щербины [1960, 1962, 1972] и других исследователей.

В минеральном составе отдельных участков зоны окисления устанавливается большая неоднородность. При окислении сульфидных руд, представляющих собой наборы различных по составу парагенетических минеральных ассоциаций, образуются разнообразные типоморфные ассоциации гипергенных минералов. Минеральный состав типоморфных ассоциаций некоторых окисленных сульфидных месторождений приведен в табл. 2. В качестве примеров типоморфных парагенетических ассоциаций окисленных и полуокисленных руд можно рассматривать их состав для некоторых генетических типов сульфидных руд.

Медноколчеданные руды в хлоритовых и серицитовых сланцах или в гидротермально измененных порфиритах, в зоне окисления превращаются в окисленные и полуокисленные руды. Главными типоморфными минералами меди в этих рудах являются малахит, азурит, куприт, тенорит, халькантит, брошантит, халькозин, борнит, ковеллин, хризоколла, самородная медь и др. Сульфиды железа в зоне окисле-

Таблица 1

Схема распределения главнейших парагенетических ассоциаций минералов в зоне окисления медно-молибденовых месторождений в зависимости от величины рН среды

R	рН											
	2	3	4	5	6	7	8	9	10	11	12	
R^0		Au золото		S Сера								
				Cu Медь								
				Ag Серебро								
R^I				Kуп- рит Cu	Cu_2O			Xалькоzin Cu_2S				
				Ag	Cu_2S			Штромейе- рит Ag_2S				
				Кераргирит $AgCl$		Ag	Аргентит Ag_2S					
R^{II}				Тено- рит CuO			Fe Марказит FeS_2					
				Лам- падит $mCuO \cdot nMnO_2 \cdot pH_2O$			Азурит $3CuO \times 2CO_2 \cdot H_2O$					
				Cu			Малахит $2CuO \times CO_2 \cdot H_2O$					
	Fe	Делафоссит $CuFeO_2$		Дела- фос- сит			Каль- цит $CaCO_3$	Ковеллин CuS				
								Борнит $Cu_3 \cdot FeS_4$				
								Халько- нирит $CuFeS_2$				
R^{III}		Ферримо- либдит $Fe_2O_3 \cdot 2MoO_3 \cdot 7H_2O$										
		Гётит $Fe^2 \times O_3 \cdot H_2O$										
		Лепидокро- кит $FeO(OH)$										
	Fe	Ярозит $K_2O \cdot 3Fe_2O_3 \cdot 4SO_4 \cdot 6H_2O$										
		Гематит Fe_2O_3										
					Каолинит			Каолинит $Al_2O_3 \cdot 2SiO_2 \cdot 2H_2O$				
					Гидрослюды			Гидрослюды				

Продолжение табл. 1

R	рН											
	2	3	4	5	6	7	8	9	10	11	12	
<i>R^{IV}</i>	Опал $\text{SiO}_2 \cdot n\text{H}_2\text{O}$						Si	Опал				
	Халцедон SiO_2						Халцедон					
	Si						Кварц					
	Кварц SiO_2	Mn	Пиролюзит MnO_2				Хризоколла $\text{Mo} \cdot \text{CuO} \times \text{SiO}_2 \times n\text{H}_2\text{O}$					
			Псиломелан $m\text{MnO} \cdot \text{MnO}_2 \times n\text{H}_2\text{O}$				Пиролюзит MnO_2	Йордизит MoS_2				
		Ti	Рутил TiO_2				Псиломелан					
<i>R^V</i>			Лейкоксен $\text{TiO}_2 \cdot n\text{H}_2\text{O}$				Лампадит					
		As	Скородит $\text{FeAsO}_4 \cdot 2 \times n\text{H}_2\text{O}$									
<i>R^{VI}</i>		Ферри- молибдит Mo					Повеллит $\text{CaMoO}_4 \cdot \text{Mo}$					
	Среда	Кислая	Слабокислая				Нейтраль- ная	Слабо- щелочная	Щелочная			

ния переходят в сульфаты, а затем в гидроокислы железа — мелантерит, ярозит, гётит, гидрогётит, гидрогематит, делафоссит и др. В гидроокислах железа нередко развиты выделения самородного золота.

Сульфидные медно-никелевые руды, залегающие в габбро-норитах и перidotитах в зоне окисления замещаются следующими типоморфными минералами: аннабергитом, миллеритом, никель-и кобальтсодержащими лимонитами, малахитом, азуритом, купритом и др.

Сульфидные медно-молибденовые прожилково-вкрашенные руды в зоне окисления превращаются в агрегат гипергенных минералов: гидроокислы железа, содержащие молибден и медь, ярозит, каолинит, опал, кальцит, гипс, повеллит, ферримолибдит, малахит, азурит, лампадит, хризоколла, куприт, тенорит, самородная медь, халькозин, ковеллин, борнит и др.

Сульфидные свинцово-цинковые руды в карбонатных породах в зоне окисления замещаются англезитом, церусситом, смитсонитом, монгеймитом, каламином, плюмбоязозитом, миметезитом, аргентитом,

Таблица 2

Минеральный состав главнейших типоморфных ассоциаций в зоне окисления сульфидных месторождений

Месторождения	Гипергенные минералы		Главные гипогенные минералы (рельефовые)
	главные	второстепенные	
Медные	Самородная медь, куприт, тенорит, малахит, азурит, хризоколла, лампадит, халькозин, джарлсит, борнит, каолинит, кальцит, гипс	Халькантит, броунит, линкарт, антлерит, дионгаз, халькопирит, либетинит, оливинит, атакамит, золото, серебро, электрум, аргентит, опал, халцедон, кварц	Халькопирит, борнит, пирит, эпандит, халькозин, сфалерит, тенинантит, тетраэдрит, магнетит, рутил
	Колчеданые	Гётит, гидрогёйт, гидрогематит, мелангерит, ярозит, каолинит, мельниковичит, опал	Пирит, марказит, пирротин, магнетит, рутил
Свинцовые	Церуссит, пироморфит, вульфенит, крокоит, массикит, кальцит, аргиллит, пластинерит, ковеллии	Ванадинит, англезит, бедантит, миметизит, штольнит, сурник, фосгенит, ледяниллит, линкарит, пломбоярозит, бишегимит, ярозит, псиломелан, пироломонит, галлуазит, халцедон, кварц, коронадит, криптомелан, деклуазит	Галенит, булапжерит, лжемонит
	Серебряные	Самородное серебро, керарит	Аргентит, штромейерит, пираргирит, пруссит, серебросодержащий халькозин
Цинковые	Смитсонит, каламин, монгаймит, виллемит	Аурихальцит, адамин, гостларит, липарит, малахит, хризоколла, цинковомедный мелангерит, гидроцинкит, сфалерит, ярозит, гётит, тенорит, гематит, лепидокрохит, магнезит, кальцит	Сфалерит, халькопирит, пирит, галенит
Кадмийевые	Гринокит, кадмийсодержащий смитсонит	Отавит	Кадмийсодержащий сфалерит

Кадмийные	Гриокит, кадмийсодержащий смитсонит	Сенармонтит, биодгеймит, кермезит, самородная сурьма, валентинит, самородная ртуть	Антимонит, буланжерит, тетраэдрит, киноварь	Отавит	Кадмийсодержащий сфалерит
Сурьяные, сурьмянно-рутные	Серванит, стибоконит				
Мышьяковые	Скородит, содержащие мышьяк лимониты	Миметезит, бедантит, шиттицит, арсениолит, самородный мышьяк, реальтар, аурнигмент, золото	Арсенопирит, лёллингит, самородный мышьяк, энаргит, реальгар, ауринигмент, теннантит		
Золотые	Золотое золото, гётит, гидрогётит, ярозит, скородит	Псиломелан, пиролозит	Самородное золото, золотосодержащие сульфиды (пирит, арсенопирит и др.), теллуриды золота, кварц, карбонаты, адуляр		
Висмутовые		—	Высмутин, теллуриды висмута, самородный висмут, козаллит		
Никелевые	Аниабергит, никельсодержащие лимониты		Хлоаитит, пентландит, никельин, гесперфит		
Кобальтовые	Эритрин, лавандулан, кобальтсодержащие лимониты, асболан, сфереокобальтит	Моренозит, биберит, никельсодержащий лимонит, каолинит, халцедон, вионазит, бравонит	Биберит, кобальтсодержащий лимонит, никелин, каолинит, халцедон		
Оловянные			Кобальтин, смальтин, линнит		
Молибденовые			Касситерит, станин		
			Молибденит		

свинец- и цинксодержащими бурыми железняками, гринокитом, отвивом и др.

Сульфидные золото-мышьяковые руды в зоне окисления превращаются в агрегат скородита, гидроокислов железа мышьяксодержащих, бедантита, миметезита и др. В агрегате гипергенных минералов часто развиты включения самородного золота.

Гипогенные реликтовые рудные и жильные минералы как указатели состава первичных сульфидных руд

Процесс окисления сульфидных руд происходит неравномерно не только на месторождении, но и в одном рудном теле. Поэтому часто встречаются в окисленных и полуокисленных рудах первичные минералы в виде реликтов, например золото самородное, серебро самородное, алтait, молибденит, антимонит, пираргирит, висмутин, пентландит, халькопирит, пирротин, теннантит, фрейбергит, тетраэдрит, энаргит, сидерит, родохрозит, доломит, анкерит, смальтина, арсенопирит, кобальтин, марказит, пирит, линнент, кварц и др. Реликты первичных сульфидов во многих случаях устанавливаются лишь под микроскопом в отраженном свете, они являются точным указателем состава первичных руд и всегда могут быть обнаружены при внимательном исследовании окисленных руд (рисунки 1, 6).

Сульфиды окисляются с различной скоростью в одних и тех же условиях, например в медно-молибденовых рудах молибденит более устойчив по сравнению с пиритом и халькопиритом, поэтому он может оставаться чаще в виде реликтов, тогда как пирит и халькопирит уже полностью окислены; в медно-мышьяковых рудах халькопирит при окислении менее устойчив, чем энаргит, поэтому он замещается полностью гётитом, а более устойчивый энаргит в тех же условиях остается реликтовым минералом (рис. 2).

Из сказанного ясно, что при изучении состава первичных руд обязательно учитывается скорость окисления сульфидов (табл. 3) и растворимость сульфатов в воде (табл. 4).

Некоторые минералы в рудах могут иметь гипогенное и гипергенное происхождение, например золото самородное, мышьяк самородный, сфалерит, аурипигмент, марказит, халькоzin, ковеллин, борнит, мил-

Последовательность окисления сульфидов [С. С. Смирнов, 1951]

Реагенты	Минералы
$H_2O + O$	Сфалерит, халькоzin, пирротин, халькопирит, борнит, пирит, галенит, ковеллин, энаргит, аргентит, молибденит
H_2SO_4	Пирротин, тетраэдрит, сфалерит, галенит, халькопирит, арсенопирит, марказит, пирит
$Fe_2(SO_4)_3$	Пирротин, тетраэдрит, галенит, арсенопирит, сфалерит, пирит, энаргит, марказит, халькопирит
$CuSO_4$ (без доступа кислорода)	Галенит, пирротин, сфалерит, халькопирит, борнит, пирит, ковеллин, халькоzin



Рис. 1. Реликтовая и сетчатая микротекстура. Выделения халькоцина (светло-серое) интенсивно корродируются и пересекаются микропрожилками куприта (серое). Чёрное — нерудные минералы. Месторождение Каджаран, Армянская ССР. Полированый шлиф. Ув. 70

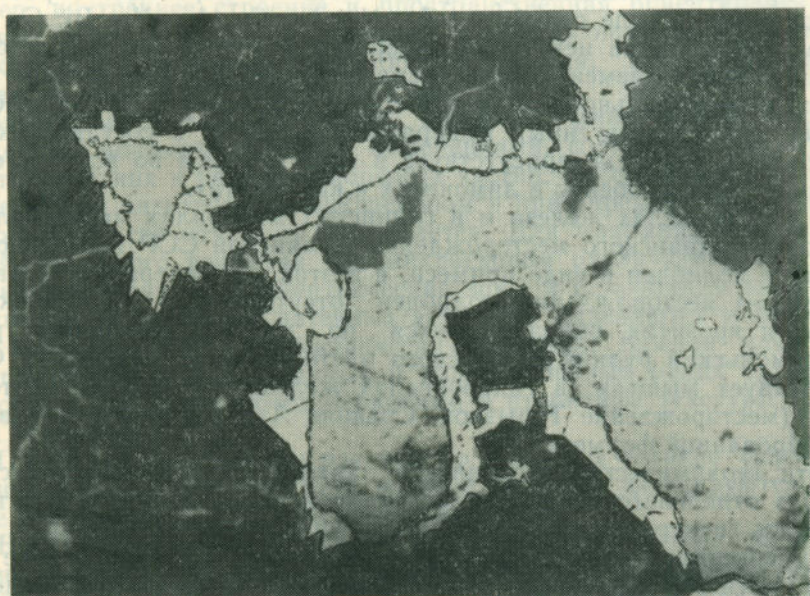


Рис. 2. Реликты каемок энаргита (белое) развиты вокруг выделений гётита (серое); последний образовался по халькопириту. Нерудные минералы (чёрное). Месторождение Каджаран, Армянская ССР. Полированный шлиф. Ув. 340

Таблица 4 Гла

ТЕКС

Растворимость сульфатов в воде [В. Эммонс, 1935]

Сульфаты	Растворимость, г/л	Температура, °C	Сульфаты	Растворимость, г/л	Температура, °C
ZnSO ₄	531,2	18	FeSO ₄	157,0	0
MnSO ₄	393,0	25	CuSO ₄	172,0	20
NiSO ₄	274,8	22,6	Ag ₂ SO ₄	7,7	17
CoSO ₄	265,8	20	PbSO ₄	0,041	18

лерит, аргентит и другие, поэтому необходимо различать их природу. Генезис сульфидов в окисленных рудах должен определяться крайне осторожно с учётом текстурно-структурного и парагенетического анализа, их пространственного расположения и всех геолого-минералогических особенностей зоны окисления.

Нерудные или жильные минералы сульфидных руд, такие, как кварц, серицит, хлорит, карбонаты, флюорит, барит и другие, устойчивы при окислении и часто сохраняются в виде реликтов среди гипергенных минералов.

Типоморфные химические элементы-примеси в гипергенных минералах, указывающие на состав первичных руд

В процессе окисления сульфидов металлы переходят в растворимое состояние в виде сульфатов Zn, Mn, Ni, Cu, Ag, Mo, Bi, Cd и др. Они входят в состав некоторых гипергенных минералов в виде основных химических элементов или элементов-примесей. По данным химического и спектрального анализа многочисленных проб окисленных медных руд и гипергенных минералов, входящих в состав этих руд, установлено, что медь присутствует в виде примеси во всех гипергенных минералах, особенно в лимонитах и каолинитах.

В гидроокислах железа и в глинистых минералах медно-молибденового Каджаранского месторождения Армянской ССР постоянно присутствует молибден в виде примеси, а в этих же минералах Кафанского медного месторождения молибден отсутствует. В гидроокислах железа и ярозитах, образовавшихся по медно-мышьяковым рудам (Комсомольский рудник Кафанско-го месторождения Армянской ССР), присутствует мышьяк; в гидроокислах железа висмутовых месторождений (месторождение Тарыэкон, Средняя Азия) присутствует висмут в сорбированной форме и т. д.

Эти геохимические особенности характерны для зоны окисления каждого отдельного сульфидного месторождения, поэтому желательно проверять спектральным анализом все гипергенные минералы.

Гипергенная каолинизация и лимонитизация развиты в зоне окисления почти всех сульфидных месторождений, поэтому при исследовании выходов сульфидных месторождений на дневную поверхность желательно тщательно изучать элементы-примеси прежде всего в каолинитах и гётитах. Известно, что эти минералы обладают сильной адсорбцией: они могут содержать все типоморфные химические элементы, выносимые из первичных руд поверхностными водами.

ТЕКСТУРЫ И СТРУКТУРЫ ОКИСЛЕННЫХ РУД

В зоне окисления при действии агентов выветривания первичные сульфидные руды изменяют состав и строение. Вследствие процессов выщелачивания, механического разрушения и переотложения вещества первичных руд возникают новые типы срастаний.

Текстурно-структурные особенности — один из основных критерий при установлении последовательности выделения минеральных ассоциаций и минералов в окисленных рудах и технологической характеристике руды с целью обогащения.

В специальной литературе существует различное понимание терминов «текстура» и «структура» руд. Ниже приведены общепринятые определения этих терминов.

Текстура — строение руды, обусловленное формой, величиной и характером срастания минеральных агрегатов. Под минеральным агрегатом следует понимать характерные сростки минералов определенных парагенетических ассоциаций. Минеральный агрегат выделяется в руде по совокупности признаков (вещественный состав, форма, величина и внутреннее строение агрегата или структура агрегата). В зависимости от формы и размера минеральных агрегатов и их сочетания друг с другом текстуры подразделяются на морфологические виды, например вкрашенная, прожилковая, брекчевая и др.

В рудах выделяются текстуры, если величина агрегата более 2 мм в поперечнике, и микротекстуры, если величина агрегата менее 2 мм.

Структура — строение минерального агрегата, обусловленное формой, величиной и характером срастания минеральных зерен. Морфологической единицей структуры является минеральное зерно. Форма, размер, внутреннее строение и пространственная ориентировка минеральных зерен — основные признаки, определяющие морфологический вид структуры, например идиоморфнозернистая, аллотриоморфнозернистая, гипидиоморфнозернистая и др.

Иногда в рудах встречаются натечные минеральные агрегаты, сложенные мономинеральными выделениями, состоящими из скрыто-кристаллических и рентгеноаморфных частиц. Форма таких частиц различается под электронным микроскопом и при определении морфологического вида структуры не учитывается. Для мономинеральных выделений аморфного вещества под микроскопом различаются следующие характерные формы: концентрические зоны и однородные выделения с трещинами усыхания. В натечных агрегатах выделяются морфологические виды структур: концентрически-зональная, гелевая или скрыто-кристаллическая. В окисленных и полуокисленных рудах сульфидных месторождений выделяются первичные и вторичные текстуры и структуры (табл. 5).

Первичные текстуры и структуры — такие формы срастания минеральных агрегатов и зерен, которые формируются в процессе отложения руды в экзогенных условиях.

Вторичные текстуры и структуры — новые формы срастания минеральных агрегатов и зерен, которые образуются после отложения руды, в результате ее изменения в процессе дробления смятия, выщелачивания и перекристаллизации.

Морфологические виды текстур и структур по условиям их формирования объединяются в генетические группы. Первичные текстуры и структуры подразделяются на две генетические группы: 1) образовав-

Таблица 5

Главнейшие текстуры и структуры окисленных руд сульфидных месторождений

Генетические группы текстур и структур	Первичные			Вторичные		
	Морфологические виды	Структуры	Текстуры	Структуры	Текстуры	Структуры
Образовавшиеся в процессе заполнения открытых полостей в породах и рудах	Прожилковая, полосчатая, сталактитовая, корковая, г्रоздевидная, пигментная, дендритовая, колломорфная, почковидная, напачко-скорлуповатая, друзовая, жалодовая, брекчевая, порошковая, землистая, сажистая, охристая	Зернистые: идиоморфиозернистая, аллориоморфиозернистая, радиально-лучистая Коллоидные: гелевая, скрытоクリсталлическая, концентрически-зональная	Метазернистые: идиоморфометазернистая, аллориоморфометазернистая, скелетная, гелевая и скрыто-кристаллическая	Каркасные: губчатая, кавернозная, пиритовая, яичистая, ячистая, скелетная, яичничная	Катахластические: раздробленная, пористая, ячистая, скелетная, яичничная	Кристаллобластические: почковидная, колломорфная, коркодиальто-лучистая, волокнистая, гранобластическая
Образовавшиеся в процессе магасоматического замещения пород и руд	Унаследованные: вкрапленная, пятнистая, прожилкообразная, полосчатая	Коррозионные: интебразальная, пегельчатая, решетчатая, камончая, реликтовая	Образовавшиеся в процессе выщелачивания и дробления	Метаколлоидные: обломочная, порошковая, трещиноватая	Текстуры образований в пор-	шииеся 2) обра- руд. Э В матиче- ются м личных имеют больше ют неп больше Пе являет ных а туры. лов и рых с видеть спектр менто- ностью ляющи ду раз- часто В ческие ния, д диаген- В зиса. и кол- ная. Д ские с гатов. Н генети- вых м бых м замеш- ния т ролов гипер
Образовавшиеся в процессе диагенезиса окисленных руд						Перв Текст образ в пор-

шиеся в процессе заполнения открытых полостей в породах и рудах; 2) образовавшиеся в процессе метасоматического замещения пород и руд. Эта группа срастаний наиболее широко развита в рудах.

В минеральных агрегатах, сформировавшихся в процессе метасоматического замещения пород и руд в экзогенных условиях, наблюдаются метазернистые структуры. Такие структуры характерны для различных форм срастания метазерен и метакристаллов. Метакристаллы имеют правильную кристаллографическую форму, обусловленную большой силой кристаллизационного роста минералов. Метазерна имеют неправильную форму, характерны для минералов, не обладающих большой силой кристаллизованного роста.

Первой характерной особенностью метакристаллов и метазерен является их неравномернозернистость. Для псевдоморфных гипергенных агрегатов характерны аморфные и скрытокристаллические структуры. Вторая особенность заключается в наличии внутри метакристаллов и метазерен реликтов замещенных минералов. Реликты в некоторых случаях наблюдаются невооруженным глазом, иногда их можно видеть под микроскопом; изредка они выявляются лишь с помощью спектрального анализа по примеси тех или других типоморфных элементов, унаследованных минералом при замещении. Третьей особенностью метакристаллов и метазерен является характер границ, разделяющих замещаемый и замещающий минералы. Обычно границы между разновозрастными минералами зазубренные, но метакристаллы часто имеют прямые, и зазубренные границы.

Вторичные текстуры и структуры подразделяются на две генетические группы: 1) образовавшиеся в процессе механического выветривания, дробления и выщелачивания руд; 2) образовавшиеся в процессе диагенезиса окисленных руд.

В окисленных рудах развиты метаколлоидные текстуры диагенезиса. Морфологические виды метаколлоидных текстур такие же, как и коллоидных: колломорфная, колломорфно-полосчатая и почковидная. Для метаколлоидных агрегатов характерны кристаллобластические структуры, возникшие в процессе раскристаллизации гелевых агрегатов.

Ниже рассмотрены морфологические виды текстур и структур по генетическим группам на примере окисленных руд медно-молибденовых месторождений. Окисленные руды на некоторых медно-молибденовых месторождениях широко развиты. Они образуются в результате замещения первичных сульфидов гипергенными минералами, заполнения трещин и пустот выщелачивания при отложении вторичных минералов из истинных и коллоидных растворов и накопления устойчивых гипергенных и гипогенных минералов.

Первичные текстуры и структуры

Текстуры и структуры окисленных руд, образовавшиеся в процессе заполнения открытых полостей в породах и рудах

В окисленных рудах медно-молибденовых месторождений развиты следующие первичные текстуры: прожилковая, полосчатая, корковая, дендритовая, колломорфная, почковидная, друзовая, секреционная, брекчневая, охристая; из зернистых структур: идиоморфнозернистая, аллотриоморфнозернистая, а также гелевая и скрытокристаллическая.

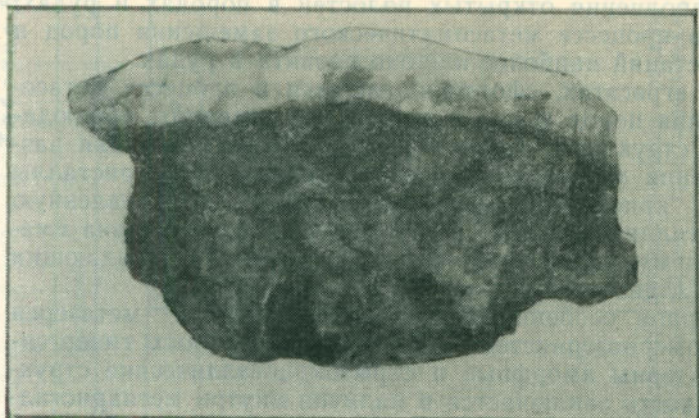


Рис. 3. Корковая текстура. Корочка арагонита (белое) развита на трещине в лимонитизированной породе (темно-серое). Место рождения Каджаран карьер. Натуральная величина

Минеральные агрегаты, возникающие при заполнении трещин и пустот выщелачивания, всегда сложены гипергенными минералами.

Прожилковая текстура довольно широко распространена в окисленных рудах и характеризуется развитием в горных породах и жильном кварце прожилков гётита, малахита, азурита, повеллита, лампадита, халькозина, ковеллина, хризоколлы, гипса, халцедона, гипергенного кальцита и др. Мощность прожилков от нескольких миллиметров до 2—3 см, редко больше.

Полосчатая текстура также встречается в окисленных рудах. Она сложена параллельно чередующимися полосками-прожилками (ширина от 2—3 до 5—10 мм) гётита, малахита, арагонита, лампадита, кальцита и хризоколлы.

Корковая и дендритовая текстуры представлены тонкими корочками гипергенных минералов: гётита, малахита, азурита, кальцита, арагонита, гипса, лампадита, хризоколлы на стенках трещин в раздробленных горных породах и в жильном кварце или они выстилают в них небольшие полости и поры выщелачивания. В каолинизированных и лимонитизированных вмещающих породах по трещинам развиты корки лампадита и кальцита или кальцита и арагонита (рисунки 3, 4). Иногда на корочках лимонита нарастают последовательно корочки лампадита, малахита. Очень часто корковая текстура переходит в колломорфную.

Тонкие дендриты окислов марганца развиты по трещинам в лимонитизированных породах. Очень редко встречаются дендриты самородной меди.

Колломорфная и почковидная текстуры наблюдаются в окисленных рудах, сложенных агрегатами малахита, арагонита, гётита, хризоколлы, тенорита, кирпичной медной руды и лампадита (рисунки 4, 5).

Друзовая текстура редко развита в окисленных рудах. Друзы куприта, гипса, гипергенного кальцита, малахита и азурита нарастают на стенах трещинок и небольших полостей, выстланных тонкими корочками гётита.

Размеры кристаллов минералов в друзах достигают нескольких миллиметров, редко 1—2 см.

Секреционная структура характеризуется нарастанием корок гётита, лампадита и малахита в изометричных и удлиненных пустотах выщелачивания. Такие минеральные агрегаты в отличие от друзовых имеют скрытокристаллическое и волокнистое строение.

Рис. 4. Развита жаран,

Рис. 5
(белое
ванный)

Б
ломки
рован
халце

О
желез
пусто
цвета

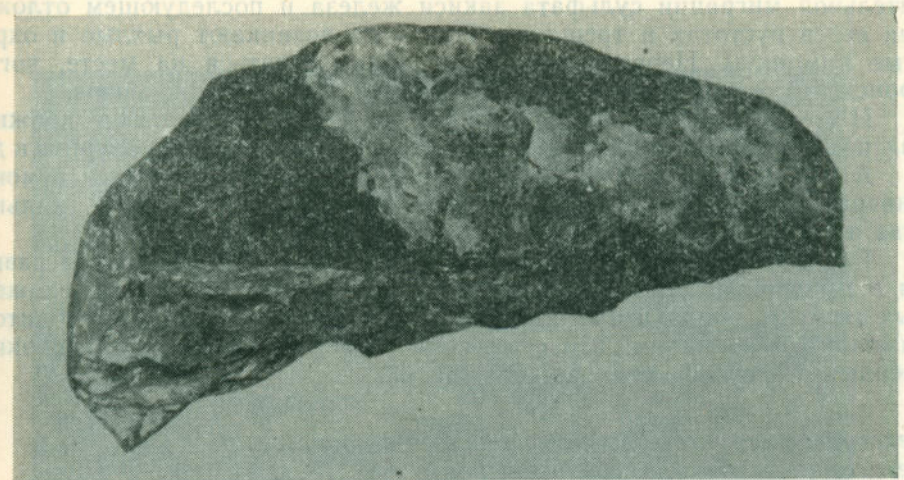


Рис. 4. Корковая текстура заполнения пустот. Корочка малахита (вверху, светло-серое) развита на корочке лампадита (внизу, черное), серое — порода. Месторождение Каджаран, карьер, Армянская ССР. Образец. Натуральная величина



Рис. 5. Колломорфная и почковидная текстуры коллоидных агрегатов пиролюзита (белое) и лампадита (серое). Месторождение Каджаран, Армянская ССР. Полированый шлиф. Ув. 100

Брекчевая текстура встречается в окисленных рудах, где обломки каолинизированных или лимонитизированных пород сцементированы гётитом, гидрогематитом, лампадитом, гипергенным кальцитом, халцедоном, а также гипсом.

Охристая текстура характеризуется выделениями гидроокислов железа и ферримолибдита в виде тонких налетов по трещинкам и в пустотах, окрашивающих породы в желтый, желто-бурый и бурый цвета. Образование порошковатых масс может происходить при зна-

чительной миграции сульфата залиси железа и последующем отложении его в пустотах и трещинах. При этом возникают рыхлые и охристые лимониты. Нередко они могут образовываться на месте, когда происходит значительный вынос из породы других компонентов.

Идиоморфнозернистая структура наблюдается в прожилках повеллита, в прожилках и друзах куприта, кальцита, азурита и др.

Аллотриоморфнозернистая структура встречается в мономинеральных прожилках куприта, кальцита, гипса, борнита, халькозина и др.

Гелеевая и скрытокристаллическая структуры развиты в минеральных агрегатах натечной и почковидной формы, сложенных гётитом, малахитом, хризоколлой, ярозитом, ферримолибдитом, лампадитом и опалом. Эти структуры особенно характерны для окисленных руд сульфидных месторождений.

Текстуры и структуры, образовавшиеся в процессе метасоматического замещения пород и руд

По форме различают два главных типа замещения: коррозионное и унаследованное (см. табл. 4). В окисленных рудах обычно наблюдаются все формы замещения, проявленные с различной интенсивностью. К этой генетической группе в окисленных медно-молибденовых рудах относятся следующие морфологические виды текстур: вкрапленная, пятнистая, прожилкообразная, нитеобразная, петельчатая, решетчатая, каемочная, реликтовая, а из метазернистых структур: идиоморфнозернистая, аллотриоморфнозернистая, скелетная, гелеевая и скрытокристаллическая.

Вкрапленная унаследованная текстура в окисленных рудах очень часто встречается в виде псевдоморфоз халькозина и гётита по вкрапленности халькопирита, гётита; лепидокрокита по вкрапленности пирита; повеллита по чешуйкам молибденита (рис. 6). Размеры вкрапленности составляют доли миллиметра, редко несколько миллиметров.

Пятнистая унаследованная текстура широко развита в зоне окисления и цементации и характеризуется псевдоморфозами халькозина, ковеллина, борнита или гётита и лепидокрокита по выделениям халькопирита и пирита, с размерами от нескольких миллиметров до нескольких сантиметров.

Прожилкообразная унаследованная текстура образуется при метасоматическом замещении прожилков первичных сульфидов гидроокислами железа (рис. 7). Мощность метасоматических прожилков изменчивая, прожилки часто прерывистые, границы их зазубренные. Гидроокислы железа обладают большой способностью окрашивать породу вдоль зальбандов сульфидного прожилка. В метасоматическом гипергенном минеральном агрегате нередко наблюдаются реликты первичных сульфидов.

Нитеобразная микротекстура в окисленных рудах встречается довольно часто. Она характеризуется развитием нитеобразных мономинеральных микропрояжилков халькозина по тонким трещинам в масле халькопирита, гётита в пирите, гётита или марказита в халькопирите, гётита в повеллите. Границы прожилков зазубренные, что хорошо видно при большом увеличении микроскопа.

Петельчатая или сетчатая микротекстура образуется при замещении агрегата пирита гидроокислами железа, халькопирита — гётитом (рис. 8), ярозита — гётитом, халькозина — купритом. При этом копирита — жилья. Агрегат на величину

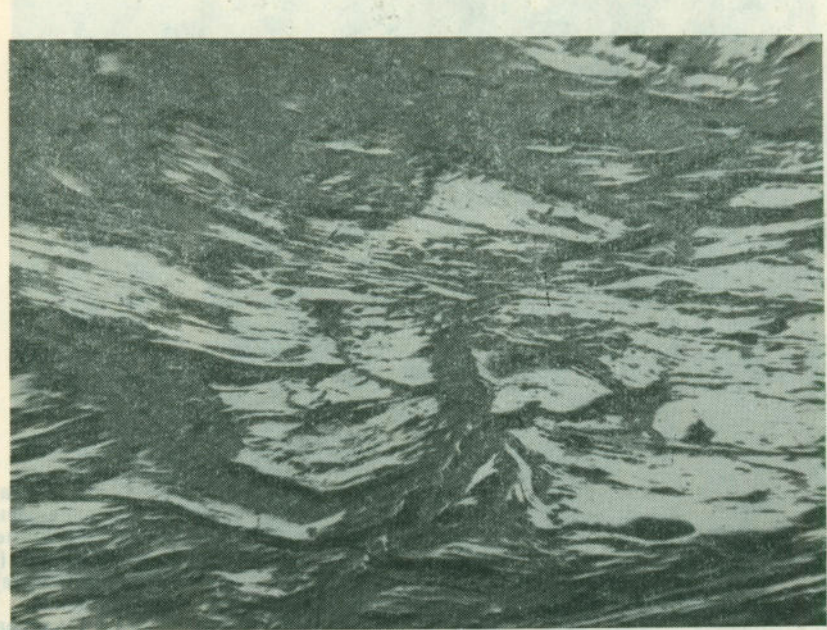


Рис. 6. Реликтовая микротекстура. Реликты молибденита (белое) в массе повеллита (серое). Месторождение Каджаран. Полированный шлиф. Ув. 100

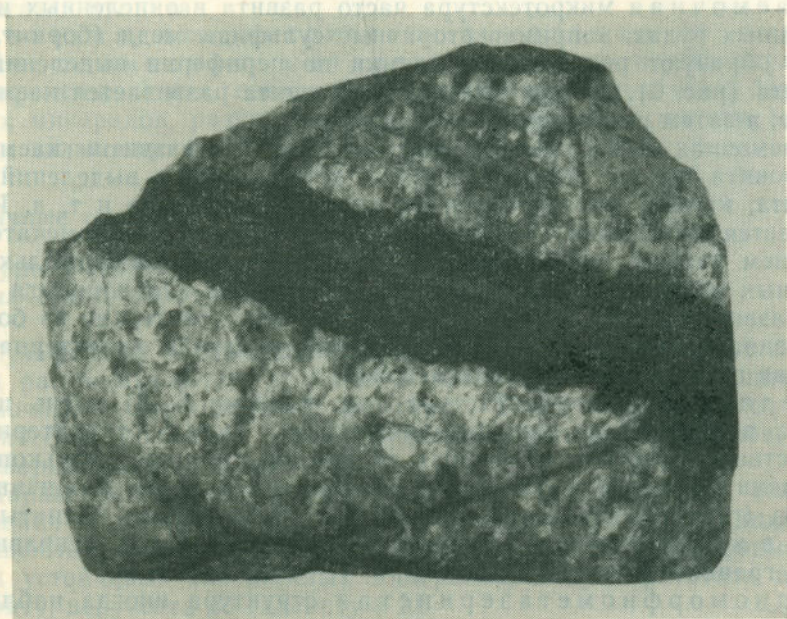


Рис. 7. Сильно каолинизированный монцонит с прожилками лимонитизированного халькопирита (черное). Гидроокислы железа интенсивно пропитывают породу вдоль прожилка. Месторождение Каджаран, Армянская ССР. Полированный штифт. Натуральная величина

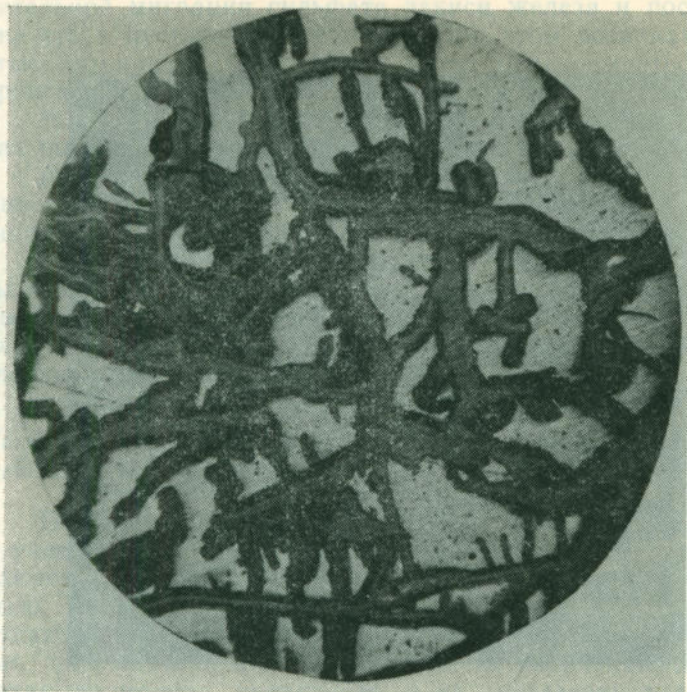


Рис. 8. Сетчатая реликтовая микротекстура замещения халькопирита (белое гётитом (серое). Металлорождение Блязи Урал. Полированный шлиф. Ув. 40

Рис. 9.
Нерудни
ванный

развит в массе первичного сульфида. Границы микроскопических прожилков зазубренные.

Каемочная микротекстура часто развита в окисленных и полувагретах окисленных рудах, например вторичные сульфиды меди (борнит, халькозин) образуют реакционные каемки по периферии выделений халькопирита (рис. 9). Вокруг выделений галенита развивается каемка андрадита и других

глазита, а затем церуссита. Каемочная микротекстура формируется при развитии каемок лейнита и пидокрокита вокруг агрегата пирита, гётита вокруг выделений халькопирита, каемок малахита вокруг выделений куприта и т. д. Иногда встречается зональная каемочная микротекстура, примечательна развитие каемок, состоящих из концентрических зон нескольких гипогенных минералов, например вокруг реликтов халькопирита может быть развита сложная каемка, состоящая последовательно из борнита, халькозина, ковеллина и гётита. Для такого случая характерна определенная последовательность замещения.

Реликтовая микротекстура (см. рисунки 6, 8) очень широко развита в окисленных медно-молибденовых рудах; характеризуется присутствием остатков первичных сульфидов (пирита, халькопирита, молибденита, энаргита, галенита, сфалерита) в массе вторичных минералов (гётита, повеллита и англезита). Встречаются реликты халькозина в купrite, ярозите, гётите и др. Реликты имеют неправильную форму, границы их зазубрены.

Идиоморфнометазернистая структура иногда наблюдается в агрегатах куприта.

Аллотриоморфнометазернистая структура характерна для мономинеральных агрегатов лепидокрокита, повеллита, куприта и других с унаследованными структурными элементами первичных сульфидных мономинеральных агрегатов (трещинки спайности, двойники, форма зерен).

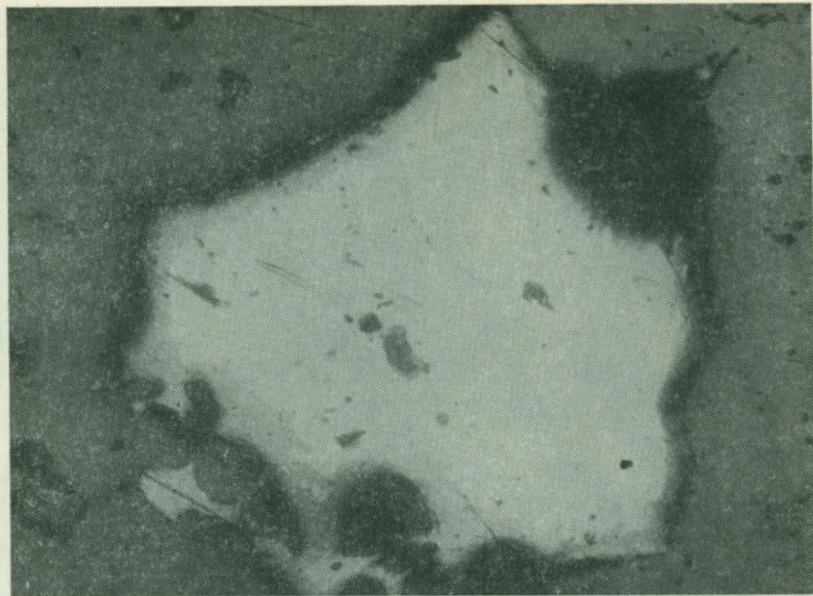


Рис. 9. Каемки вторичного борнита (серое) вокруг выделений халькопирита (белое). Нерудные минералы (темно-серое). Месторождение Агарак, Армянская ССР. Полированный шлиф. Ув. 145

Скелетная метазернистая структура изредка встречается в агрегатах куприта.

Гелевая, концентрически-зональная и скрыто-кристаллическая метазернистые структуры характерны для агрегатов гётита, повеллита, гипергенного халькозина, борнита и других минералов, развивающихся псевдоморфно по пириту, молибдениту и халькопириту.

Вторичные текстуры и структуры

Текстуры и структуры, образовавшиеся в процессе механического выветривания и выщелачивания руд

Сульфидные и окисленные руды под действием агентов выветривания растрескиваются, дробятся и превращаются в трещиноватые, обломочные и порошковатые агрегаты. Такие агрегаты состоят из кластических обломков зерен труднорастворимых минералов, например кварца, пирита, барита и др.

Каркасное строение формируется следующим образом: вследствие окисления в сульфидах по трещинкам спайности и границам зерен развиваются прожилки, каемки, сетка, решетка и другие формы выделений устойчивых гипергенных минералов, например гётита по халькопириту, церуссита по галениту и др.

В результате выщелачивания гипогенных сульфидов образуются пустоты разнообразной формы и размеров, располагающиеся между прожилками, каемками, решетками и другими выделениями гипергенных минералов. К этой генетической группе относятся каркасные текстуры: губчатая, пористая, кавернозная, ячеистая, ящичная; кластические и катаклазтические текстуры: трещиноватая, обломочная и по-

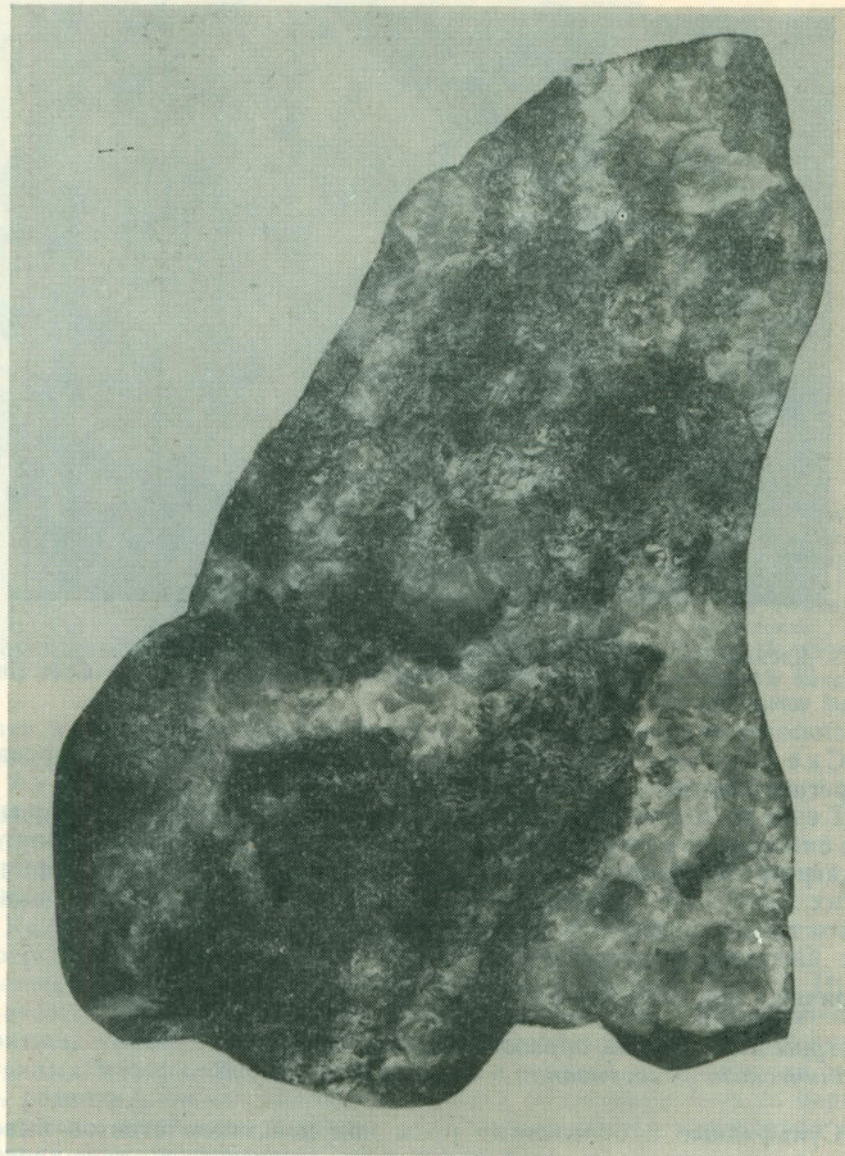


Рис. 10. Пористая текстура окисленной руды. Жильный кварц (молочно-белый) с выделениями повеллита (серое). В последнем развиты пустотки выщелачивания (черное). Месторождение Каджаран, карьер. Образец. Ув. 1,5

рошковатая, а также раздробленная, гранокластическая и тонкокластическая структуры.

Пористая и кавернозная текстуры образуются в медно-никелевых молибденовых рудах при выщелачивании молибденита, пирита и халькопирита, реже вторичных минералов — повеллита (рис. 10), халькооблюзина (рис. 11) и др. Они также формируются при выщелачивании нитрита, агрегатов карбонатов и каолинизированного полевого шпата. Размеры пор колеблются от долей миллиметра до 2—3 мм и более.

Ячеистая текстура характеризуется порами изометричной формы. Стенки каркаса сложены халцедоном, опалом, гётитом. Эта тек-

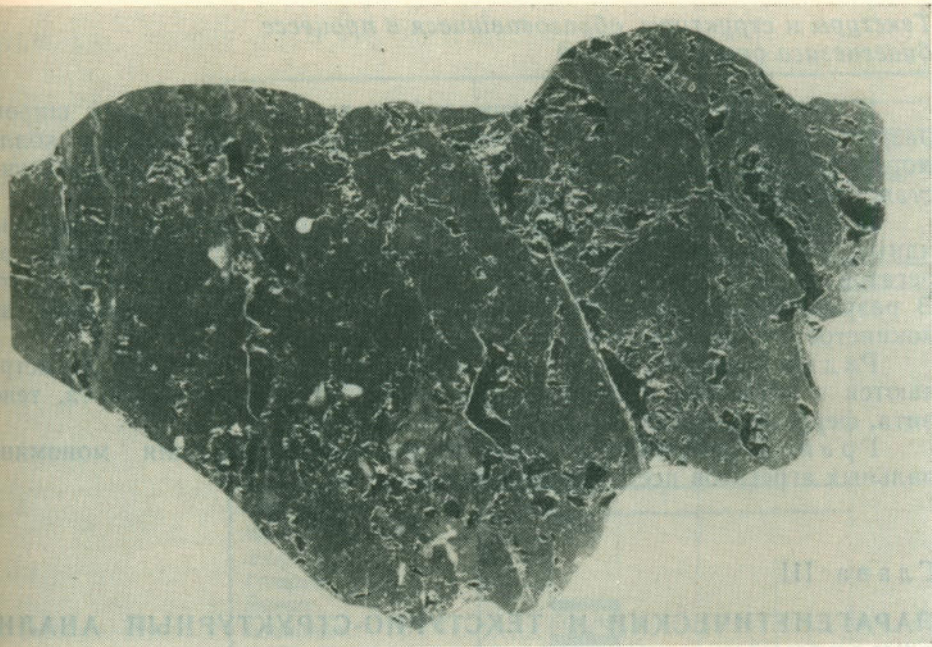


Рис. 11. Кавернозная текстура. Гётит и ярозит (темно-серое) с тонкими прожилками и вкрапленностью самородной меди (белое), с пустотами выщелачивания (чёрное). Месторождение Каджаран, карьер. Образец. Натуральная величина

стура образуется при окислении и выщелачивании халькопирита и сфалерита; встречается очень часто в железной шляпе сульфидных месторождений.

Ящичная текстура отличается особым типом каркаса, представляющим собой систему прямоугольных ящиков со стенками, сложенными гидроокислами железа, опалом и халцедоном. Последние развиваются в виде микропрожилков по трещинкам спайности и отдельности в халькозине, доломите, галените. Мощность микропрожилков изменяется от 0,01 до 2 мм, ширина отдельных ящиков колеблется от 0,2 до 5 мм.

Порошковая текстура наблюдается в агрегатах тонкообломочных масс каолинизированного полевого шпата, кварца и серицита, заполняющих трещинки и пустоты. При наличии в землистой массе более крупных обломков минералов и пород выделяют обломочную текстуру.

Трещиноватая текстура широко развита в окисленных рудах и во вмещающих породах в результате растрескивания и дробления минералов под влиянием агентов механического выветривания.

Ширина трещинок разнообразная и изменяется от долей миллиметра до нескольких миллиметров.

Раздробленная структура характеризуется срастанием обломков и осколков зерен и коллоидных выделений в агрегатах гётита, малахита, кальцита, лампадита.

Гранокластическая, порфирокластическая и тонкокластическая структуры встречаются в плотных агрегатах ярозита, лепидокрокита, гётита, малахита, лампадита и в глинках трения.

Текстуры и структуры, образовавшиеся в процессе диагенезиса окисленных руд

В окисленных рудах медно-молибденовых месторождений широко развиты метаколлоидные вторичные текстуры: почковидная, колломорфная и корковая и метаколлоидные структуры: радиально-лучистая, волокнистая и гранобластическая.

Почковидная, колломорфная и корковая метаколлоидные текстуры характерны для срастаний раскристаллизованных агрегатов гётита, ферримолибдита, малахита, тенорита и лампадита. В разрезе сферические агрегаты-почки имеют радиально-лучистое, волокнистое и гранобластическое строение.

Радиально-лучистая и волокнистая структуры встречаются в корковых и почковидных агрегатах малахита, гётита, тенорита, ферримолибдита, лампадита и халцедона.

Гранобластическая структура характерна для мономинеральных агрегатов псевдоморфного повеллита.

Глава III

ПАРАГЕНЕТИЧЕСКИЙ И ТЕКСТУРНО-СТРУКТУРНЫЙ АНАЛИЗ ОКИСЛЕННЫХ МЕДНО-МОЛИБДЕНОВЫХ РУД

Детальное изучение минерального состава, текстур и структуры окисленных и полуокисленных руд в образцах и шлифах, взятых в различных частях зоны окисления, позволяет выделить в них типоморфные парагенетические минеральные ассоциации и составить схему последовательности отложения минералов. Ниже приведен пример такого описания главнейших минеральных ассоциаций в окисленных медно-молибденовых рудах месторождения Каджаран (Армянская ССР).

При выветривании сульфидных прожилково-вкрашенных медно-молибденовых руд образуются шесть характерных ассоциаций гипогенных минералов (рис. 12): гётит-каолинитовая, вторичных сульфидов тенорит-купритовая, халцедон-лампадитовая, малахит-кальцитовая гипсовая. Каждая из них формировалась в отдельную стадию минерализации, т. е. период времени, характеризующийся определенным физико-химическими условиями (Eh , pH , концентрация компонентов растворе). Прослеженная последовательность отложения минеральных ассоциаций имеет весьма общий и распространенный характер и свидетельствует об эволюции состава растворов от кислых к щелочным.

Наблюдается пространственное совмещение в зоне выветривания минеральных ассоциаций, постепенные переходы между ними и наложение одной на другую. Минеральные ассоциации в окисленных рудах месторождения Каджаран рассмотрены по стадиям минерализации в порядке последовательности их образования.

В первую стадию отложились две минеральные ассоциации гётит-каолинитовая и вторичных сульфидов, для которых характерна вертикальная зональность размещения, обусловленная зональным изменением физико-химических свойств грунтовых вод.

Гётит-каолинитовая ассоциация наиболее распространена в зоне окисления и расположена выше зеркала грунтовых вод азота. Минералы этой ассоциации образуются в широком интервале времени в кислой, нейтральной и слабощелочной среде (см. табл. 1). Большая

Минералы	Этап выветривания					
	Стадии, ассоциации					
	I	II	III	IV		
Гематит-каолинитовая, вторичных сульфидов		Тенорит-куприровая	Хальцедон-лампашитовая, малахит-кальцитовая	Гипс-богатая		
Ярозит	Ca, Mn, Na, Mn — Mo, Cu, Mn					
Гётит	—					
Лепидокрокит	—					
Гематит	—					
Золото самородное	—					
Ферримолибдит	Cu, Ca, Mg	—				
Скородит	Ca, Cu, Mo, Mg, Mn	—				
Олиденит	—					
Каолинит	Cu, Mn, Ca, Mg, Fe, Mn	—				
Гидрослюды	—					
Монтмориллонит	—					
Галлуазит	—					
Аллофан	—					
Борнит	—	Fe, Ag, Mo	—			
Халькозин	—	—				
Штромейерит	—	—				
Аргентит	—	—				
Серебро самородное	—	—				
Ковеллин	—	—				
Халькопирит	—	—				
Марказит	—	—				
Кирпичная медная руда	—	—				
Тенорит	—	Fe, Ca, Mn	—			
Куприте	—	Mo	—			
Медь самородная	—	—				
Делафоссит	—	—	Ca, Ni, Mo, Fe, Ti, V	—		
Лампашит	—	—	—			
Лишомелан	—	—	—			
Пиролюзит	—	—	—			
Хальцедон, опал, кварц	—	—	Fe, Mn, Mg, Ca, Cu, Mo	Mn, Mg, Cu, Fe, Mo		
Хризокolla	—	—	Ca, Mg, Fe, Zn, Mn, Mo	—		
Кальцит	—	—	—	Sr, Mg, Fe, Mn, Cu, Mo		
Арагонит	—	—	—	Fe, Cu, Mg, Mn		
Побеллит	—	—	—	Ca, Mg, Fe, Mn, Mo		
Малахит	—	—	—	—		
Азурит	—	—	—	—		
Гипс	—	—	Sr, Mn, Fe, Mo, Cu, Mg	—		
Брошантит, халькантит	—	—	—	—		
Текстуры	Коррозионные Унаследованные, обрашленные и прожилковые		Прожилковые Натечные Полосчатые Друзовые	Прожилковые Полосчатые Корковые брекчийные		
	Каркасные Друзевые					
	Трещиноватые					
Структуры	Скрытокристаллические гранобластические Метазернистые Радиально-лучистые Зернистые Радиально-лучистые Зернистые Ванокристические					
	Радиально-лучистые Зернистые					
	—					

— 1 — 2 — 3 — 4 Cu, Mo — 5

Ил. 12. Схема последовательности минералообразования в зоне окисления медно-молибденового месторождения Каджакран.
Количество минерала в ассоциации: 1—10% и выше; 2—0,5—10%; 3—0,01—0,5%; 4—0,01% и ниже; 5—элементы-примеси в минералах. I, II, III, IV—стадии минерализации

часть минералов этой ассоциации образуется при низких значениях $pH=2-4$ и высоких $Eh=0,4-0,6$. В альково-тарказ-

В ассоциацию входит большая группа минералов: каолинит, монтмориллонит, галлуазит, аллофан, халькантит, брошантит, мелантерит, пизанит, фибропиррит, ярозит, гётит, гидрогётит, лепидокрокит, самородное золото, гематит, гидрогематит, ферримолибдит, повеллит, склерит, оливенит, фармакосидерит, сервантиит.

Гётит и другие гидроокислы железа скапливаются в верхней части зоны окисления, а глинистые минералы распространяются на значительную глубину от дневной поверхности как в зоне окисления, так и в зоне цементации. В зоне окисления сильно каолинизированы раздробленные монцониты и слабо каолинизированы дайки массивных полевошпатовых порфиров. Гипергенный каолинит метасоматически замещает в первую очередь биотит и плагиоклазы и в последнюю — калиевые полевые шпаты; каолинит тесно связан с гидрослюдами, ярозитом и лимонитом. Другие глинистые минералы (монтмориллонит, галлуазит и аллофан) имеют второстепенное значение. Они образуют мелкие скопления в породах и в жильном кварце по трещинам и в порах выщелачивания.

Гётит и гидрогётит замещают пирит, халькопирит, борнит, молибдит, денит, железистый доломит, биотит, повеллит, ферримолибдит, ярозит. По пириту развиваются псевдоморфозы лимонита, представляющие смесь гётита, гидрогётита и лепидокрокита. По халькопириту развивается исключительно гётит. Часто между агрегатами гётита и халькопирита развита тонкая полоска вторичного борнита, халькозина или кирпичной медной руды.

Гематит и гидрогематит избирательно замещают магнетит и титаномагнетит; примазки гидрогематита развиты также на зеркалах скольжения в хлоритизированных породах. В гидроокислах железа по данным спектральных и химических анализов, постоянно присутствуют молибден, медь и марганец. Для срастания гидроокислов железа с замещаемыми минералами характерны коррозионные текстуры и микротекстуры (каемочная, нитеобразная, сетчатая и реликтовая). Кодеко рочки, дендриты, порошковатые и охристые массы лимонита заполняют трещины и поры выщелачивания в каолинизированных породах. В следующие стадии на корочках лимонита откладываются агрегаты борнита, лампадита, кальцита и малахита.

Охристо-желтый ярозит, встречающийся в виде реликтов в гётитовых зонах, развит в нижней части лимонитовой зоны. Иногда его землистые социации массы заполняют пустотки, образовавшиеся при выщелачивании пирита, феррита. Тонкие корочки халькантита, брошантита, мелантерита и фибростава развятся в незначительных количествах в окисленных рудах, выходящих на дневную поверхность.

Халькантит и мелантерит образуют выцветы и натеки на стенках горных выработок.

Ферримолибдит встречается в небольших количествах в верхней части зоны окисления на глубине 1—10 м от поверхности. Выделяются две его разновидности: метасоматическая и заполнения пустот. Из них чаще встречается вторая. Агрегаты ферримолибдита постепенно переходят в лимонит.

Оливенит, фармакосидерит, склерит и сервантиит наблюдаются очень редко. Развиты они на выходах окисленных медно-мышьяковых руд, сложенных энаргитом, теннантитом, люценитом, борнитом и прохалькозином (месторождения Каджаран, Центральный участок, Арсланянская ССР).

В ассоциацию вторичных сульфидов входят: борнит, халькозин, дигенит, ковеллин, халькопирит, штромейерит, аргентит и марказит. На месторождении Каджаран эта ассоциация проявлена слабо. Вторичные сульфиды образуют пленочки, каемки, нитеобразные прожилки и пятна в первичных сульфидах (халькопирите, борните, пирите, сфалерите, галените, блеклой руде, реже в энаргите). Халькозин нередко образует тоненькие каемки между халькопиритом и гётитом или между халькопиритом и кирпичной медной рудой; встречаются сложные каемки из халькозина и борнита. Халькозин и дигенит замещаются купритом.

По характерным коррозионным микротекстурам (реликтовая нитеобразная, каемочная и др.) устанавливается, что вторичные сульфиды меди в следующую стадию (см. рис. 12) интенсивно замещаются или минералами тенорит-купритовой ассоциации, или минералами группы гидроокислов железа.

Наблюдения показывают, что в медно-молибденовых рудах из зоны вторичного сульфидного обогащения встречаются бинарные и трехкомпонентные парагенезисы: 1) халькозин-борнит; 2) борнит-халькопирит; 3) ковеллин-борнит; 4) халькозин-борнит-ковеллин; 5) халькопирит-борнит-халькозин.

Халькозин и дигенит — характерные минералы для верхних горизонтов зоны вторичного сульфидного обогащения и отлагаются они первыми в условиях низкой концентрации серы в растворах. В нижних горизонтах в условиях сравнительно высокой концентрации железа и серы шире развит борнит. На некоторых участках зоны окисления можно наблюдать почти одновременное отложение халькозина и борнита. Ковеллин встречается очень редко, образуя тонкоигольчатые или волокнистые скопления в борните и халькозине. Вторичный халькопирит наблюдается в самых нижних горизонтах зоны окисления в виде тонких прожилков в борните. Марказит образует тонкие каемки и колломорфные выделения в пирротине. Встречаются очень редко.

Аргентит, штромейерит и самородное серебро встречаются очень редко в халькозине. Во всех пробах халькозина и дигенита спектральными и химическими анализами установлено постоянное присутствие серебра в количестве 0,001—0,1 %.

Во вторую стадию минерализации отлагалась тенорит-купритовая ассоциация, наблюдающаяся на участках развития скоплений вторичных сульфидов меди и энаргита. Главные минералы ассоциации — куприт и кирпичная медная руда, реже встречаются тенорит, delaфоссит и самородная медь. Как показано на диаграмме, состав — парагенезис (рис. 13), тенорит-купритовая ассоциация образуется в зоне кислородного выветривания. В этих условиях халькозин замещается купритом, а борнит и халькопирит — скрытокристаллическими агрегатами тенорита, delaфоссита и гётита. Отмечались случаи замещения ковеллина теноритом. Иногда прожилки и пятна куприта и тенорита образуются по энаргиту. Куприт слагает корочки, прожилки и друзы кристаллов по трещинкам в полуокисленных (халькозиновых) рудах и в лимоните. Тенорит образует выделения сферической формы, с радиально-лучистым строением и замещается купритом, а последний — самородной медью. Куприт и тенорит замещаются малахитом и азуритом.

Delaфоссит встречается редко и образует тонкозернистые корочки и прожилки в ассоциации с теноритом и кирпичной медной рудой. Понеследовательность выделения минералов тенорит-купритовой ассоциации свидетельствует о том, что в начале процесса отложения концент-

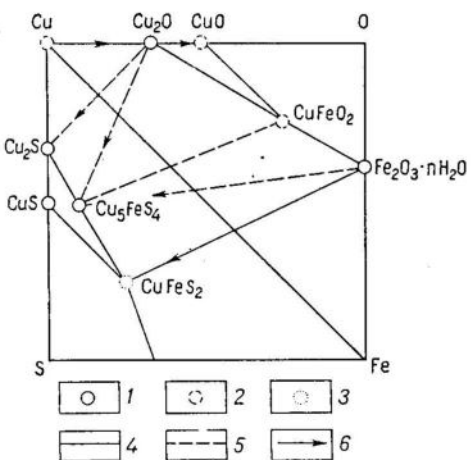


Рис. 13. Диаграмма состав — парагенезис в системе Cu—S—Fe—O.

CuFeS₂ — халькопирит; Cu₅FeS₄ — борнит; CuS — ковеллин; Cu₂S — халькозин; Cu — самородная медь; Cu₂O — куприт; CuO — тенорит; CuFeO₂ — деслафоссит; Fe₂O₃·nH₂O — лимонит; 1 — распространенные; 2 — редкие; 3 — очень редкие; 4 — линии расположены на гранях тетраэдра, обращенных к наблюдателю; 5 — линии лежат на нижних гранях и внутри тетраэдра; 6 — направление процесса замещения

ванных породах. В минералах ассоциации наблюдается большое количество примесей. Так, по данным химического и спектрального анализов, в лампадите в виде примесей установлены железо, кальций, магний, барий, молибден, кобальт, никель, титан, ванадий, алюминий, кремний. Отложение рассматриваемой минеральной ассоциации происходило, по-видимому, из коллоидных растворов, что подтверждается колломорфным и метаколлоидным строением агрегатов, а также необычно большой за- грязненностью минералов элементами-примесями.

Минералы малахит-кальцитовой ассоциации — кальцит, арагонит, повеллит, малахит, азурит — развиты на корочках лимонита, лампадита, реже хризоколлы. В окисленных рудах месторождения Каджаран широко распространен водянопрозрачный гипергенный кальцит. Он образует мелко- и среднезернистые агрегаты в форме прожилков и друз, развитых на трещинах в лимонитизированных и каолинизированных породах. Кальцит встречается повсеместно в верхней части зоны окисления до глубины 30—60 м. Арагонит наблюдается реже и слагает корочки с зональным строением мощностью до 2 см. Обычно полоски арагонита чередуются с полосками кальцита, лампадита и хризоколлы.

Повеллит по сравнению с ферримолибдитом более широко распространен и встречается в нижних частях зоны окисления, в обеленных каолинизированных породах, на глубине 10—20 м и более. Повеллит и ферримолибдит пространственно разобщены, так как они осаждаются из растворов различного состава и кислотности: ферримолибдит — из кислых растворов при *pH* 1—3, повеллит — из нейтральных и щелочных растворов при *pH* 6—8.

В окисленных рудах наблюдаются три разновидности повеллита: скрытокристаллический, зональный и мозаичный. Наиболее распространен скрытокристаллический, образующий псевдоморфозы по молиб-

дации кислорода была повышенной, а к концу, по-видимому, пониженной, и наблюдался недостаток кислорода, в результате чего отлагалась самородная медь, замещающая куприт и халькозин.

В третью стадию минерализации формировались халцедон-лампадитовая и малахит-кальцитовая ассоциации. Первая широко распространена на небольших участках в нижней части зоны окисления и представлена лампадитом, псиломеланом, пиролюзитом, халцедоном, опалом, хризоколлой. Из перечисленных минералов главными являются лампадит и халцедон, остальные встречаются в небольших количествах.

Минералы этой ассоциации отлагаются в виде корочек, прожилков, полосок и дендритов на агрегатах лимонита или по сети трещинок в лимонитизированных, каолинизированных и окварцованных породах. В минералах ассоциации наблюдается большое количество примесей. Так, по данным химического и спектрального анализов, в лампадите в виде примесей установлены железо, кальций, магний, барий, молибден, кобальт, никель, титан, ванадий, алюминий, кремний. Отложение рассматриваемой минеральной ассоциации происходило, по-видимому, из коллоидных растворов, что подтверждается колломорфным и метаколлоидным строением агрегатов, а также необычно большой за-

дениту. Тонкие прожилки зонального повеллита встречены в жильном кварце и во вмещающих породах. Мозаичный повеллит образуется в процессе сибирательной перекристаллизации скрытокристаллического.

Наблюдались мелкие скопления повеллита на друзах вторичного кальцита, что свидетельствует о значительном интервале времени отложения повеллита в зоне окисления.

Малахит и азурит повсеместно, но в небольших количествах развиты в окисленных рудах; чаще встречается малахит. Они образуют тонкие корочки, почки, прожилки и шарики с радиально-лучистым и волокнистым строением. Реже встречаются скрытокристаллические натечные агрегаты малахита и азурита. Псевдоморфный малахит развивается по куприту и кирпичной медной руде. Обычно азурит выделяется позже малахита, но на тех участках, где азурита больше, малахит развивается позже азурита.

Между халцедон-лампадитовой и малахит-кальцитовой ассоциациями наблюдается тесная пространственная связь. По-видимому, они формируются одновременно на тех участках зоны окисления, где происходит смешивание коллоидных растворов марганца и кремния с истиинными гидрокарбонатно-кальциевыми растворами. Однако главная масса минералов халцедон-лампадитовой ассоциации выделяется раньше малахита и азурита.

В четвертую стадию минерализации в окисленных рудах образуется гипсовая минеральная ассоциация, распространенная как в приповерхностных, так и в более глубоких горизонтах месторождения. Сульфаты представлены гипсом, брошантитом, халькантитом, мелантеритом, пизанитом, кировитом, фибротерритом, копиапитом, эпсомитом и бледитом. Легко растворимые сульфаты (халькантит, мелантерит и др.), вероятно, отлагаются в зоне окисления во все стадии процесса гипергенной минерализации.

Широко распространенный устойчивый минерал в этой группе — гипс. Остальные сульфаты развиты в незначительных количествах в окисленных рудах, выходящих на дневную поверхность в виде выщетов и налетов. Гипс развивается метасоматическим путем, замещая ангидрит, гипогенные карбонаты, плагиоклазы, хлорит, биотит, кварц, сульфиды, а также отлагается в трещинах и пустотах в виде волокнистых, реже пластинчатых и тонкозернистых масс. Агрегаты гипса имеют форму извилистых прожилков, линз, корочек и друз. Мощность их колеблется от десятых долей миллиметра до 20—25 см; длина прожилков достигает 3 м. Гипс цементирует обломки породы и руды. Часто корочки гипса развиты на хлоритизированных и гематизированных плоскостях скольжения в породах или на зеркалах скольжения по молибдениту. Наиболее крупные скопления гипса на месторождении Каджаран встречены в зоне Дебаклинского разлома.

Гипс обычно распространен в зоне вторичного сульфидного обогащения и в зоне первичных руд (глубже 50—80 м). Приурочен он к участкам сильно раздробленных, смятых, хлоритизированных и каолинизированных пород, с многочисленными зеркалами скольжения, с глиниками трения и пустотками выщелачивания.

На основании изложенного можно сделать выводы. Минеральный состав парагенетических гипергенных ассоциаций позволяет судить о химическом составе исходящих растворов и их эволюции во времени. По мере развития зоны окисления в медно-молибденовом месторождении наблюдается изменение состава поверхностных вод от кислых к щелочным, обогащенным гидрокарбонатами (см. рис. 1).

Гётит-каолинитовая ассоциация отлагалась из поверхностных вод, содержащих свободный кислород, углекислоту и серную кислоту. Это была стадия усиленного разложения пирита с образованием H_2SO_4 . В кислой среде происходило отложение основной массы гидроокислов железа, ярозита, опала, халцедона и ферримолибдита при pH 3—6; в слабокислой, нейтральной среде отлагались глинистые минералы: каолинит, галлуазит, аллофан при pH 4—8.

Ассоциация вторичных сульфидов формировалась ниже зеркала грунтовых вод в слаботщелочных условиях среды при $pH \geq 8$.

Образование тенорит-купритовой ассоциации связано с понижением уровня грунтовых вод и переходом отдельных участков месторождения, обогащенных вторичными сульфидами меди, в зону кислородного выветривания. Отложение окислов меди происходит в слабокислой — нейтральной среде при pH 5—7. Появление самородной меди в конце стадии указывает на смену окислительных условий более восстановительными.

Халцедон-лампадитовая и малахит-кальцитовая ассоциации выпадают из нейтральных и слаботщелочных коллоидных растворов при pH 7—8. В эту стадию образуется главная масса повеллита. Минералы гипсовой ассоциации отлагаются из концентрированных слаботщелочных и щелочных растворов при $pH > 11$.

Как показали спектральные анализы, все гипергенные минералы окисленных руд Каджаранского месторождения (ярозит, гётит, гидрогётит, ферримолибдит, каолинит, повеллит, халькозин, куприт, лампадит, халцедон, опал, хризоколла, кальцит, арагонит, малахит и гипс) всегда содержат примеси типоморфных элементов — меди и молибдена. Поэтому гипергенные парагенетические ассоциации и отдельные минералы, а также типоморфные текстуры (коррозионные, унаследованные и каркасные) являются важными поисковыми признаками на сульфидное медно-молибденовое оруденение.

Глава IV

МОРФОЛОГИЧЕСКИЕ ВИДЫ СРАСТАНИЙ ГИПОГЕННЫХ И ГИПЕРГЕННЫХ РУДООБРАЗУЮЩИХ МИНЕРАЛОВ, НЕБЛАГОПРИЯТНЫХ ДЛЯ ОБОГАЩЕНИЯ

Технология обогащения окисленных и полуокисленных руд слабо разработана по двум причинам: 1) очень сложный вещественный состав руд, содержащих различные минеральные формы металлов (см. табл. 2); 2) характерно сложное строение руд (таблицы 5, 6).

В составе этих типов руд, кроме сульфидов и арсенидов, могут быть развиты в переменных количествах окислы, гидроокислы, сульфаты, карбонаты, силикаты, реже арсенаты, антимонаты, молибдаты, еще реже фториды, йодиды и самородные металлы.

При дроблении и измельчении руды большое значение имеют физико-механические свойства рудообразующих минералов (плотность, твердость, хрупкость, пористость, трещиноватость, пластичность и ковкость), а также структурный тип соединения (конституция и кристаллохимия). При обогащении учитываются магнитные, электрические свойства минералов и их растворимость, смачиваемость реагентами.

При качественной характеристике окисленной руды тщательно изучаются вещественный состав и характер срастания гипогенных и

Таблица 6

Текстуры и структуры, неблагоприятные для обогащения окисленных сульфидных руд

Текстура		Структура	
морфогенетические группы	морфологические виды	морфогенетические группы	морфологические виды
Коррозионные	Реликтовая, каемочная, нитеобразная, сетчатая, графическая, субграфическая, разъединения	Коррозионные	Скелетная, реликтовая, разъединения
		Коллоидные	Гелевая, скрытокристаллическая, концентрически-зональная
Коллоидные и метаколлоидные	Почковидная, корковая, колломорфная, порошковатая	Метаколлоидные	Радиально-лучистая, волокнистая

гипергенных рудообразующих минералов, форму и размеры их выделений, раскрываемость рудных и нерудных минералов. По форме минеральные выделения подразделяются на изометричные, неправильные, удлиненные (прожилкообразные, нитеобразные, линзовидные) и пластинчатые.

Важную роль при высвобождении минералов играют границы их срастаний, например зазубренные границы затрудняют разделение минералов, ровные, прямые — облегчают. Пористость и трещиноватость минералов играют положительную роль в процессе измельчения руды, проникновения растворов при флотации или выщелачивании.

Для определения размера конечной крупности дробления руды изучают величину выделений промышленных минералов, минералов-носителей полезных примесей, минералов-носителей вредных примесей. Это могут быть включения, зерна или мономинеральные агрегаты. Размеры различных видов выделений устанавливаются на основе большого количества измерений. Окисленные и полуокисленные руды в зависимости от состава, формы и размера выделений подвергаются различной технологической обработке. Окисленные руды отличаются неоднородным строением с широким развитием неблагоприятных для обогащения текстур и микротекстур: коррозионных, унаследованного замещения, коллоидных и метаколлоидных (см. табл. 6). Текстуры массивная, пятнистая, вкрапленная, брекчиевая, брекчиевидная, благоприятные для обогащения, имеют второстепенное значение (см. табл. 5).

Хорошо разделяются минералы в крупно-, средне- и мелкозернистых агрегатах, для которых характерны зернистые, метазернистые, собственно кристаллобластические и катакластические структуры. Однако концентраты, полученные при обогащении руд с метазернистыми структурами (рис. 14), всегда будут загрязнены реликтовыми минералами.

Унаследованные текстуры возникают в процессе полного или почти полного метасоматического замещения агрегатов гипогенных минералов гипергенными, при унаследовании формы замещенного минерального агрегата. Наиболее характерные морфологические виды унаследованных текстур — пятнистая, вкрапленная, брекчиевая, прожилковая и др. Структуры гипергенных минеральных агрегатов метазерни-

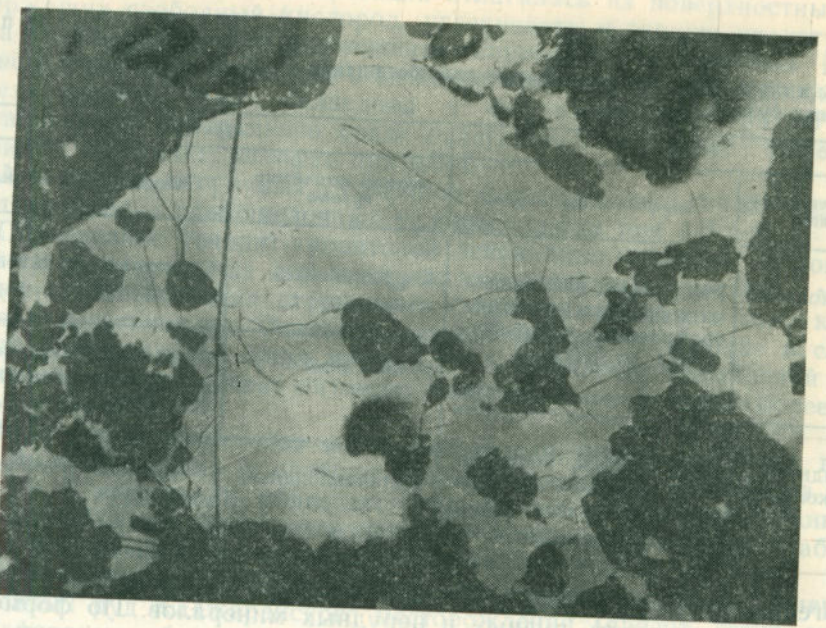


Рис. 14. Пятнистые выделения гипергенного халькозина (белое) в метасоматическом борните (серое). Чёрное — реликты кварца и полевого шпата. Месторождение Джезказган. Полированный шлиф. Ув. 90

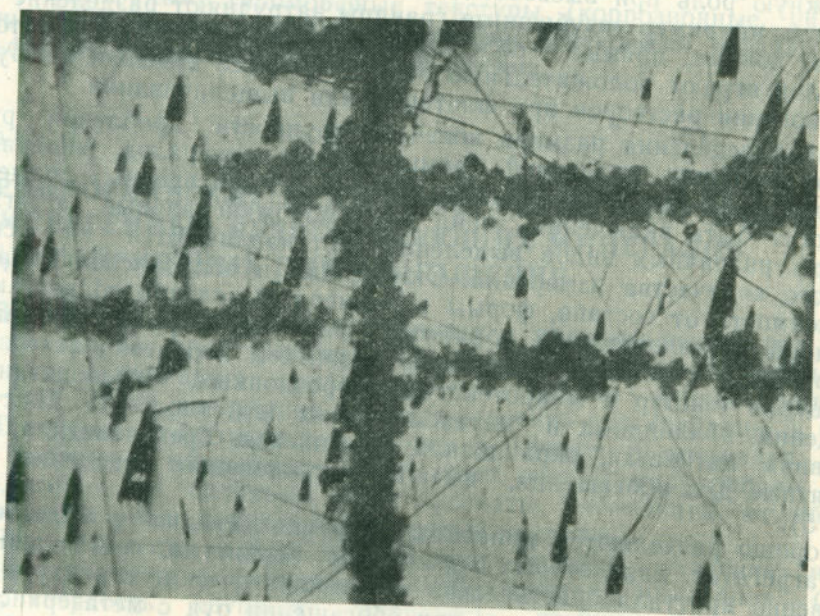


Рис. 15. Решетчатая микротекстура замещения галенита (белое) церусситом (темно-серое). Месторождение Эльбрус, Северный Кавказ. Полированный шлиф. Ув. 80

стые или коллоидные. Коррозионные текстуры и микротекстуры играют важную роль в процессе обогащения, так как в этом типе тонких срастаний гипогенных и гипергенных минералов наиболее широко развиты зазубренные границы, заливы, каемки, микропрожилки, напри-

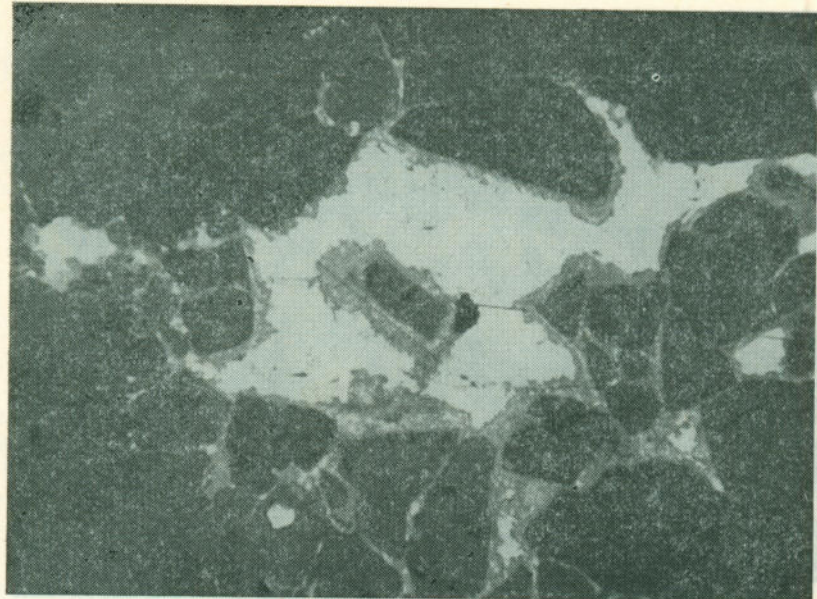


Рис. 16. Прожилкообразные выделения галенита (белое) с зазубренными границами в кварц-карбонатной породе (темно-серое). По границам галенита развиты каемки церуссита (светло-серое). Месторождение Ушкатен-3, Казахстан. Полированный шлиф. Ув. 125

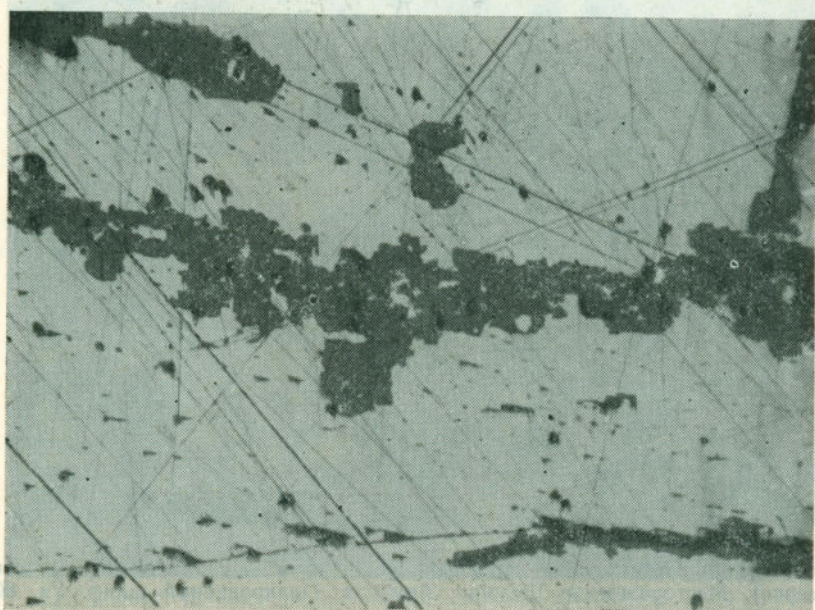


Рис. 17. Микропроявки церуссита (темно-серое) в галените (белое). Месторождение Ушкатен-3, Казахстан. Полированный шлиф. Ув. 63

мер сетчатая, решетчатая, каемочная, прожилкообразная микротекстуры замещения галенита церусситом (рис. 15, 16, 17, 18), сетчатая микротекстура замещения халькопирита гётитом (рис. 8), замещение

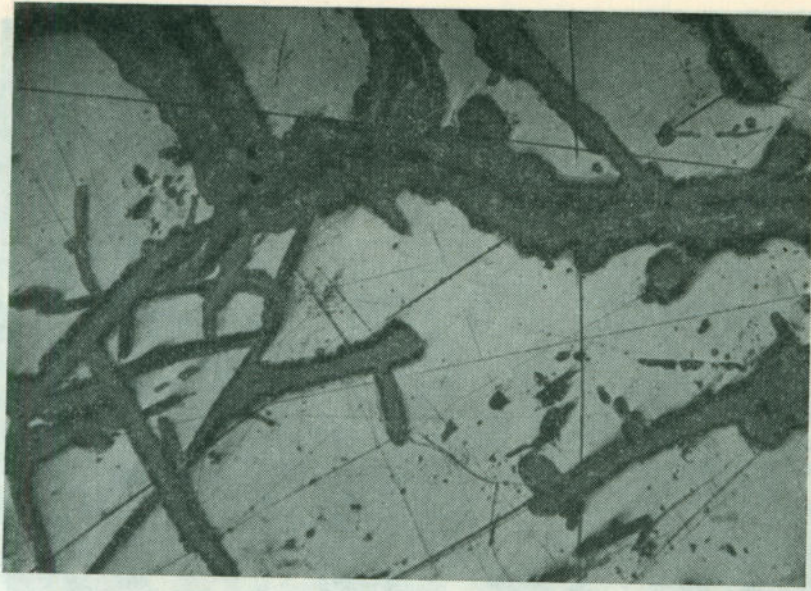


Рис. 18. Микропрожилки сенармонтита (темно-серое) с включениями ковеллина (серое) в тетраэдрите. Месторождение Кафан, Армянская ССР. Полированный шлиф. Ув. 80

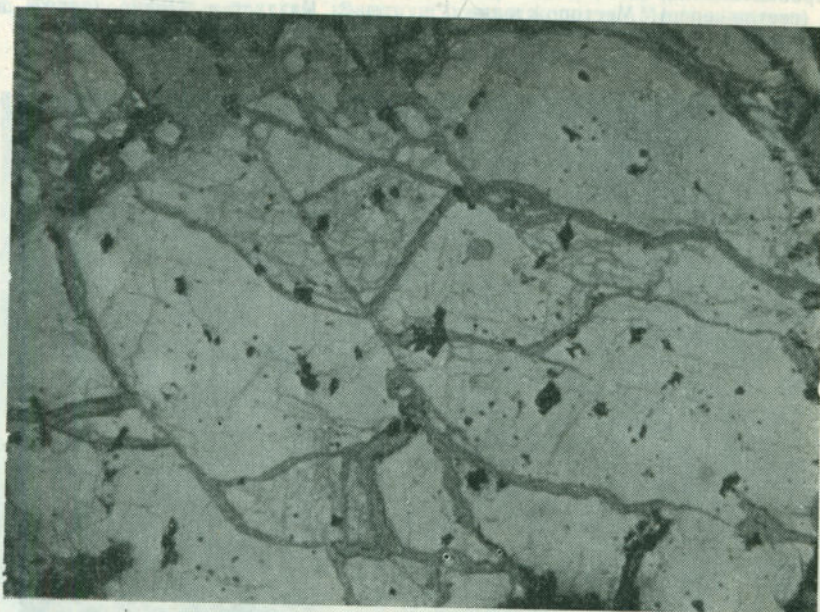


Рис. 19. Пирит (светло-серое) с тонкими прожилками халькоцина (серое) и гётита (темно-серое). Месторождение Шаумян, Армения. Полированный шлиф. Ув. 80

агрегата пирита тончайшими прожилками халькоцина (рис. 19), тонкое прорастание сфалерита сеткой прожилков халькоцина (рис. 20), наличие реликтов пирита в гётите или реликтов молибденита в повеллитах (рис. 21), реликтов зонального смальтина в эритрине (рис. 22), развитие в зоне окисления каемок сенармонтита вокруг вкраплений антимонита (рис. 23). Структуры замещающего гипергенного мине-



Рис. 20. Микропрожилки халькозина (светло-серое) развиты по трещинкам и границам зерен сфалерита (серое). Чёрное — ямки, трещинки. Месторождение Кафан, Армянская ССР. Полированный шлиф. Ув. 125



Рис. 21. Реликты молибденита (белое) и кварца (тёмно-серое) в повелите (серое). Месторождение Каджаран, Армянская ССР. Полированный шлиф. Ув. 80

рального агрегата метазернистые или коллоидные. Коррозионные текстуры и микротекстуры являются неблагоприятными срастаниями и обуславливают потери ценного компонента в большом количестве при обогащении. Иногда его совсем невозможно выделить в концентрат.

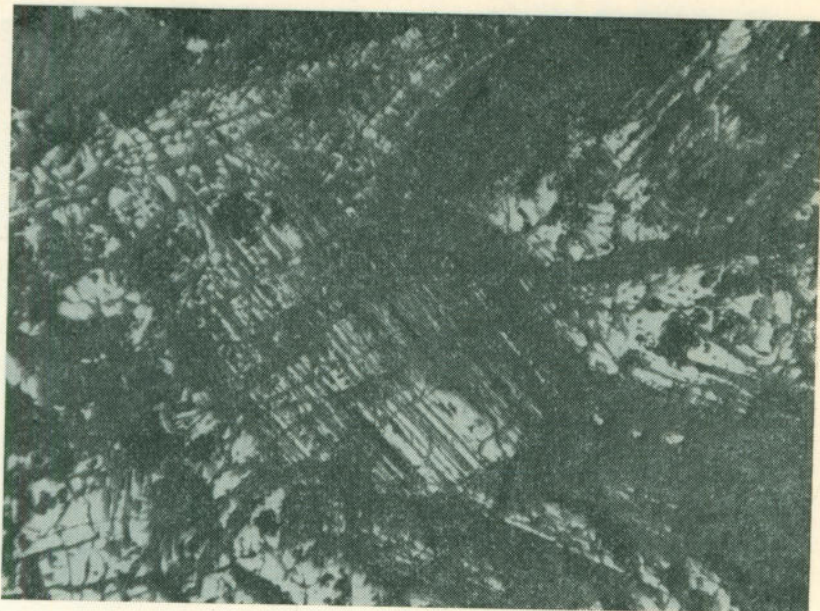


Рис. 22. Реликты смальтина (белое с зональным строением) в эритрине (темно-серое).
Месторождение Ховуаксы. Тувинская АССР. Полированный шлиф. Ув. 63

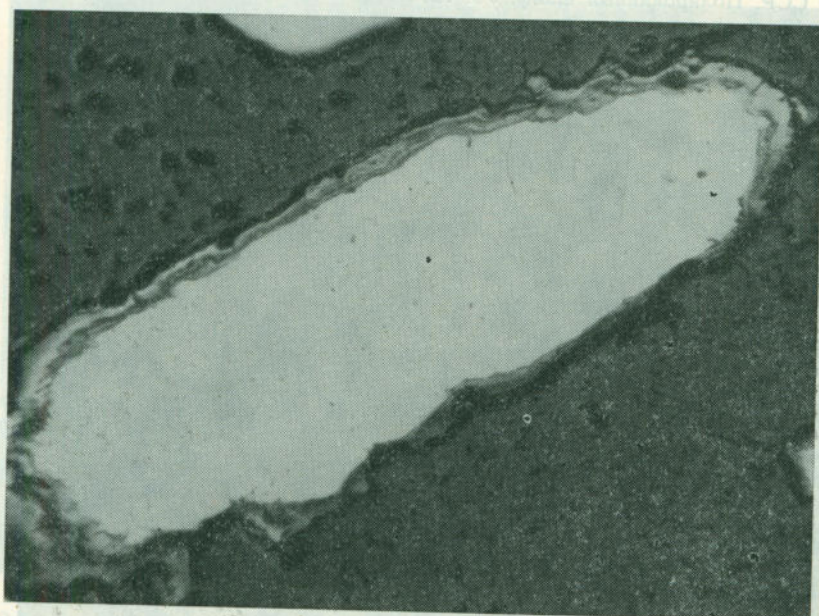


Рис. 23. Каемки сенармонтита (серое) вокруг вкрапленности антимонита (белое).
Темно-серое — нерудные минералы. Месторождение Кокпата, Узбекская ССР. Поли-
рованный шлиф. Ув. 40

Окисленные руды, представленные землистыми или порошковатыми разностями, трудно обогащаются. При обогащении окисленных руд с колломорфными текстурами и коллоидными структурами всегда получают концентраты, сильно загрязненные примесями.

Хорошо отделяются от рыхлых вмещающих пород крупные натечные агрегаты малахита, гидроокислов железа и марганца и других гипергенных минералов.

Качественная химико-минералогическая характеристика окисленных и смешанных руд

Данные минералогического и химического анализов, характеризующие окисленные и смешанные руды штокверковых медно-молибденовых месторождений Армении, приведены в табл. 7, 8.

Комплексные медно-молибденовые руды по химико-минеральному составу подразделяются на три типа: сульфидный (содержание окисленного молибдена менее 12 %), смешанный (содержание окисленного молибдена от 12 до 20 %, в среднем 17 %), окисленный (содержание окисленного молибдена более 20 %, а окисленной меди до 80—90 %). Сульфидные и смешанные руды имеют большое промышленное значение и широко распространены на медно-молибденовых месторождениях.

Сульфидные медно-молибденовые прожилково-вкрапленные руды развиты на средних и глубоких горизонтах месторождений. Верхняя их граница проходит на глубине 40—60 м. В некоторых месторождениях сульфидные руды разведаны на глубину до 450—700 м. Основной массой руды являются раздробленные вмещающие породы в различной степени гидротермально измененные. Количество сульфидов в руде колеблется от 2 до 10 %, редко выше.

Главные ценные компоненты сульфидных медно-молибденовых руд — молибден, медь и рений. Их промышленные минералы в рудах — молибденит и халькопирит. Незначительно распространены другие гипогенные минералы меди — борнит, халькозин, энаргит, люценит, тенантит, тетраэдрит и фрейбергит. В штокверковых месторождениях Армении в интервале от 50—70 до 100—150 м встречаются вторичные сульфиды меди (халькозин, ковеллин).

Смешанные (сульфидно-окисленные) медно-молибденовые прожилково-вкрапленные руды распространены в штокверковых месторождениях Армении на глубине от 10 до 60 м. Они слагают участки неправильной формы в виде карманов и линз среди окисленных и сульфидных руд. Между сульфидными и смешанными рудами или между смешанными и окисленными наблюдаются постепенные переходы. Вдоль трещинных зон эти руды распространены на более глубокие горизонты (до 200 м и глубже). Иногда смешанные руды выходят на поверхность. Они отличаются сложным минеральным составом и строением.

В смешанных рудах развиты не только гипогенные рудообразующие минералы, но и вторичные сульфиды меди и гипергенные минералы: повеллит, ферримолибдит, куприт, тенорит, кирпичная медная руда, малахит, азурит, хризоколла, лампадит, ярозит, гётит, гидрогётит, гидрогематит, кварц, гипс, каолинит, кальцит, хальканит, мелантерит и др. Из них наиболее распространены вторичные сульфиды меди, каолинит и гипс.

Первичные сульфиды — молибденит, халькопирит, борнит, халькозин, энаргит и пирит часто развиты в виде реликтов во вторичных минералах.

Смешанные руды характеризуются повышенным содержанием меди по сравнению с сульфидными рудами.

Качественная характеристика окисленной медно-молибденовой руды по данным минера

Типы руд	Рудообразующие минералы	Содержание минерала, %	Содержание основного компонента в руде, %	Полезные примеси в руде	Форма выделений, %		
					изометрическая, округлая	удлиненная, пластинчатая, лучистая, игольчатая	неправильная, неправильная, порошковатая, клаеки, реликты
<i>Окисленные медно-молибденовые</i>							
	<i>Промышленные минералы</i>						
	Повеллит	0,5—5	0,005—0,07	Au	30	40	30
	Ферримолибдит	0,3—1	(Mo окисленный)		—	20	80
	Молибденит (реликты)	0,00n	0,001—0,02 (Mo сульфидный)		—		100
	Малахит	0,5—3		Ag	10	20	70
	Хризоколла	0,2—1			—	—	100
	Куприт	0,3—2	0,4—1,5 (Cu окисленная)	Bi	20	—	80
	Тенорит	0,2—1			20	20	60
	Халькопирит (реликты)	0,00n		Ge	—	—	100
	Азурит, медь самородная, лампадит, делафоссит	0,5	0,1—0,05 (Cu сульфидная).		10		90
	<i>Минералы — полезные примеси</i>						
	Золото самородное	<0,001			50		50
	<i>Непромышленные минералы, содержащие примесь Mo и Cu</i>	35—65					
	Гётит, гидрогётит, лепидокрокит, ярозит; пиролузит, псиломелан; каолинит, галлуазит				—		—
	<i>Непромышленные минералы</i>	25—50			—	—	—
	Кварц, халцедон, опал, кальцит, доломит, арагонит, гидрослюды, реликты пордообразующих минералов						

Примечание. Таблицы 7 и 8 составлены по данным изучения нескольких сотен штуков, лизов по одному месторождению.

Таблица 7

логического и химического анализов

Гра- ничи- выде- ления, %	Размер выделений, мм; коли- чество %	Срастания руд для обогащения							
		благоприятные			неблагоприятные				
прямые	зазубренные	>2	2-0,2	0,2-0,02	<0,02	текстуры	структуры	текстуры	структуры
20	80	10	30	30	30	Унаследован- ные — вкрап- ленная, пятни- стая, прожил- кообразная,	Средне-, мел- козернистые	Колломорф- ная, реликто- вая, каёмочная, сетчатая, ните- образная, деп- ритовая, по- рошковатая, пятнистая, про- жилкообразная	Скрытокристал- лическая, геле- вая, тонкодис- персная, дроб- ления
30	70	5	20	35	40	корковая, про- жилковая		метасоматиче- ской пропитки,	
—	100	5	20	25	50			трещиноватая,	
—	100	10	20	20	50			каркасная	
10	90	10	20	20	50				
10	90	5	25	20	50				
—	100	5	15	20	60				
—	100	5	20	25	50				
—	100	10	10	20	60				
50	50	—	—	30	70				
—	—	—	—	—	—				
—	—	—	—	—	—				

шлифов и шлихов из шлама буровых скважин и по данным нескольких тысяч химических ана-

Качественная характеристика смешанной медно-молибденовой руды по данным минера

Тип руды	Рудообразующие минералы	Содержание минерала, %	Содержание основного компонента в руде, %	Полезные примеси в руде	Форма выделений, %							
					изометрическая, округлая	удлиненная, пластинчатая, листистая	игольчатая, неправильная, порошкообразная, розетки					
Смешанные медно-молибденовые	<i>Промышленные минералы</i>		Re Au Ag Se Te Bi Ge	0,1—0,2 0,75—1,5 0,02—0,05 0,1—0,5 0,05—0,25 0,01 до 0,5 0,005—0,02 (Mo окисленный)	— 30 30 — — — 10 — —	95 20 40 — — — 30 — —	15 50 30 100 100 100 60 — 100					
	Молибденит	0,1—0,2										
	Халькопирит	0,75—1,5										
	Повеллит	0,02—0,05										
	Борнит	0,1—0,5										
	Халькозин	0,05—0,25										
	Ковеллин	0,01										
	Тенантит, энаргит, штромейерит	до 0,5										
	<i>Минералы — полезные примеси</i>											
	Пирит, марказит	2—3										
Смешанные медно-молибденовые	Галенит, сфалерит	0,01—1	0,04—0,1 (Mo сульфидный) 0,05—0,2 (Cu окисленная)	50 20 —	20 30 —	50 50 100	30 — —					
	Аргентит, золото, серебро	0,001—0,02										
	<i>Непромышленные минералы</i>											
	Полевые шпаты, кварц, роговая обманка, пироксены, биотит, карбонаты, каолинит, серцинит, хлорит, гётит, гидрогётит	90—95										
			0,3—0,6 (сульфидная)									
			Cu									

Окисленные прожилково-вкрашенные руды распространены в верхних горизонтах медно-молибденовых месторождений и продолжаются на глубину до 10—30, иногда до 50 м от поверхности. Они обычно приурочены к сильно каолинизированным и лимонитизированным породам. Содержание меди в окисленных рудах повышенное, а молибдена — более низкое по сравнению с сульфидными рудами. Рассеянные элементы: рений, селен и теллур окисляются до высших валентностей и выносятся грунтовыми водами.

В окисленных рудах распространены гипергенные минералы молибдена (повеллит, ферримолибдит, молибденосодержащий лимонит) и меди (куприт, тенорит, самородная медь, кирпичная медная руда, деляфоссит, малахит, азурит, хризоколла, халькантит, брошантит). Из гипергенных минералов железа в рудах широко развиты гётит, лепидокрокит, гематит, ярозит, иногда мелантерит и скородит.

Из гипергенных нерудных минералов в окисленных рудах присутствуют каолинит, гидрослюдя, кальцит, арагонит, халцедон, опал, кварц, гипс и др.

Таблица 8

логического и химического анализов

Границы выделений, %	Размер выделений, мм; количество, %	Срастания руд для обогащения							
		благоприятные		неблагоприятные					
прямые	зазубренные	>2	2–0,2	0,2–0,02	<0,02	текстуры	структуры	текстуры	структуры
30	70	10	50	20	20	Вкрашенная, пятнистая, прожилковая, прожилкообразная, брекчияевая	Крупно-, средне-, мелкозернистая	Каемочная, реликтовая, сетчатая, нитеобразная, трещиноватая	Скрытокристаллическая, гелевая, дробления
30	70	10	40	30	20				
—	100	—	—	40	60				
—	100	—	—	50	50				
—	100	—	—	40	60				
—	100	—	—	—	100				
10	90	5	10	35	50				
50	50	20	40	20	20				
30	70	20	30	30	20				
—	100	—	—	20	80				

В окисленных рудах молибденит, халькопирит, борнит, халькозин, энаргит, пирит, сфалерит, галенит, железистый доломит или полностью выщелочены, или мелкие выделения их нацело замещены вторичными минералами, или первичные минералы сохранились в виде мельчайших реликтов в массе вторичных минералов. Наиболее часто выщелачиваются или окисляются доломит, халькопирит, пирит и кварц; наиболее устойчивы молибденит и энаргит.

Для окисленных и смешанных руд характерны разнообразные текстуры: коррозионные (каемочная, нитеобразная, решетчатая, сетчатая, реликтовая), коллоидные и метаколлоидные (корковая фестончатая, землистая), каркасные (пористая, ящичная, ячеистая), а также вкрашенная, прожилковая, дендритовая и друзовая.

Гипергенные минералы характеризуются тонким срастанием друг с другом. Например, повеллит и ферримолибдит замещаются гётитом; тонкие корочки малахита, хризоколлы, халцедона, лампадита, кальциита и арагонита часто переслаиваются; в массе гётита развиты мелкие скопления ковеллина и реликты халькопирита; тончайшие пленки по-

веллита обволакивают кристаллы кальцита и молибденита; куприт об разует срастания с гётитом и халькозином; в халькозине содержатся тонкие реликты пирита и халькопирита.

В настоящее время и в ближайшие 20 лет главным методом обогащения руд цветных металлов останется пенная флотация. Основная масса цветных металлов сосредоточена в сульфидных месторождениях. Сульфидными являются около 75—80% свинцово-цинковых и более 85% медных руд.

По С. И. Митрофанову (1963 г.), к сульфидным относятся руды, в которых содержание ценного компонента в виде несульфидных минералов не превышает 10% его общей массы. При содержании окисленных форм металла до 20% руды считаются смешанными сульфидно-окисленными, а выше 20% — окисленными.

Флотация несульфидных минералов затруднена. Эти минералы, обычно имеющие кислородсодержащий анион, обладают сильной ионной связью и активно взаимодействуют с водой; они не имеют в отличие от сульфидов ярко выраженных гидрофобных свойств.

Окисленные и смешанные руды характеризуются сложным составом и строением. Текстурно-структурные особенности обусловлены развитием тонких прорастаний различных минералов, пустот выщелачивания, пропиткой рудными минералами вмещающих пород вследствие метасоматоза, распространением рыхлых, хрупких минеральных агрегатов. В процессе разработки гипергенные минералы легко перезмельчаются и переходят в шлам. Поэтому окисленные руды обогащаются по комбинированным флотационным и флотационно-гидрометаллургическим схемам или путем бактериального выщелачивания (медные руды).

Глава V

МЕТОДЫ ИЗУЧЕНИЯ ВЕЩЕСТВЕННОГО СОСТАВА ОКИСЛЕННЫХ РУД

Полевые методы изучения окисленных руд

Минералогическое изучение руды в полевых условиях проводится при документации естественных обнажений, кернов скважин, канав, шурfov, а также забоев и стенок подземных горных выработок и карьеров. Детально изучаются старые отвалы горных выработок.

В штуфных образцах описываются диагностические свойства и морфогенетические особенности минералов и их агрегатов (цвет, твердость, цвет черты, форма и размеры индивидов, выделений и др.); выделяются минеральные ассоциации.

Цвет минерала определяется в зернах, кристаллах и агрегатах, а также наблюдается цвет черты или порошка, оставляемого минералом на фарфоровой неглазурованной пластинке. Бесцветные и слабоокрашенные гипергенные минералы могут изменять цвет в зависимости от их лимонитизации, малахитизации и др. Для многих гипергенных минералов характерна яркая окраска. Наиболее распространены зеленая, синяя, красная, розовая, желтая, бурая, белая, серая, черная окраски.

Зеленая окраска различных оттенков характерна для малахита, псевдомалахита, анибергита, миметезита, мелантерита, бедантита, скородита, пиromорфита, моренозита, оливениита, атакамиита, повеллита и других; синяя и голубая окраска — для азурита, хризоколлы, пиза-

нита, халькантита, ковеллина, аурихальцита, линарита и других; желтая — для вульфенита, ферримолибдита, молибдита, бинггеймита, стибиоконита, фармакосидерита, бисмутита, серы, аурипигмента, клей-эфана, миметезита, ярозита, гринокита, бисмита, сервантита, массикита и др. Цвета розовый, красный наблюдаются у реальгара, кермезита, куприта, крокоита, самородной меди, гематита, эритрина, гидрогематита, гётита, вольтцина, родохрозита, феррикобальтина, родонита, деклуазита, биберита, лимонитизированного кварца, каолинита и др. Цвет бурый, желто-бурый типичен для гётита и гидрогётита, лимонитизированного сидерита, питтицита, смитсонита, анкерита, кассiterита и других; черный цвет присущ тенориту, марказиту, мельниковиту, псиломелану, асболану, лампадиту, халькозину, ковеллину, аргентиту, делаfosситу, коронадиту, платтинериту, урановой черни и др. Цвет белый, серый наблюдаются у кальцита, гипса, арагонита, керааргирита, церуссита, смитсонита, каолинита, гидроцинкита, отавита и др. Необходимо отметить, что при адсорбции гидроокислов железа белые и серые минералы часто окрашиваются в различные бурые тона. Вообще для минералов зоны окисления очень характерно развитие их в тесной смеси с гидроокислами железа. Серые и белые рудные минералы часто отличаются сильным «алмазным» блеском, например англезит, церуссит, валентинит и др.

Одной из характерных особенностей гипергенных минералов является форма их агрегатов и индивидов. Различаются корочки, натеки, примазки, пленки, дендриты, землистые или порошковатые и охристые массы, почки и сферолиты, псевдоморфозы, желваки, конкреции и друзы.

Структуры агрегатов коллоидные и метаколлоидные (скрытокристаллические, гелевые, волокнистые и радиально-лучистые), метазернистые, редко зернистые. Особенно типичны для окисленных руд трещиноватость и пустоты выщелачивания, которые определяют морфологические виды разнообразных каркасных текстур. Отличительной особенностью окисленных руд является наличие в них различных охр, сыпучек, раздробленных порошковатых минералов. При изучении минералогии окисленных руд особое внимание обращается на лимониты: определяют, являются ли они псевдоморфными или переотложенные. Детально исследуются их текстуры, структуры, химический состав.

При диагностике гипергенных минералов в полевых условиях большое значение имеют микрохимические реакции на Pb, Mp, Zn, Cu, Co, Ni, Mo, Bi, U и другие катионы. Ниже дано детальное описание реакций.

Минералогическое картирование месторождения проводится по специальной методике.

Штуфы, пробы и другие материалы в полевых условиях отбирают из всех частей окисленной зоны месторождения, начиная от первичных руд, едва затронутых окислением, до полностью окисленных руд, а также из прилегающих боковых пород с признаками гипергенной минерализации. Штуфные образцы отбираются из руд, различных по цвету, составу гипергенных минералов и их агрегатов, их строению; также отбираются образцы всех разновидностей вмещающих пород вблизи рудных тел.

Забои и отдельные части горных выработок фотографируют, составляют зарисовки штуфных образцов с типоморфными текстурами. На зарисовках показывают место локализации и характер морфологии агрегатов новообразованных минералов, например псевдоморфозы ярозита по пириту или гётита по пириту, или повеллита по молибдениту и др.; прожилки и друзы церуссита, куприта и др.; сферолитовые агре-

гаты гидроокислов железа, ферримолибдита, эритрина и др.; натечные агрегаты малахита, смитсонита и др. На планах отмечается количественное распределение гипергенных минеральных ассоциаций.

В полевых условиях отбирают штуфные образцы и шлифы, пробы гипергенных минералов, глинки трения каолинизированных и лимонитизированных пород.

Лабораторные методы изучения окисленных и смешанных руд

Вещественный состав и строение окисленных руд в лабораторных условиях всегда исследуется комплексом методов. Важнейшие методы: минераграфический, петрографический, иммерсионный, спектральный, шлиховой, химический, микрохимический, термический, рентгеноструктурный, электронномикроскопический и люминесцентный. В справочнике «Современные методы минералогического исследования» (1969) геолог-минералог найдет описание сущности перечисленных методов, их применение, обзор аппаратуры, довольно полную библиографию работ последних лет.

Минераграфический метод широко применяется как для изучения первичных сульфидных руд, так и окисленных и полуокисленных руд сульфидных месторождений. С помощью этого метода можно определить микровключения гипогенных реликтовых минералов в окисленных рудах, диагностировать гипергенные минералы и изучать последовательность их отложения и закономерности распределения минералов и ассоциаций в зоне окисления, а также производить количественное определение отражения и микротвердости гипергенных минералов.

Петрографический метод используется для определения прозрачных и полупрозрачных гипергенных минералов окисленных руд и выветрелых вмещающих пород и для определения реликтов жильных первичных минералов, а также при изучении строения руд и установления последовательности выделения минералов.

Иммерсионный метод имеет особенно большое значение в области диагностики прозрачных и полупрозрачных гипергенных минералов зоны окисления сульфидных месторождений, как, например, каолинита, азурита, малахита, смитсонита, церуссита, англезита, хризоколлы, повеллита, скородита, ярозита, ферримолибдита и др.

Спектральный анализ — один из основных методов определения содержания элементов-примесей в гипергенных минералах. С помощью этого метода исследуются также отдельные типы окисленных руд и выветрелые вмещающие породы: лимонитизированные, каолинизированные, ярозитизированные.

Шлиховой анализ применяется для изучения минерального состава окисленных руд, выделения в чистом виде некоторых минералов из протолочек окисленных и полуокисленных руд, установления реликтов первичных сульфидов в протолочках окисленных руд.

Химический анализ и методы микрозондирования широко применяются для определения химического состава гипергенных минералов. В настоящее время химический анализ минералов с помощью электронных микроанализаторов исключительно популярен благодаря быстроте выполнения эксперимента, небольшим количествам материала, необходимого для исследования, и возможности осуществить химический анализ на ничтожно малых по размеру объектах. Обычно химическому анализу с целью минералогической диагностики окисленных руд

должно предшествовать тщательное макро- и микроскопическое исследование.

Фазовый качественный микрохимический анализ широко применяется для изучения состава и строения окисленных руд как в полевых, так и в лабораторных условиях. С помощью микрохимических реакций быстро осуществляется качественное определение химических элементов и в первую очередь катионов, входящих в состав рудообразующих минералов. Методом окрашивания выявляются мономинеральные агрегаты.

Термический анализ часто применяется при диагностике минералов окисленных руд группы гидроокислов, карбонатов, сульфатов, глинистых минералов. При этом изучаются не только кристаллические, но также и скрытокристаллические их разновидности.

Метод электронной микроскопии позволяет изучать тонкодисперсные гипергенные минералы при увеличениях в 2000—100 000 раз. С помощью электронного микроскопа можно определять минерал, наблюдать и фотографировать форму, внутреннее строение и размер гелевых и скрытокристаллических частиц глинистых минералов, ярозита, повеллита, ферримолибдита и др.

Люминесцентный анализ применяется для диагностики в образцах и протолочках повеллита, некоторых гипергенных минералов урана, шеелита и флюорита.

Методы диагностики гипергенных рудных минералов в отраженном свете

При диагностике минералов окисленных руд под микроскопом в отраженном свете применяется комплекс методов, с помощью которых изучаются их физические и химические свойства, а также парагенезис минералов.

При исследовании полированных шлифов с целью диагностики рудообразующих минералов определяются оптические свойства: отражение, двутрение, цвет, эффект анизотропии и внутренние рефлексы.

Отражение — свойство полированной поверхности минерала отражать определенное количество падающего на него света. Это свойство наблюдается без анализатора. Рудные минералы сильно отражают свет и выглядят в полированном шлифе светлыми, яркими. Жильные минералы слабо отражают свет и кажутся поэтому серыми, темно-серыми. Показатель отражения обозначается символом R . Отражение рудных минералов в полированном шлифе неодинаковое.

Наиболее блестящими выглядят в отраженном свете самородные металлы, арсениды, антимониды, теллуриды с $R > 60\%$; очень светлыми — сульфиды с $R = 30—60\%$; выглядят светло-серыми и серыми окислы с $R = 10—30\%$. Силикаты, карбонаты, сульфаты темно-серые в полированных шлифах, у них очень низкое отражение (например R кварца = 4%).

В одноосных анизотропных рудных минералах количественно определяют два показателя отражения R_o , R_e , в двуосных — три R_g , R_m , R_p , изотропных — один. Для изотропных и анизотропных минералов, кроме того, устанавливают показатель отражения в воздухе R_v и в иммерсионной среде R_i . Качественная оценка отражения минерала производится по относительной яркости в шлифе при сравнении его с другим рядом расположенным минералом. Более тусклый или темный минерал из двух сравниваемых имеет более низкое отражение, более светлый

или яркий минерал — более высокое; точность визуального определения $R \pm 5\%$.

В воздухе отражение минерала наблюдают при небольших увеличениях 47, 90. Незначительные различия, едва заметные в воздухе, часто усиливаются в масляной иммерсии. Для качественной оценки рекомендуются иммерсионные объективы слабых увеличений 11 \times . Качественно оценить R можно на рудном микроскопе при сопоставлении с эталонами или с известными рудными минералами в шлифе. За эталоны берутся свежеотполированные минералы: пирит $R_b = 54,5\%$; галенит $R_b = 43,4\%$; сфалерит $R_b = 18\%$, англезит $R_b = 10\%$.

На изменение отражения влияют следующие факторы: качество полировки минерала, цвет ясноокрашенных минералов, двутражение минерала, элементы-примеси и твердые включения в минерале. Величину R необходимо оценивать по наиболее ярким и светлым зернам.

Двутражение — одно из характерных свойств минерала, обозначается символом ΔR . Двутражение наблюдается у анизотропных рудных и жильных минералов с поляризатором при вращении столика микроскопа на 360°.

Для сильно анизотропных минералов при вращении столика микроскопа характерны отчетливые изменения отражения и реже цвета. При этом зерна минерала разной ориентировки, расположенные в шлифе рядом, заметно отличаются друг от друга. Двутражение численно выражается разностью главных показателей отражения минерала: $\Delta R = R_g - R_p$. Например, абсолютное значение ΔR молибденита 44—15=29%; антимонита 44—30=14%; ковеллина 20—5=15%; кальцита 6—2=4% и др. У изотропных минералов двутражение отсутствует. Визуально у анизотропных минералов по интенсивности различаются сильное и слабое двутражение.

Сильное двутражение минерала наблюдается в воздухе с объективами малого увеличения 4 \times , 7 \times , 9 \times и характеризуется различной яркостью, реже цветовым эффектом. Например, у молибденита эффект двутражения выражается в изменении яркости зерен минерала при вращении столика микроскопа — от белого, светло-серого до серого тона, у ковеллина цветовой эффект двутражения — цвет его изменяется от светло-голубовато-серого до темно-синего с сиреневым оттенком.

Слабое двутражение наблюдается только в агрегате разноориентированных зерен исследуемого минерала в иммерсии с объективами малого увеличения 11 \times . У некоторых прозрачных минералов с высоким двупреломлением наблюдается сильное двутражение, например у карбонатов Ca, Mg, Fe, Pb, Zn. Кварц, барит, гипс и полевые шпаты не имеют двутражения. При изучении двутражения минерала в поле зрения микроскопа устанавливается мономинеральный агрегат с несколькими разноориентированными зернами.

Цвет рудного минерала в отраженном свете — важный диагностический признак. Визуально цвет минерала определяется при сравнении с цветом окружающих минералов. Обычно цвет исследуемого минерала сравнивается с цветом эталонов — галенита, сфалерита, халькопирита, пирита.

По цвету рудные минералы в отраженном свете делятся на две группы: 1) бесцветные и слабоокрашенные; 2) ясноокрашенные. К бесцветным относится подавляющая часть рудных минералов. Цвет их белый, светло-серый и серый. Этalonами бесцветных минералов являются следующие: галенит — белый; сфалерит — серый; англезит — темно-серый, кварц — темно-серый. Слабоокрашенные минералы — это бесцветные минералы со слабыми оттенками пастельных тонов: го-

лубоватые, желтоватые, розоватые, коричневатые, зеленоватые. Оттенок цвета минерала определяется на фоне галенита или в масле. Слабоокрашенные минералы меньше распространены, чем бесцветные.

Группа ясноокрашеных, или цветных, минералов самая небольшая. Цвет ясноокрашеных минералов легко устанавливается под микроскопом. Выделяются минералы желтого, розового и синего цвета. Этапами ясноокрашеных минералов являются: халькопирит — желтый; борнит свежеотполированный — розовый; ковеллин — синий.

При определении цвета исключительно большую роль играет фон окружающих минералов. Халькопирит в контакте с галенитом отчетливо желтый, рядом с золотом воспринимается как зеленовато-желтый.

Цвет минерала в воздухе отличается от цвета минерала в масляной иммерсии. Для одних минералов такие различия в цвете незначительны, для других — цветовой оттенок резко усиливается.

Эффект анизотропии — основной качественный диагностический признак. Рудные минералы в поляризованном отраженном свете подразделяются на изотропные и анизотропные. В группу изотропных минералов входят минералы кубической сингонии и аморфные. В группу анизотропных — минералы остальных сингоний.

Изотропный минерал при скрещенных николях становится темным и не просветляется при повороте столика на 360° . Анизотропные минералы при скрещенных николях обнаруживают изменение цвета или яркости. Наблюдается четырехкратное угасание анизотропного кристалла через каждые 90° при вращении столика микроскопа. Для одних минералов характерно прямое угасание (висмутин, никелин, энагрит и др.), а для других — косое (малахит и др.). Некоторые минералы сопровождаются цветовым эффектом анизотропии.

В скрещенных николях у некоторых минералов отчетливо проявляется двойниковое и зональное строение.

По интенсивности эффекта анизотропии минералы разделяются на три группы: сильно-, отчетливо- и слабоанизотропные.

Сильноанизотропные минералы — эффект анизотропии заметен в монозернах при вращении столика микроскопа (молибденит, антимонит, ковеллин, церуссит и др.). Отчетливоанизотропные минералы — эффект анизотропии наблюдается в агрегате разноориентированных зерен (киноварь, халькозин, тенорит и др.). Слабоанизотропные минералы показывают эффект анизотропии только в агрегате разноориентированных зерен, особенно при наблюдении в иммерсии (халькопирит, куприт и др.).

Внутренние рефлексы наблюдаются у полупрозрачных и прозрачных минералов с R ниже 44 %. Внутренними рефлексами называются цветные и бесцветные лучи, отраженные от внутренних элементов минерала (трещин спайности, твердых и жидких включений), а также от границ зерен. Они идут изнутри минерала со всей поверхности или образуют одиночные или групповые световые блики. Различают цветовые рефлексы (красные, коричневые, желтые, зеленые, синие, оранжевые) и бесцветные. Цвет внутренних рефлексов имеет важное диагностическое значение. Например, для киновари характерны красные внутренние рефлексы, для кассiterита — желтовато-коричневые, желтые, редко красные и т. д. Цвет внутренних рефлексов сходен с цветом минерала, наблюдаемым макроскопически в штуфах, или с цветом его черты на фарфоровой пластинке.

Бесцветные внутренние рефлексы встречаются главным образом у нерудных прозрачных минералов с $R=5-10\%$. У прозрачных и полупрозрачных минералов в полированных шлифах наблюдают

внутренние рефлексы при полностью скрещенных николях с объективами $9\times$, $40\times$ и сильным освещением. При этом просматриваются многие зерна минерала. У полупрозрачных минералов внутренние рефлексы слабо выражены и наблюдаются с трудом. Однако их можно выявить в порошке, полученному при царапании полированной поверхности, порошок изучают в скрещенных николях или под бинокуляром.

По интенсивности проявления внутренних рефлексов минералы разделяются на три группы:

1) внутренние рефлексы отсутствуют — в основном группа непрозрачных рудных минералов с $R > 44\%$;

2) слабые внутренние рефлексы — группа полупрозрачных рудных минералов с $R = 10—44\%$ (гематит, тенантит и др.); наблюдаются в порошке минерала или в иммерсии при скрещенных николях с объективами $9\times$, $40\times$ и сильном освещении; порошок минерала изучают на поверхности шлифа;

3) сильные внутренние рефлексы — группа полупрозрачных минералов с $R = 18—30\%$ и прозрачных минералов с $R < 18\%$ (куприт, аурипигмент, реальгар, гринокит, сфалерит, малахит, азурит, кальцит, кварц и др.), сильные внутренние рефлексы наблюдаются в скрещенных николях с объективом $9\times$ или под бинокуляром.

Физические свойства рудных минералов, такие как твердость, магнитность и кристалломорфные особенности, существенно облегчают их диагностику.

Твердость рудного минерала — способность его полированной поверхности оказывать сопротивление при царапании, шлифовании и микровдавливании. Применяются два метода определения твердости минералов: качественный и количественный.

В минерографической практике широко применяется качественное определение твердости рудных минералов методом царапания стальной и медной иглами. Твердость стальной иглы (швейной) равна 5, а медной 3 по шкале Мооса.

Конец иглы вводят в поле зрения при объективе $4\times$, $7\times$, $9\times$ и опускают до соприкосновения с полированной поверхностью минерала. Установив иглу под углом к поверхности минерала, проводят ею по направлению к руке. Если у минерала твердость ниже иглы, тогда на полированной поверхности образуется царапина. Большинство рудных минералов хрупкие и дают порошок при царапании иглой. У некоторых минералов вдоль царапины появляется стружка. Если минерал ковкий и вязкий, то игла оставляет желобок.

В определительных и описательных таблицах минералы по твердости царапания подразделяются на три группы: 1) низкой твердости до 3 по шкале Мооса, медная игла оставляет царапину; 2) средней твердости от 3 до 5 по шкале Мооса, стальная игла оставляет царапину, медная не оставляет; 3) высокой твердости выше 5 по шкале Мооса, стальная игла оставляет с трудом царапину или не оставляет ее совсем.

При проведении испытаний твердости методом царапания необходимо помнить о том, что твердость анизотропных минералов изменяется в зависимости от ориентировки зерен (например, анитимонита и др.), а изотропных — в зависимости от кристаллической структуры: у скрытокристаллических разностей минералов твердость ниже, чем у полнокристаллических.

Широко применяется качественное определение твердости по относительному рельефу. При изготовлении полированного шлифа рудообразующие минералы имеют различное сопротивление истирианию. В ре-

зультате этого при шлифовке и полировке твердые минералы стачиваются более медленно, чем мягкие, поэтому во всех полированных шлифах более твердые минералы слегка возвышаются над окружающими их мягкими минералами. При этом твердый минерал имеет положительный рельеф, а мягкий — отрицательный.

Относительную твердость минерала по рельефу определяют по правилу световой полоски. Для этого устанавливают в поле зрения микроскопа границу срастания испытуемого минерала и минерала с известной твердостью, частично прикрывают апертурную диафрагму и медленно поднимают тубус микроскопа. При подъеме тубуса световая полоска будет двигаться в сторону мягкого минерала, при опускании — полоска передвигается в сторону твердого минерала. Явление световой полоски можно наблюдать с объективами средних увеличений ($9\times$); если при этом увеличении световой полоски незаметно, то нужно использовать объектив более сильный ($40\times$).

Правило световой полоски следует использовать при сравнении рельефа минералов близкой твердости, а также при определении твердости минералов, представленных в виде включений в другом минерале, твердость которого известна.

Твердость минерала по рельефу не всегда может быть выявлена в скрытокристаллическом и аморфном агрегате, например в агрегате окислов железа и марганца и в других гипергенных минералах.

Количественное измерение твердости методом микровдавливания может быть проведено под микроскопом путем вдавливания алмазного наконечника (индентора) при определенных нагрузках. Микротвердость является одной из главных констант при диагностике минерала. Величина твердости минерала выражается в мегапаскалях (МПа) $1 \text{ кгс}/\text{мм}^2 \approx 10 \text{ МПа}$. Для измерения микротвердости минералов применяются различные модели микротвердометров. В СССР применяется микротвердометр ПМТ-3 фирмы ЛОМО. Устройство этого прибора и методика работы на нем детально описаны в работах М. М. Хрущова [1947], С. И. Лебедевой [1963, 1977], Г. А. Ильинского [1963].

Под кристалломорфными особенностями минерала понимаются форма минеральных индивидов и их внутреннее строение. При диагностике минерала внимательно наблюдают форму и внутреннее строение его зерен или выделений, твердые включения в них и границы срастания с другими минералами. Форма сечений кристаллов и агрегатов некоторых минералов очень типичная и может быть использована при диагностике.

Минеральные индивиды правильной кристаллической формы называются идиоморфными. Кристаллы и метакристаллы по форме сечений подразделяются на изометричные и удлиненные. Изометричные сечения имеют одинаковые измерения во всех направлениях в плоскости шлифа. Длина удлиненных кристаллов в несколько раз больше ширины. Изометричные формы сечений характерны для пирита, кобальтина, куприта и др. Удлиненными формами обладают все призматические, столбчатые, шестоватые, таблитчатые и игольчатые кристаллы, например молибденит, гематит, гётит, тенорит, ковеллин, вульфенит и др.

Кроме идиоморфных кристаллов в шлифе встречаются зерна аллотриморфной или неправильной формы. Они характерны для халькопирита, сфалерита, галенита, борнита, халькоцина и др.

Для ряда минералов зоны окисления типична колломорфная форма выделений — сферическая, почковидная и фестончатая, например тенорит, малахит и др. Внутреннее строение таких выделений скрыто-

Р
тыми
пельн
Капе
вяни

Г
тельн
зрени
шлиф
прим
7x и
тонко
реакт
фильт
тива
ние.

Неко
5 ми
реакт
- З
сопри
рует
ров
на»
нерад

Б
мине
дейст
Так,
ностн
ни
ракт
блюд

валь
зуль
поло
обра
ла; с
не из

цвет
под
буро
нера
пятн
бом
зерен

одни
инте
вестн
неск
ную

кристаллическое и гелевое. В них наблюдаются трещинки усыхания. Раскристаллизованные коллоидные агрегаты имеют радиально-лучистое строение в почках, пластинчатое и волокнистое в полосках и прожилках.

В процессе перекристаллизации минералов образуются кристаллобласты линзовидной, пластинчатой и овальной формы. При растрескивании хрупкие минералы распадаются на обломки и осколки; при замещении формируются реликты ранних минералов.

При диагностике минерала большое значение имеет внутреннее строение его зерен: спайность, двойники и зоны роста. Для некоторых минералов характерно от одной до трех систем спайности. Если имеются три или четыре направления спайности, могут образоваться треугольные и четырехугольные фигуры выкрашивания. Трещинки спайности в минерале, помимо структурного травления, выявляются в процессе окисления, например галенит замещается англезитом обычно вдоль трещинок спайности (см. рис. 15).

Двойники часто наблюдаются в зернах гипогенных минералов и редко в гипергенных (например, кальцит, гематит и др.). Различают двойники роста, превращения и давления. В зернах минералов двойники роста представляют собой узкие и широкие пластинки. Они бывают простые и полисинтетические. Двойники роста характерны для многих рудных и нерудных минералов, например антимонита, сфалерита, халькопирита, гематита, кальцита и др. Двойники превращения имеют пластинчатую или веретенообразную форму и часто перекрещиваются. Полисинтетические двойники давления возникают в зернах при динамометаморфизме. При этом во всех зернах минерального агрегата образуются многочисленные тонкие пластинки двойников, часто деформированные и разбитые трещинками.

Зональное строение обычно наблюдается в гипогенных и гипергенных минералах и отчетливо выявляется в процессе окисления (см. рис. 22) или структурного травления. В натечных агрегатах гипергенных минералах гётита, тенорита и других часто наблюдается концентрически-зональное строение.

Твердые включения в гипергенных минералах часто представлены реликтами гипогенных минералов (см. рис. 14) и редко продуктами распада твердого раствора, например борнит+халькопирит; твердые включения могут быть также представлены продуктами замещения.

При диагностике гипергенных минералов в отраженном свете изучаются также их химические свойства. Наиболее распространенными микрохимическими методами являются диагностическое травление и качественный микрохимический анализ.

Методика диагностического и структурного травления основана на различном поведении полированной поверхности зерен минерала при действии химических реагентов. Для травления применяются определенной концентрации стандартные реактивы: HNO_3 концентрированная; HCl концентрированная; KCN 20%-ный раствор (вес. %); FeCl_3 20%-ный раствор (вес. %); KOH 40%-ный раствор (вес. %); HgCl_2 5%-ный раствор (вес. %); царская водка (3 части концентрированной HCl и 1 часть концентрированной HNO_3); H_2O_2 30%-ная концентрация; H_2O . Травление очень характерно для гипергенных минералов.

Реактив H_2O_2 применяется при определении некоторых марганцевых минералов. Для минералов, совершенно не реагирующих с другими реактивами, иногда применяют царскую водку. При травлении сульфатов используется H_2O .

Растворы кислот следует хранить в капельницах с тонкооттянутыми пипетками, с притертными пробками, а растворы солей — в капельницах с резиновыми пробками. Вместимость капельниц 10—20 см³. Капельницы с реактивами для устойчивости устанавливаются в деревянную подставку или пластмассовую коробку с гнездами.

При проведении травления соблюдается определенная последовательность действий. Исследуемый минерал помещают в центр поля зрения микроскопа. На свежую и чистую полированную поверхность шлифа под микроскопом накладывается капля реактива. При этом применяются объективы, далеко отстоящие от поверхности шлифа (4×, 7× или 9×). Реактив наносится с помощью тонкооттянутой пипетки, тонкой стеклянной палочки или бумажной стрелки. После каждого реактива пипетку или палочку следует промыть водой и просушить фильтровальной бумагой, а бумажную стрелку обрезать. Капля реактива размером 0,5—1 мм накладывается на мономинеральное выделение. Испытание минерала травлением продолжается в течение 1 мин. Некоторые минералы травятся реактивами медленно в течение 3—5 мин (например, магнетит в HCl); другие минералы при воздействии реактива моментально чернеют (например, галенит в HNO₃).

За травлением минерала наблюдают под микроскопом с момента соприкосновения капли с поверхностью минерала. Наблюдатель фиксирует следующие положительные результаты травления: действие паров реактива, вскипание на поверхности минерала, образование « пятна» на поверхности минерала, выявление структурных элементов минерала.

При действии паров реактива на полированной поверхности минерала вокруг капли образуется цветная или темная кайма. Под действием кислот некоторые минералы вскипают медленно или бурно. Так, галенит медленно вскипает под действием HNO₃ и на его поверхности выделяются единичные пузырьки газа H₂S. При бурном вскипании выделяются многочисленные пузырьки газа H₂S или CO₂. Это характерно для кальцита, арсенопирита и др. Пузырьки газа хорошо наблюдать в скрещенных николях.

Через 1 мин поднимают тубус микроскопа и снимают фильтровальной бумагой каплю реактива. После снятия капли реактива результаты травления просматривают под микроскопом. Если реактив положительно действует на минерал, то на полированной поверхности образуется « пятно» или выявляются структурные особенности минерала; если реактив действует отрицательно — полированная поверхность не изменяется.

При интенсивном травлении минерала образуются пятна черного цвета или иризирующие. Если полированная поверхность минерала под действием реактива растворяется, образуется шероховатое серое, бурое или совсем черное пятно. Иногда полированная поверхность минерала окисляется, в этом случае образуется радужное иризирующее пятно желтой, красной, зеленой, синей и коричневой окраски. При слабом травлении выявляются структурные элементы минерала — границы зерен трещинки спайности, зональное и двойниковое строение зерен.

Некоторые минералы обладают векториальным травлением. На одних кристаллографических сечениях зерен они травятся реактивами интенсивно, на других — слабо или совсем не травятся. Поэтому неизвестный минерал желательно пропарить одним и тем же реактивом несколько раз и на разных сечениях зерен.

Перед нанесением следующего реактива на минерал полированную поверхность хорошо промывают. Если минерал пропарился, пре-

дущим реагентом, шлиф следует дополировать. Реактивы наносят на минерал выборочно, чтобы: 1) различать минералы с близкими физическими и оптическими свойствами, например антимонит и молибденит по-разному травятся KOH (см. определительную табл. I); 2) подтвердить диагностику минерала, произведенную по физическим и оптическим свойствам, например для халькозина результаты травления HNO_3 очень характерны.

Результаты диагностического травления минералов отражены в определительной таблице в виде различной интенсивности штриховки секторов круга.

При диагностике рудных минералов применяется структурное травление. Оно позволяет выявить внутреннее строение зерен (двойники, зональность роста, фигуры деформации), трещинки спайности и границы зерен, а также внутреннее строение агрегатов — аллотриоморфозернистое, идиоморфозернистое и т. д.

Структурное травление основано на том, что растворимость минерала изменяется в зависимости от кристаллографической ориентировки зерен. В плоскости шлифа одни зерна минерала будут растворяться быстрее, чем другие, а в отдельных кристаллах будут по-разному травиться двойники и зоны роста.

Структурное травление осуществляется в парах реактива и жидким реагентом. В последнем случае большую каплю реактива (2–3 мм и более) помещают на поверхность шлифа или погружают полированную поверхность минерала в реактив на часовом стекле. При травлении в парах реактива, например в парах царской водки, полированная поверхность минерала устанавливается над широким горлышком склянки с царской водкой. По истечении определенного промежутка времени результаты структурного травления в парах реактива наблюдаются под микроскопом. При этом полированную поверхность шлифа нельзя вытираять.

Структурное травление минералов производится специальными реагентами в течение определенного времени [Исаенко М. П., Борицкая С. С., Афанасьева Е. Л., 1972, 1973].

Качественный микрохимический анализ применяется для определения отдельных химических элементов, присутствующих в минерале, а также для изучения химического состава руд. С помощью микрохимического анализа можно различать в отраженном свете рудные минералы и в особенности минералы окисленных руд, сходные по оптическим и физическим свойствам, например: церуссит и смитсонит, псиломелан, гётит и настурян и др.

Качественный микрохимический анализ проводится следующими методами: кристаллоскопическим, капельным, отпечатков и окрашивания.

Для качественного микрохимического анализа составляется набор реагентов, которые подразделяются на две группы: растворители и проявители. Растворителями принято называть такие реагенты, которые используются для растворения минерала с целью получения испытуемого раствора. В эту группу входят кислоты различной концентрации (азотная, соляная, серная, уксусная), царская водка, аммиак различной концентрации, перекись водорода (30%-ная) и вода. Для получения перлов необходимы сухие реагенты — сода, селитра, бура, фосфорная соль и едкие щелочи. Проявителями принято называть реагенты, которые используются в реакциях для открытия химических элементов в испытуемом растворе, например желтая кровяная соль применяется для определения в испытуемом растворе Fe^{3+} , Mo^{4+} , Cu^{2+} , U^{6+} , йодид-

стый калий — для определения Pb и т. д. Для проведения микрохимических реакций применяются жидкие и твердые реагенты.

Кристаллоскопический метод основан на свойстве химического элемента образовывать нерастворимые осадки с проявителем. Осадки отличаются цветом и формой кристаллов. При проведении кристаллоскопического анализа соблюдают следующую последовательность в работе.

1. Растворение минерала с целью получения испытуемого раствора (минерал+растворитель) — это самая ответственная часть операции. Испытуемый раствор получается при растворении минерала в кислотах или щелочах. Труднорастворимые минералы сплавляют с содой или бурой в ушке платиновой проволоки, а затем перл растворяют в HCl (1 : 1). Растворение минерала производится на полированном шлифе; порошка минерала — на предметном стекле. Капля растворителя наносится на полированную поверхность минерала и выдерживается определенное время (от 1 до 5 мин). Полученный испытуемый раствор остается на полированной поверхности или переносится пипеткой на предметное стекло.

2. Открытие элемента в испытуемом растворе производится путем соединения капли раствора и капли проявителя на шлифе, на стеклянной или фарфоровой пластинке. На шлифе часто выпадает скрытокристаллический или аморфный осадок. Для получения кристаллического осадка поступают следующим образом: каплю испытуемого раствора помещают рядом с каплей проявителя на стеклянной пластинке и острым концом стеклянной или деревянной палочки проводят соединяющий каналчик между этими каплями, по которому реактив постепенно вливается в каплю раствора. Иногда в каплю испытуемого раствора вводят мельчайшую крупинку сухого реагента — проявителя.

3. Полученный осадок изучается на полированном шлифе под микроскопом в скрещенных николях или под бинокуляром; на предметном стекле — под микроскопом в проходящем свете. Наблюдатель записывает цвет и форму кристаллов осадка.

Капельный метод позволяет открывать химический элемент в капле испытуемого раствора по характерному цветному пятну на фильтровальной бумаге при добавлении капли проявителя. Этот метод наиболее чувствителен в микрохимическом анализе, что обусловлено абсорбирующими свойствами фильтровальной бумаги. На фильтровальной бумаге увеличивается концентрация растворенного вещества в определенных участках капельного пятна — в центре или на периферии. Анализ проводится по следующей методике.

1. Испытуемый раствор получают путем растворения минерала на полированном шлифе или в крупинках на предметном стекле в капле растворителя (минерал+растворитель). При этом обязательно соблюдается рекомендованная экспозиция травления минерала растворителем (2—3 мин).

2. Каплю испытуемого раствора переносят на фильтровальную бумагу (фильтровальная бумага+испытуемый раствор). С шлифа каплю испытуемого раствора снимают, промокая фильтровальной бумагой. С предметного стекла каплю переносят пипеткой. Величина пятна должна быть не более 2—3 мм в диаметре.

3. Элемент в испытуемом растворе открывают следующим образом. В центр капельного пятна на фильтровальной бумаге ставят пипетку с проявителем. Образуется цветное пятно в центре или кольцо на периферии капельного пятна, указывающее на присутствие искомо-

го элемента. Большинство цветных пятен после высыхания устойчивы и могут быть использованы в качестве иллюстраций в отчетах, курсовых и дипломных проектах.

Метод отпечатков основан на свойстве химического элемента давать с проявителем цветные пятна на фотобумаге. Метод отпечатков позволяет: 1) по цвету отпечатка устанавливать наличие химического элемента; 2) по рисунку отпечатка изучать форму выделений минерала, строение руды и определять количество минерала в руде; 3) подбирать определенный растворитель или проявитель и получать отпечаток на фотобумаге только данного минерала или группы минералов (например отпечаток молибденита, повеллита, галенита, церусита, сфалерита, смитсонита, пиролюзита, браунита и т. д.). Приготовленные этим методом отпечатки можно хранить в течение длительного времени и использовать в качестве иллюстраций.

Для анализа отбираются свежеприготовленные полированные шлифы или пришлифовки любого размера, а также образцы керна. Штуфы, шлифы и керны тщательно очищаются от пыли и пленок окисления. Приготавляется фотобумага, покрытая тонким слоем желатина, путем промывки обычной фотобумаги (лучше тонкой, глянцевой) в 20%-ном растворе гипосульфита. Затем фотобумагу промывают в воде, высушивают, нарезают листиками требуемого размера и хранят в пакетах или стеклянных банках. Фотобумага может быть заменена бесцветным целлофаном.

Из других материалов отбирают: зеркальные стекла размером 30×30 см (или 90×12 см), ручной пресс для отпечатков — пресс с грузом или обыкновенный ручной пресс для установки полированных шлифов, фильтровальную бумагу, несколько фарфоровых чашек, необходимые реактивы для микрохимического анализа данного типа руд, песочные часы, прибор для электротравления и т. д.

Растворение минерала на фотобумаге (фотобумага+растворитель+шлиф) — это одна из наиболее ответственных операций в анализе. Фотобумагу, отмытую от бромистого серебра, смачивают в растворителе. Пропитывание бумаги растворителем продолжается от нескольких секунд до 1 мин. Избыток растворителя всегда снимают фильтровальной бумагой. На приготавленную фотобумагу накладывают полированной поверхностью шлиф, который лучше прижать к фотобумаге, чтобы обеспечить полное соприкосновение полированной поверхности с бумагой, при помощи пресса с грузом или рукой. Травление продолжается определенный промежуток времени (экспозиция). Недодержка и передержка одинаково вредны.

Некоторые минералы (например, галенит, халькопирит и др.), нерастворимые или трудно растворимые в кислотах и щелочах, требуют предварительной обработки перед травлением на фотобумаге. Рассмотрим несколько примеров.

Халькопирит перед травлением обрабатывают в течение 2—5 мин в парах царской водки до получения тусклой серой пленки $CuCl_2$ на полированной поверхности минерала. После травления минерала в парах царской водки шлиф плотно прижимают к фотобумаге, смоченной раствором аммиака. Травление продолжается 5 мин. Затем фотобумагу проявляют в рубсановой кислоте. Появляется отпечаток серо-зеленого цвета.

Некоторые минералы перед травлением на фотобумаге подвергаются сплошному травлению, например образец или шлиф с галенитом погружают полированной поверхностью в чашку с HNO_3 конц. Травление продолжается 1 мин. На галените образуется пленка нитрата свин-

ца серого цвета. Затем образец осторожно промывают в воде, высушивают на фильтровальной бумаге и накладывают на фотобумагу, смоченную йодистым калием (5%-ный раствор). Моментально появляется отпечаток йодистого свинца желтого цвета.

Травление растворителем минерала, проводящего электричество, усиливается с помощью постоянного электрического тока на специальном приборе. Устанавливается следующее направление тока при определении катионов: провод отрицательным полюсом присоединяется к фотобумаге, пропитанной растворителем, а положительным — к минералу в полированном шлифе. Шлиф на этом участке тщательно очишают. При открытии анионов — устанавливают обратное направление тока в цепи: минус — к минералу, плюс — к бумаге.

Проявление отпечатка (фотобумага+проявитель). Полученный отпечаток в сыром виде погружают в реактив-проявитель (например, руbeanовая кислота, йодистый калий, раствор желтой соли). После проявления на фотобумаге образуется цветной отпечаток, отвечающий площади минерала, содержащего данный химический элемент. Каждый раз после проявления отпечаток промывают в воде в течение 1—3 мин. Затем отпечаток высушивают, обрезают и наклеивают как иллюстрацию.

Отпечатки можно с успехом получить с поверхности керна буровых скважин. Керн плотно заворачивается в фотобумагу, пропитанную растворителем. После этого фотобумага проявляется соответствующим проявителем. Таким образом приготавляются отпечатки с пришлифовок, шлифов и кернов руды, в которых наглядно можно показать наличие соответствующих химических элементов, количество рудного минерала, размеры его выделений и структурно-текстурные особенности строения руды.

Фазовый микротехнический анализ руд основан на различной растворимости минералов, содержащих один и тот же химический элемент, или на применении различных проявителей. С помощью фазового анализа определяется не только химический элемент, но и минерал, содержащий его. Обычно подбирают такой растворитель, который растворяет только один минерал из группы минералов, содержащих данный элемент, или, наоборот, растворяет все слагающие руду минералы, за исключением одного минерала.

При проведении фазового анализа методом отпечатков начинают обработку полированного шлифа или керна, применяя наиболее слабые растворители. При этом на отпечатке получаются участки, отвечающие площади распространения в полированном шлифе наиболее растворимого минерала. Остальные отпечатки, полученные с помощью более сильных растворителей, соответствуют некоторым минералам, но все же отличаются друг от друга по интенсивности окраски.

Метод окрашивания, или пленочный, применяется для изучения минерального состава руд ирудовмещающих пород. Хорошие результаты окрашивания руд получаются на пришлифованных штуфах, в полированных шлифах, в прозрачных шлифах без покровных стекол. При реакциях окрашивания на поверхности минерала образуется цветная пленка.

Окрашивание минералов основывается на физических и химических явлениях. Некоторые минералы (например, каолинит, серицит и др.) обладают способностью адсорбировать вещество органических красок: каолинит поглощает частицы растворенной в виде краски (кристалл-виолет или метиленовый голубой), серицит поглощает частицы родамина В.

В других минералах при воздействии реактивов развиваются химические реакции. Процесс окрашивания рассматривается как обменная реакция между красителем и минералами. В этом случае на поверхности минералов образуются пленки определенного состава и цвета. Например, на анкерите при действии HCl (1 : 20) и 5%-ного раствора $K_3Fe(CN)_6$ развивается пленка турбулевой сини, на церуссите при действии HCl (1 : 1) + 5%-ный KJ — пленка йодистого свинца желтого цвета, на скородите при действии 20%-ного раствора KOH — пленка коричневого цвета гидроокислов железа и т. д.

При окрашивании выявляется структура мономинеральных участков и строение кристаллических зерен. Окрашивание минералов также зависит от размеров зерен и иногда развивается с различной интенсивностью на определенных кристаллографических сечениях (например, у кальцита, рodoхрозита и т. д.). Устанавливается обратная зависимость между способностью минералов к окрашиванию и степенью их кристалличности. Аморфное и скрытокристаллическое вещество в один и тот же промежуток времени окрашивается быстрее и сильнее, чем средне- и крупнозернистые агрегаты этого же вещества. Лучше всего окрашиваются листоватые и волокнистые минералы.

Минералы в общем случае окрашиваются следующим образом. Препарат помещают в фарфоровую чашку с реактивом-красителем (лучше, когда он весь покрыт реактивом). Процесс окрашивания происходит в определенный промежуток времени и обычно подбирается экспериментально. После окрашивания препарат промывают в воде и высушивают, но не вытирают, так как в этом случае могут быть разрушены пленки.

В полевых условиях окрашивание легкорастворимых минералов (анкерита, сидерита, церуссита, скородита и др.) рекомендуется производить капельным методом. Капля реактива наносится на минерал при помощи пипетки. При этом экономят реактивы и получают хорошие результаты.

Метод окрашивания карбонатов является одним из основных методов диагностики карбонатных минералов в рудах и породах в полевых и лабораторных условиях. Такие карбонаты, как кальцит, доломит, магнезит, сидерит, анкерит, брейнерит и другие, характеризуются близкими физическими и химическими свойствами. Они весьма сходны между собой по внешнему виду. Оптические константы различных карбонатных минералов также близки. Поэтому для диагностики таких минералов в полевых условиях применяют разбавленную HCl . Главнейшие карбонаты по их взаимодействию с HCl (1 : 20) на холоде в течение 1 мин разделяются на четыре группы (табл. 9).

Таблица 9

Взаимодействие карбонатов с соляной кислотой

Группа	Минерал	Характеристика взаимодействия
I	Кальцит, арагонит, витерит, стронцианит, бисмутин, малахит, сферокобальтист	Бурно вскипают
II	Анкерит, смитсонит, рodoхрозит	Медленно вскипают
III	Церуссит, брейнерит, доломит	Очень медленно вскипают в порошке
IV	Сидерит, магнезит	Не вскипают даже в порошке

Если различные карбонаты образуют тесные прорастания и с помощью соляной кислоты разделить их не удается, тогда применяются реакции окрашивания. Ниже приведено описание методик окрашивания наиболее распространенных карбонатов.

Окрашивание и структурное травление карбонатов производится в растворе комбинированного реагента $HCl +$ ализарин рот + $K_3Fe(CN)_6$: 1 ч. HCl (1 : 20) + 9 ч. ализарина рот (0,1%-ный) + 2 ч. $K_3Fe(CN)_6$ (1%-ный) (реакция Л. Е. Штеренберга); применяется для массовых определений в полированных и открытых прозрачных шлифах. Экспозиция составляет 30—45 с. После окрашивания шлиф промывается под сильной струей воды. В результате окрашивания получаем: кальцит — яркий розовато-красный; манганокальцит — слабая розовая окраска; железистый кальцит — бледно-фиолетовый; анкерит — синий; доломит, сидерит, рodoхрозит этим реагентом не окрашиваются, даже при экспозиции 68 мин и более. Чтобы отличить карбонатные минералы I группы (см. табл. 9) от карбонатных минералов II, III и IV групп, применяются реакции с фиолетовыми чернилами и азотнокислой медью.

1. Проведем реакцию с фиолетовыми чернилами или анилиновой краской «кристалл-виолет». Для этого перед употреблением приготовим на часовом стекле 2—3 капли фиолетовых чернил (один чернильный порошок, растворенный в 100 мл воды), к которым будем добавлять по каплям HCl (1 : 20) до тех пор, пока чернила не изменят фиолетовый цвет на темно-зеленый. Полученный раствор помещаем на поверхность зерна, штуфа или открытого прозрачного или полированного шлифа. Раствор вступает в реакцию с карбонатом; в результате обменных реакций поглощается энергия HCl и восстанавливается цвет чернил до нормального — фиолетового. Кальцит и арагонит восстанавливают цвет чернил в течение 10—30 с, а другие карбонаты, слабее растворимые в HCl (1 : 20), в больший промежуток времени. По истечении 1 мин каплю реагента снимают фильтровальной бумагой. Кальцит и арагонит окрашиваются чернилами в фиолетовый цвет, а другие карбонаты не изменяются.

2. Возьмем 20%-ный раствор азотнокислой меди, в который погружаем зерна, штуфы, открытые прозрачные и полированные шлифы с карбонатами на 5 ч. Затем препарат без промывки погружаем на несколько секунд в концентрированный аммиак. После обработки аммиаком препарат тщательно промываем водой и слегка высушиваем. Синеголубое окрашивание остается только на кальците и арагоните. Доломит, сидерит, анкерит, магнезит и другие карбонаты не окрашиваются.

Чтобы отличить арагонит от кальцита, применяется окрашивание арагонита в концентрированном растворе нитрата кобальта. Зерна карбоната, штуф или полированный шлиф кипятятся в течение 5—6 мин в концентрированном растворе нитрата кобальта. Рекомендуется применять нитрат кобальта такой концентрации, при которой раствор после кипячения оставался бы окрашенным в красновато-коричневый цвет. Арагонит всегда окрашивается в фиолетовый цвет, кальцит не изменяется или приобретает слабый розоватый или голубой оттенок. В нитрате кобальта также окрашиваются витерит и стронцианит в фиолетовые тона.

Окрашивание железосодержащих карбонатов (анкерит, Fe-доломит, брейнерит, сидерит и другие железосодержащие карбонаты) происходит в реагенте 1 ч. HCl (1 : 20) + 1 ч. 1%-ного раствора $K_3Fe(CN)_6$ и выполняется фазовым анализом, который основан на различной растворимости карбонатов в HCl (1 : 20). Карбонат погружают в све-

жеприготовленный реагент. При этом анкерит и Fe-доломит окрашиваются в синий цвет в течение 1 мин, брейнерит — в сине-голубой в течение 3—5 мин, а сидерит — в зеленовато-синий в течение 10—12 мин.

Магнезит окрашивается дифенилкарбазидом. Кусочек магнезита или его зерна погружают в фарфоровый тигель с 5—10 каплями щелочно-спиртового раствора дифенилкарбазида и кипятят 5 мин. Затем красную жидкость сливают и минерал промывают горячей водой до исчезновения окрашивания промывных вод. Магнезит окрашивается в красно-фиолетовый цвет (интенсивный или слабый). Иногда порошок кипятят в нескольких порциях воды до тех пор, пока вода перестанет окрашиваться. Доломит и кальцит в растворе дифенилкарбазида не окрашиваются. Доломит подвергается окрашиванию лишь после прогревания.

Для приготовления раствора дифенилкарбазида берут 1—2 г дифенилкарбазида, растворенного в 100 см³ спирта при слабом нагревании, затем прибавляют 3 см³ 35%-ного раствора NaOH или KOH. Образуется раствор красного цвета из-за выделения натриевой соли дифенилкарбазида. Раствор кипятят в течение 5—10 мин до полного растворения щелочи. Для окрашивания необходимо применить свежеприготовленный раствор дифенилкарбазида.

Церуссит окрашивается в KJ. Минерал растворяется в течение 1 мин в HCl (1 : 1). Избыток кислоты снимается фильтровальной бумагой. Затем минерал смачивается 5%-ным раствором KJ. Выпадает осадок йодистого свинца желтого цвета. При этом англезит также окрашивается.

Смитсонит окрашивается ртутьно-родановой солью. Минерал растворяется в течение 2 мин в растворе Cu(NO₃)₂+HCl (1 : 1). Затем на травленое место помещается реагент ртутьно-родановой соли (HgCl₂+KCNS). Выпадает осадок лилового цвета двойной роданистой соли цинка и меди.

Реакции окрашивания, применяемые для определения некоторых рудных гипергенных минералов

Англезит. Минерал в шлифе, образце или крупинках смачивается раствором KJ. Моментально образуется желтое окрашивание в результате выделения йодистого свинца. Другие минералы свинца при этом не окрашиваются.

Вульфенит, ванадинит, плюмбоярозит, пироморфит, крокоит. Растворяют минерал в HNO₃ (1 : 1) в течение 2 мин, а затем 5%-ным раствором KJ окрашивают в желтый цвет.

Госларит. Минерал смачивается раствором азотно-кислой меди, а затем раствором ртутьно-родановой соли; образуется аморфный осадок лилового цвета.

Гидроцинкит, монгеймит, аурихальцит и другие гидрокарбонаты цинка. Минерал растворяется в HNO₃ (1 : 10) в течение 2—3 мин, затем обрабатывается раствором азотно-кислой меди и ртутьно-родановой соли; образуется осадок лилового цвета, двойной роданистой соли ртути и цинка.

Скородит. Минерал в землистых массах, в образцах или в полированном шлифе смачивается раствором KOH. Моментально образуется красновато-бурый осадок гидроокиси железа.

Реальгар. Минерал травится 40%-ным KOH в течение 2—3 мин. Раствор реагента окрашивается в коричневый до черного цвет. Минерал окрашивается быстрее в коричневый до черного цвет вблизи трещин и в тонком порошке.

Минералы урана. Минерал растворяется в HNO₃ конц. в течение 2—3 мин. На травленое место помещают раствор K₄Fe(CN)₆, образуется пленка коричневого цвета.

Касситерит. Крупинки или зерна касситерита помещаются на цинковую пластинку и обрабатываются HCl (1 : 1). Через 1—2 мин на поверхности зерен касситерита образуется пленка металлического олова. В полированных шлифах касситерит травится HCl (1 : 1), в каплю кислоты добавляют порошок металлического цинка. Экспозиция 2 мин. Затем смесь снимают фильтровальной бумагой. Образуется пленка олова на шлифе.

Шеелит. Крупинки или зерна шеелита помещают в маленький фарфоровый тигель, добавляют HCl кон. и зернышко металлического олова. Смесь подогревается в течение 3—5 мин. Зерна шеелита окрашиваются в синий цвет.

Пиролюзит, мanganит, псиломелан и вад. Крупинки или порошок минерала смачиваются раствором уксуснокислого бензидина, реактив и минералы окрашиваются в синий цвет.

Глава VI

АТЛАС ТАБЛИЦ ДЛЯ ОПРЕДЕЛЕНИЯ ГИПЕРГЕННЫХ И РЕЛИКТОВЫХ ГИПОГЕННЫХ РУДООБРАЗУЮЩИХ МИНЕРАЛОВ

Атлас состоит из определительных и описательных таблиц. Рудные минералы с помощью таблиц диагностируются по их главнейшим оптическим, физическим и химическим свойствам.

Для окисленных руд составлены две определительные таблицы. В табл. I даны главные и второстепенные минералы, в табл. II — редкие и очень редкие минералы. Всего охарактеризовано 130 минералов.

Определительные таблицы составлены в системе координат по схеме, предложенной Баун и Тейлором [1959]. В таблицах рудные минералы распределены по значениям их отражения R (%) и микротвердости H (МПа). По оси ординат отложена максимальная величина R в белом свете, по оси абсцисс — средняя величина микротвердости H в логарифмическом масштабе. В определительных таблицах показаны и другие свойства рудных минералов, которые наблюдаются в полированных шлифах в отраженном свете: эффект поляризации, внутренние рефлексы, данные диагностического травления, форма и внутреннее строение минеральных индивидов. По величинам H и R рудные минералы внутри каждой таблицы подразделяются на 12 групп. Три группы минералов по твердости (низкая, средняя, высокая) выделены по царапанию полированной поверхности металлическими иглами по шкале Мооса, а также по величине микротвердости: I группа минералов низкой твердости, по шкале Мооса 1—3, микротвердость 10—1200 при нагрузке 10—20 г; II группа минералов средней твердости, по шкале Мооса 3—5; микротвердость 1200—5500 при максимальной нагрузке 30—100 г; III группа минералов высокой твердости, по шкале Мооса 5—7 и выше; микротвердость 5500—8000 и выше при максимальной нагрузке 100—300 г. При этом, если минерал обладает анизотропией твердости, то он относится по величине твердости к различным группам, например пиролюзит и др.

По коэффициенту отражения внутри каждого подразделения по твердости выделены пять групп по сравнению с отражением минерала-эталона. В качестве эталонов приняты пирит ($R = 54.5\%$), галенит ($R = 44\%$), сфалерит ($R = 18\%$) и англезит ($R = 10\%$); точность визуального определения $R \pm 5\%$.

Количественные данные по величине отражения минералов для желтого света приведены по И. С. Волынскому (Вл), для белого и зеленого света — по С. Х. У. Баун (Б), П. Рамдору (Р), О. Эльснеру (Э), Н. Д. Синдеевой (С). Для некоторых минералов величина R вычислена авторами по формуле Френеля (в последнем случае нет ссылок на первоисточники). В таблицах I, II «точка» минерала наносится по максимальной величине R в воздухе.

Данные по величине микротвердости приведены по С. Х. У. Баун и К. Тейлору (БТ), которые использовали измерения Виккерса;

С. И. Лебедевой (Л), Н. Д. Синдеевой (С), Р. В. Гецевой и К. Т. Савельевой (ГС), М. В. Соболевой и И. А. Пудовкиной (СП) и данным авторов (нет ссылок на первоисточники).

Количественные измерения отражения производятся на специальных приборах различных конструкций, количественное определение микротвердости — на приборе ПМТ-3.

Диагностика рудного минерала начинается с определения его главнейших констант: отражения R и твердости H . По этим константам каждый минерал попадает в одну из 12 групп определительной таблицы.

Внутри каждой группы минерал диагностируется по другим свойствам: эффекту поляризации, двоутражению, внутренним рефлексам, форме минеральных индивидов и диагностическому травлению.

По эффекту поляризации минералы подразделяются на четыре группы: 1) сильноанизотропные, 2) отчетливоанизотропные, 3) слабоанизотропные, 4) изотропные. По двоутражению ΔR — на три группы: 1) сильное (например, ковеллин, $\Delta R = 20-5$); 2) слабое (например, арсенопирит, $R_g - R_p$); 3) отсутствует (знака нет, например, галенит). По внутренним рефлексам тоже на три группы: 1) сильные, наблюдаемые в воздухе; 2) слабые, наблюдаемые в порошке или иммерсии; 3) отсутствуют (знака нет).

Для некоторых минералов с отражением ниже галенита ($R < 44\%$) внутренние рефлексы сильные или слабые, для большинства гипергенных минералов, отражение которых ниже сфалерита ($R < 18\%$), внутренние рефлексы, как правило, сильные и представляют собой важный диагностический признак.

В определительных таблицах условными обозначениями показаны: характерная форма минеральных индивидов (идиоморфная, аллотриоморфная, скрытокристаллическая, радиально-лучистая и т. д.) и внутреннее строение зерен (двойниковое и зональное). Для каждого минерала приведены данные по диагностическому травлению: внутри круга, разделенного на шесть сегментов, показаны результаты диагностического травления. Травление минерала реактивами производится выборочно.

В определительных таблицах справа от названия минерала показаны один или два характерных химических элемента, на которые с целью диагностики рекомендуется провести качественный микрохимический анализ. При диагностике рудных минералов окисленных руд приходится часто пользоваться реакциями микрохимического анализа. Реакции приведены в описательных таблицах.

Следующий этап в работе — детальное изучение и подтверждение исследуемого минерала с помощью описательных таблиц. В этих таблицах минералы сгруппированы по химическому составу, например минералы Fe, Mp, Си и др. В каждой таблице минералы расположены по убыванию отражения. Для каждого минерала приведены следующие основные сведения: название, сингония, химический состав, R (в %), двоутражение, анизотропия, цвет, внутренние рефлексы, наблюдаемые в воздухе (В) и в иммерсии (МИ), твердость по шкале Мооса и микротвердость, поведение при полировании, микрохимические реакции и методика их проведения, форма и внутреннее строение индивидов и выделений, парагенезис, дебаеграмма (приведены наиболее интенсивные линии), показатель преломления и отличительные диагностические признаки. Реакции травления даны только для тех минералов, для которых они имеют важное диагностическое значение. На основе этих данных можно точно определить исследуемый минерал.

УСЛОВНЫЕ ОБОЗНАЧЕНИЯ К ОПРЕДЕЛИТЕЛЬНЫМ ТАБЛИЦАМ

Двутранжение сильное $\Delta R 62\text{-}54\%$

Двутранжение слабое $R_g - R_p$

ЭФФЕКТ АНИЗОТРОПИИ

- Слабо анизотропные
- — — Отчетливо анизотропные

- — Сильно анизотропные
- Не подчеркнуты минералы изотропные

ВНУТРЕННИЕ РЕФЛЕКСЫ



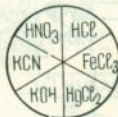
Рефлексы сильные,
заметные в воздухе



Рефлексы слабые,
заметные в масле и в порошке

ДИАГНОСТИЧЕСКОЕ ТРАВЛЕНИЕ

- ▽ Не травится
- ▽ Иногда травится
- ▽ Тускнеет, слегка буреет
- ▽ Травится, призирает, буреет
- ▽ Интенсивно травится, чернеет, буреет
- Бурно вскипает
- Иногда вскипает
- M Медленно буреет



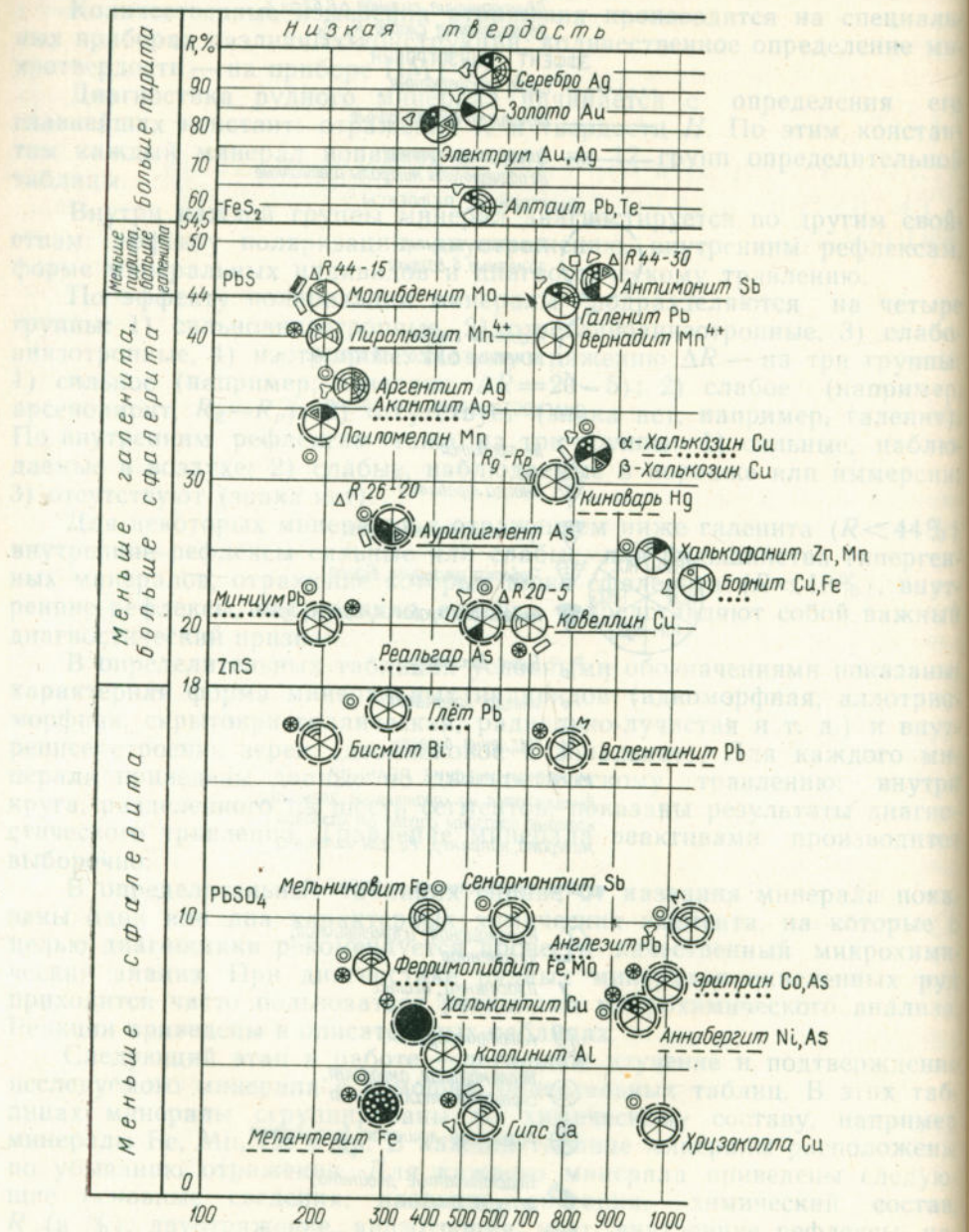
МИКРОХИМИЧЕСКИЕ РЕАКЦИИ

Выполняются на характерные элементы,
которые показаны справа от названия
минерала, например, Rb для галенита

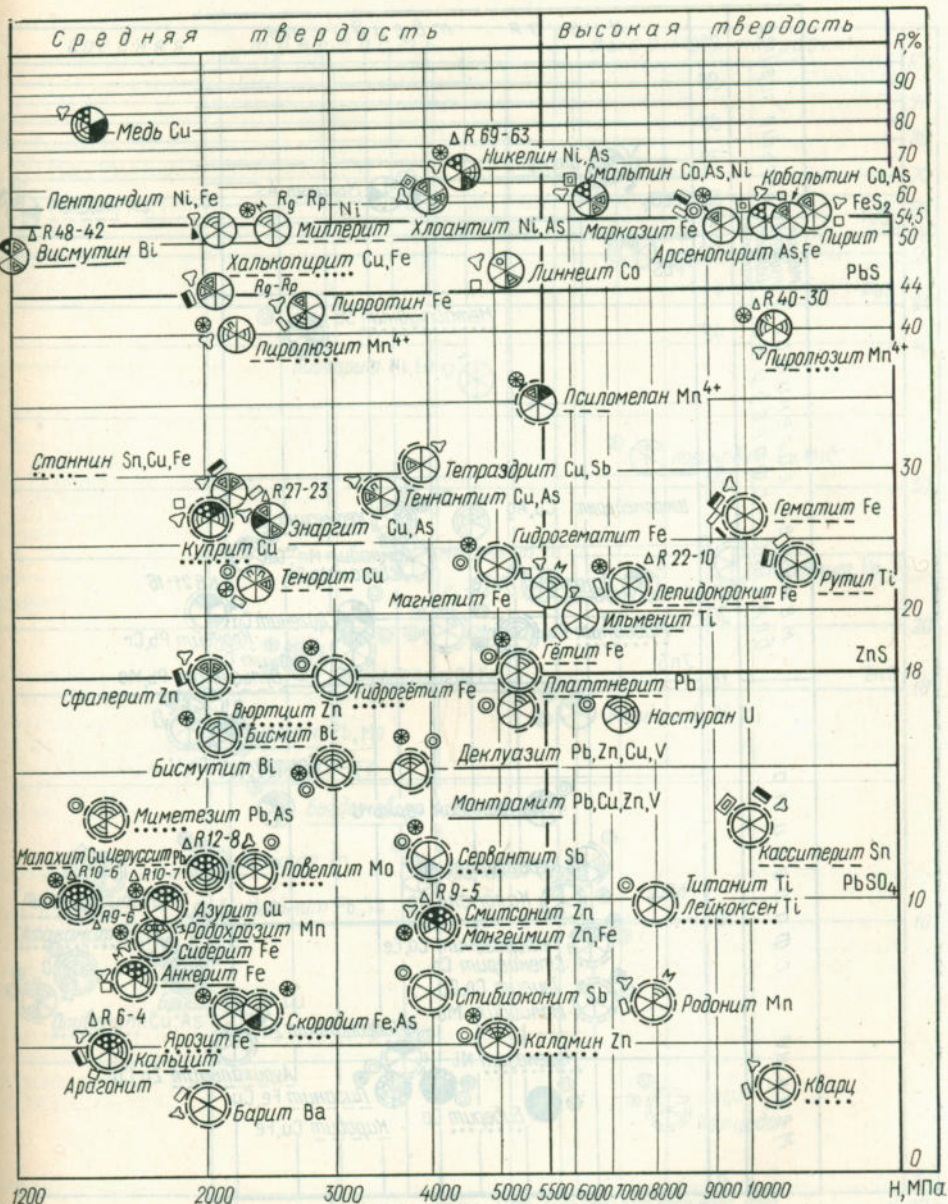
ФОРМА МИНЕРАЛЬНЫХ ИНДИВИДОВ

- ◇ Идиоморфная: изометрическая,
удлиненная
- / Пластинки, иеголы
- Аллотриморфная
- Колломорфная, аморфная,
скрытокристаллическая
- Радиально-лучистая, болонистая
- Пластинчатые двойники,
фигуры смятия
- Зональное строение
- ▲ Треугольники выкрашивания

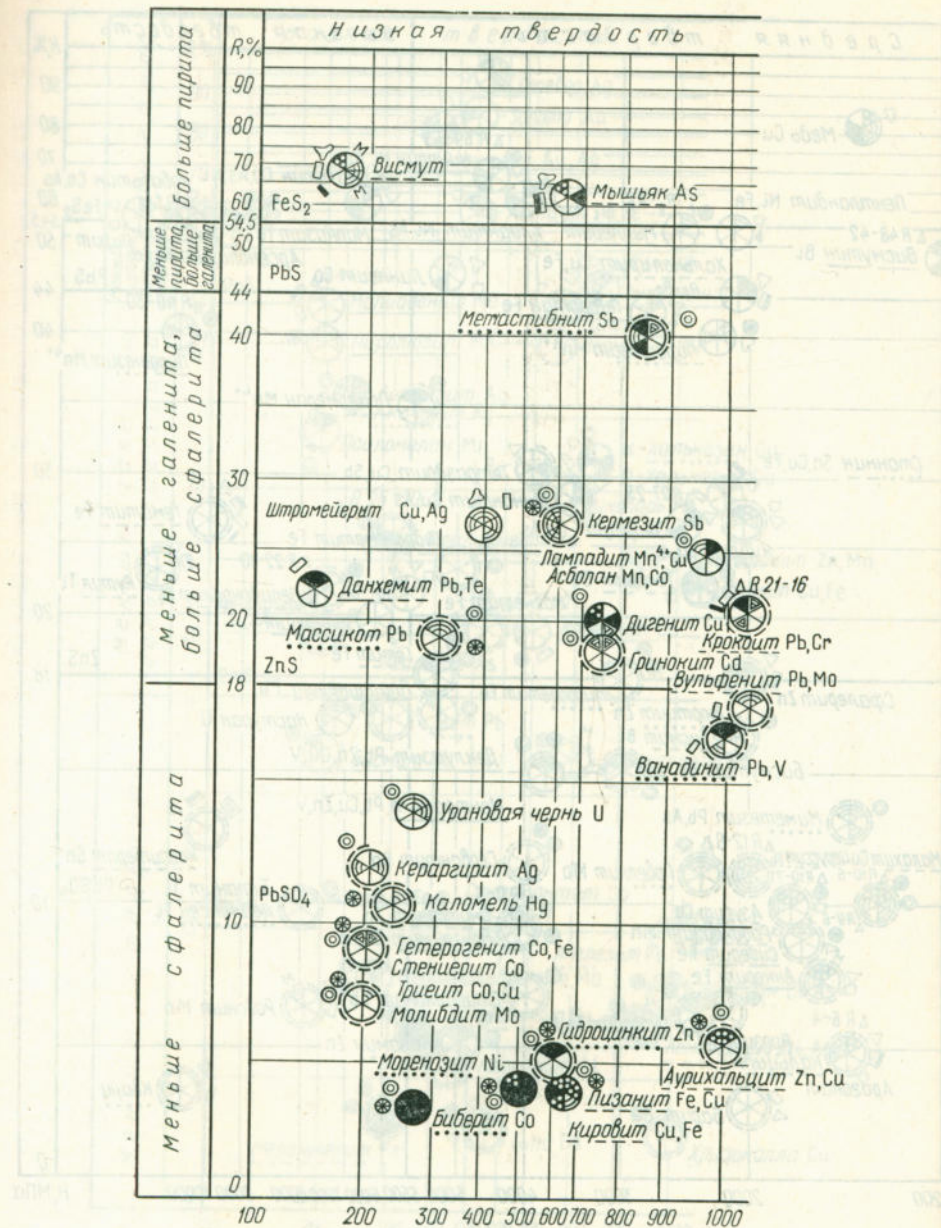
ОПРЕДЕЛИТЕЛЬНАЯ ТАБЛИЦА I. ГЛАВНЫЕ И ВТОРОСТЕПЕННЫЕ МИНЕРАЛЫ



ПАИИВАТ ГАННПЕТНПЭДЧПО
ІАЛАЧИИ ЭНДЭГ АНЭР О И ЭНДЭГ



ОПРЕДЕЛИТЕЛЬНАЯ ТАБЛИЦА II.
РЕДКИЕ И ОЧЕНЬ РЕДКИЕ МИНЕРАЛЫ

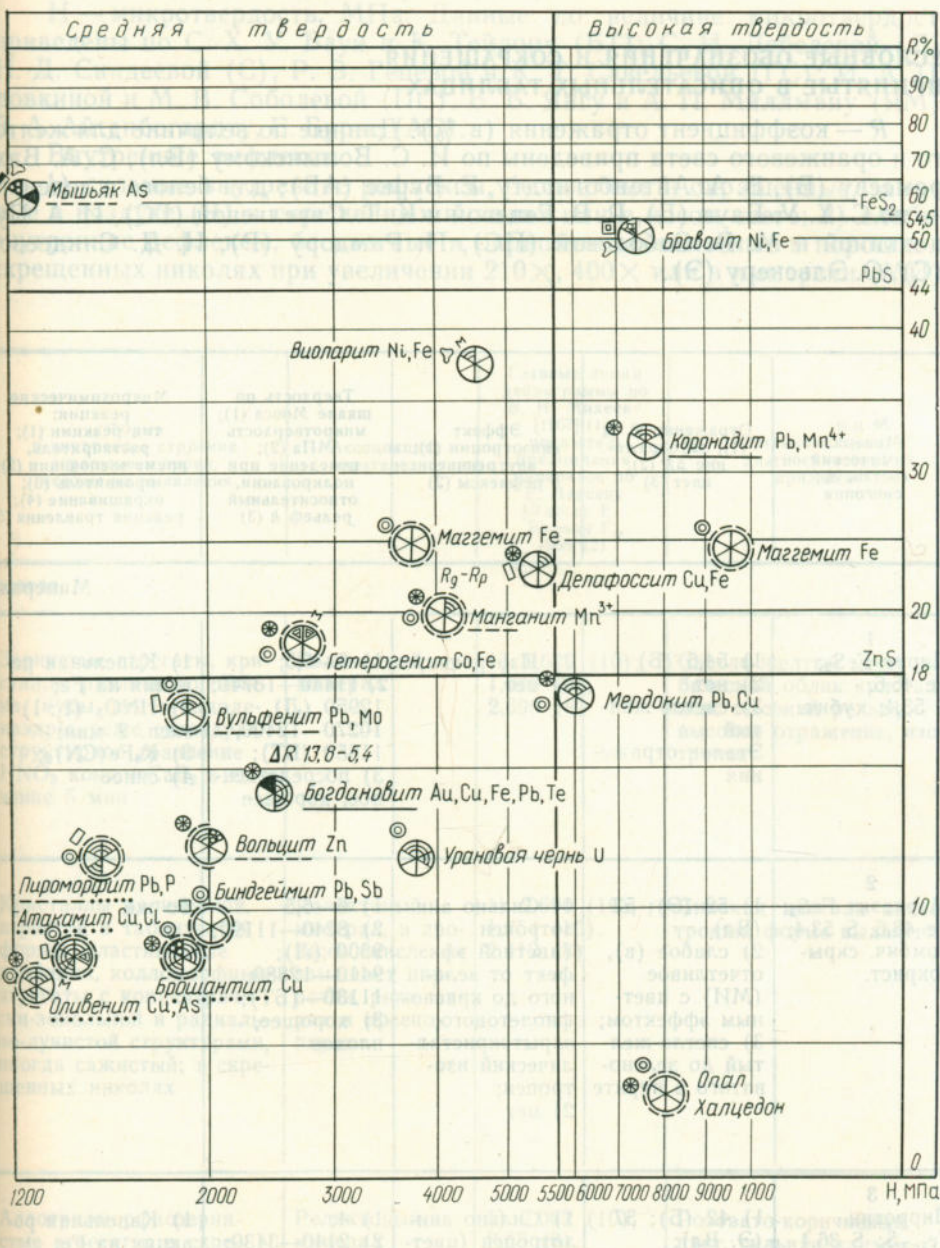


ОЧЕСТАВЛЕННЫЕ ТАБЛИЦЫ

ΔR — звукоизжжение

1) сильное, заметное в излучении (B)

2) слабое, заметное в измерениях (Mn)



ОПИСАТЕЛЬНЫЕ ТАБЛИЦЫ

УСЛОВНЫЕ ОБОЗНАЧЕНИЯ И СОКРАЩЕНИЯ, ПРИНЯТЫЕ В ОПИСАТЕЛЬНЫХ ТАБЛИЦАХ

R — коэффициент отражения (в %). Данные по величине для желтого и оранжевого света приведены по И. С. Волынскому (Вл), С. А. Вахромееву (В), В. А. Айтенбогардту, Е. Бурке (АБ); для белого и зеленого — по С. Х. У. Бауи (Б), Р. В. Гецевой и К. Т. Савельевой (ГС), И. А. Пудовкиной и М. В. Соболевой (ПС), П. Рамдору (Р), Н. Д. Синдеевой (С), О. Эльснеру (Э).

№ п/п Минерал: химический состав, %; сингония	Отражение <i>R</i> , % (1); двутрассе- ние ΔR (2); цвет (3)	Эффект анизотропии (1); внутренние рефлексы (2)	Твердость по шкале Мооса (1); микротвердость МПа (2); поведение при полировании, относительный рельеф <i>h</i> (3)	Микрохимические реакции: тип реакции (1); растворитель, время экспозиции (2); проявитель (3); окрашивание (4); реакция травления (5)	Минералы	же
1 Пирит FeS_2 ; Fe 46,6, S 53,4; кубич.	1) 54,5 (Б) 2) нет 3) светло-жел- тый Эталон отраже- ния	1) Изотропен; 2) нет	1) 6—6,5; 2) 11440—13740; 12950 (Л), 10270—12400, 11650 (БТ); 3) посредствен- ное, хорошее	1) Капельная ре- акция на Fe; 2) HNO_3 (1 : 1) эксп. 2 мин; 3) $K_4Fe(CN)_6$; 4) синее		З ст ка ст Н че
2 Марказит FeS_2 ; Fe 46,6, S 53,4; ромбич. скры- токрист.	1) 52 (Э); 53 (Вл) 2) слабое (в), отчетливое (МИ) с цвет- ным эффектом; 3) светло-жел- тый до зелено- ватого в пирите	1) Сильно ани- зотропен (цветной эф- фект от зеле- ного до красно- фиолетового; скрытокристал- лический изо- тропен; 2) нет	1) 6—6,5 2) 8240—11190; 9300 (Л); 9410—12880; 11130—(БТ); 3) хорошее, плохое	То же		К пе ф ди аг ск ис ин щ
3 Пирротин $Fe_{1-x}S$; S 36,4 Fe 63,6; гексагон. монохлин.	1) 42 (Б); 37 (Э. Вл); 2) отчетливое; 3) кремовый с розовато-ко- ричневатым от- тенком (желто- вато-коричнева- тый с розовым оттенком)	1) Сильно ани- зотропен (цвет- ной эффект желтовато-се- рий с красно- вато-коричне- вым оттенком); 2) нет	1) 4; 2) 2140—3430; 2500 (Л); 2800—3100; 3030 (БТ); 3) хорошее	1) Капельная ре- акция на Fe; 2) HNO_3 конц., эксп. 1 мин; 3) $K_4Fe(CN)_6$; 4) синее		А ст щ

ΔR — двутражение:

- 1) сильное, заметное в воздухе (В);
- 2) слабое, заметное в иммерсии (МИ).

Н — микротвердость, МПа. Данные по величине микротвердости приведены по С. Х. У. Бауи и К. Тейлору (БТ); С. И. Лебедевой (Л); Н. Д. Синдеевой (С), Р. В. Гецевой и К. Т. Савельевой (ГС); И. А. Пудовкиной и М. В. Соболевой (ПС), Б. Б. Янгу и А. П. Миллману (ЯМ); В. А. Айтебогардту, Е. Бурке (АБ).

Внутренние рефлексы:

1) сильные внутренние рефлексы, бесцветные и окрашенные, заметные в воздухе (В) в скрещенных николях или в косом свете; 2) слабые внутренние рефлексы, бесцветные и окрашенные, заметные в порошке в скрещенных николях при увеличении 210 \times , 400 \times или в иммерсии (МИ).

Форма и внутреннее строение агрегатов и зерен; методы их выявления	Ассоциация; парагенезис	Главные линии дифракограммы по В. И. Михееву [1957] (1); показатель преломления минералов по Е. Ларсену [Ларсен Е., Берман Г., 1965] (2)	Отличительные диагностические признаки
--	-------------------------	--	--

железа

Зернистые агрегаты, кристаллы различного облика (кубы, пентагонододекаэдры, реже октаэдры; структурное травление HNO ₃ конц. + CaF ₂ в течение 5 мин	Реликтовый минерал	1) 1,629 (10); 1,040 (9); 2,696 (8)	Светло-желтый цвет; кубический облик кристаллов; высокий рельеф; высокое отражение; изотропен
Кристаллы удлиненной, перистой и таблитчатой формы, пластинчатые двойники, колломорфные агрегаты с концентрически-зональной и радиально-лучистой структурами, иногда сажистый; в скрещенных николях	Реликтовый минерал, в процессе окисления замещает пирротин, реже пирит и арсенопирит	1) 2,690 (10), 1,754 (10), 2,412 (8)	Сильная цветная анизотропия; форма выделений

Аллотриоморфнозернистые агрегаты; в скрещенных николях	Реликтовый минерал	1) 2,062 (10), 2,63 (8), 1, 045 (8)	Розовато-коричневый цвет, сильная анизотропия; более сильно магнитен; моноклинный пироксен
--	--------------------	-------------------------------------	--

№ п/п Минерал; химический состав, %; сингония	Отражение R , % (1); двоотраже- ние ΔR (2); цвет (3)	Эффект анизотропии (1); внутренние рефлексы (2)	Твердость по шкале Мооса (1); микротвердость, МПа (2); поведение при полировании, относительный рельеф h (3)	Микрохимические реакции: тип реакции (1); растворитель, время экспозиции (2); проявитель (3); окрашивание (4); реакция травления (5)
4 Гематит Fe_2O_3 ; Fe 70, O 30; тригон.	1) 26 (Э); 27—24 (Вл); 2) слабое (В), отчетливое (МИ); 3) серовато- белый с голубо- ватым оттенком	1) Отчетливо анизотропен (пестрые цвет- ные эффекты в блеклых то- нах); 2) густые тем- но-красные (В, МИ); красный порошок	1) 5—6; 2) 7390—8220; 7550 (БТ), ми- крокристалли- ческий агрегат; 9200—10620, 10090 (БТ), крупнозерни- стый агрегат; 3) плохое, по- средственное, хорошее	1) Капельная ре- акция на Fe; 2) HCl конц., эксп. 3—5 мин; 3) $K_4Fe(CN)_6$; 4) синее
5 Гидрогематит $Fe_2O_3 \cdot H_2O$; Fe 70; O 30; тонкодисперс. скрытокрист.	1) 24—18, 18— 16 (Б); 2) нет; 3) серовато- белый с голу- боватым оттен- ком	1) Изотропен, слабоанизотро- пен; 2) красные (В, МИ)	1) 4—5; 2) 2000—5500; 3) посредствен- ное	То же
6 Магнетит Fe_3O_4 ; FeO 31, Fe 72,4, Fe_2O_3 69; кубич.	1) 21 (Э, Б); 20 (Вл); 2) нет; 3) серовато-бе- лый с коричне- вато-розовым (буроватым) оттенком	1) Изотропен; 2) нет	1) 5—6,5; 2) 5300—5990; 5600 (БТ); 5350—6950, 6100 (Л); 3) хорошее	1) Капельная ре- акция на Fe; 2) HCl конц., эксп. 3—5 мин; 3) $K_4Fe(CN)_6$; 4) синее
7 Маггемит Fe_2O_3 ; Fe 69,94; O 30,06; кубич.	1) 25,0 (Б); 21,1 (Р); 2) нет; 3) серый с го- лубоватым от- тенком	1) Изотропен; 2) темно-корич- невато-красные (МИ)	1) 5; 2) 3570—3870; 3780 (Л); 8940—9880; 9460 (БТ); 3) хорошее, часто трещины	То же
8 Лепидокрокит $\gamma\text{-FeOOH}$; Fe_2O_3 89,9, H_2O 10,1; ромбич.	1) 25—16 (Б), 22—10 (Э), 19—10 (Вл); 2) сильное, бо- лее отчетливое, чем у гётита, цветовой эф- фект; 3) серовато- белый	1) Отчетливо анизотропен; 2) желтоватые, коричневато- красные, бурые (МИ)	1) 4—5; 2) 6900—8030, 7240 (БТ); 3) обычно хорошее	1) Капельная ре- акция на Fe^{+2} ; 2) HCl конц., эксп. 3—5 мин; 3) $K_3Fe(CN)_6$; 4) синее

Продолжение табл.

Форма и внутреннее строение агрегатов и зерен; методы их выявления	Ассоциация; парагенезис	Главные линии дебаеграммы по В. И. Михееву [1957] (1); показатель преломления минералов по Е. Ларсену [Ларсен Е., Берман Г., 1965] (2)	Отличительные диагностические признаки
Пластиничатые или игольчатые кристаллы, аллотриоморфозернистые агрегаты, псевдоморфозы, корки, оолиты, конкреции; характерны пластиничатые двойники в зернах; в скрещенных николях	Реликтовый и гипергенный минерал; магнетит, ильменит, лепидокрокит, гётит, мушкетовит	1) 2,696 (10), 2,518 (10), 1,834 (10); 2) $N_e = 2,78$, $N_o = 3,01$, $N_o - N_e = 0,23$	По сравнению с магнетитом и ильменитом значительно светлее, внутренние рефлексы темно-красные; красный порошок; мартит — псевдоморфоза по магнетиту
Натечные агрегаты (корки, корки концентрически-зонального и радиально-лучистого строения), трещины дегидратации	В зоне окисления сульфидных месторождений; гётит, гидрогётит	1) 3,305 (10), 2,537 (10), 1,634 (10)	Красные внутренние рефлексы, натечные выделения. Замещает сидерит, анкерит, пирит, халькопирит, магнетит, яросит
Агрегаты изометричных зерен, октаэдрических и кубических кристаллов; образует структуры распада с ильменитом; замещается гематитом; структурное травление в HCl конц. 3—5 мин	Ильменит, гематит, апатит, сульфиды, мушкетовит, магнетит	1) 2,541 (10), 1,612 (9), 1,479 (9); 2) $N = 2,42$	Коричневатый оттенок, сильно магнитен, изотропен, реакция на Fe; мушкетовит-псевдоморфоза магнетита по пластинкам гематита
Оолиты, корки, каемки, тонкие прожилки, замещает магнетит	Магнетит, лепидокрокит, гётит и гематит. Продукт окисления магнетитовых руд	1) 2,51 (10), 1,605 (9), 1,480 (9)	Точно диагностируется только по дебаеграмме; от магнетита отличается голубоватым оттенком и внутренними рефлексами, магнитен
Таблитчатые кристаллы, радиально-лучистые агрегаты, спайность весьма совершенная по (100); в скрещенных николях	Гидроокислы железа. Замещает пирит и арсенопирит	1) 3,292 (10), 2,471 (10), 1,973 (10); 2) $N_p = 1,94$, $N_m = 2,20$, $N_g = 2,51$, $N_g - N_p = 0,59$	От гётита отличается формой выделений, двутражением, по сравнению с гематитом рефлексы слабее, двутражение сильнее

№ п/п Минерал: химический состав, %; сингония	Отражение R , % (1); двутраже- ние ΔR (2); цвет (3)	Эффект анизотропии (1); внутренние рефлексы (2)	Твердость по шкале Мооса (1); микротвердость, МПа (2); поведение при полировании, относительный рельеф h (3)	Микрохимические реакции: тип реакции (1); растворитель, время экскозации (2); проявитель (3); окрашивание (4); реакция травления (5)
9 Гётит $Fe_2O_3 \cdot H_2O$; Fe_2O_3 89,9, H_2O 10,1; ромбич.	1) 18—16 (В); 17,5 (Э, ВЛ, Р); 2) слабое (В), сильное (МИ); 3) серовато-бе- лый с голубо- ватым оттенком	1) Отчетливо анизотропен (мешают внут- ренние рефлек- сы); изотро- пен — скрыто- кристаллические разности; 2) сильные желтовато-бу- рые, буровато- красные, ко- ричневые	1) 4,5—5,5; 2) микрокри- сталлический 5250—6200; 5540 (БТ); крупнокри- сталлический 7720—8240; 8030 (БТ); 3) посредствен- ное, хорошее	1) реакция на Fe^{+2} ; 2) HCl конц., эксп. 3—5 мин; 3) $K_3Fe(CN)_6$; 4) синее
10 Гидрогётит $FeO(OH)$; α-гидрогётит Fe_2O_3 88—86, H_2O 12—14; ромбич., аморфный	1) 17 (Вл, Р); 2) нет; 3) серый с го- лубоватым от- тенком	1) Слабо ани- зотропен, изо- тропен; 2) желтовато- бурые (В, МИ)	1) 4—5; 2) 3000—3400; 3) посредствен- ное	1) Капельная ре- акция на Fe^{+3} ; 2) HCl конц. эксп. 5 мин; 3) $K_4Fe(CN)_6$; 4) синее 3а) KCNS 4а) красное
11 Сидерит $FeCO_3$; FeO 62,1, Fe 48,3, CO_2 37,9; тригон.	1) 10—6 (ВЛ); 10 (Э); 2) сильное (ме- шают внутрен- ние рефлексы); 3) серый	1) Сильно ани- зотропен (ме- шают внутрен- ние рефлексы); 2) сильные бес- цветные, буро- желтые	1) 3,5—4; 2) 2000—3970; 3) хорошее	1) Реакция окра- шивания на Fe^{+2} ; 2) HCl (1 : 10), эксп. 10—12 мин; 3) $K_3Fe(CN)_6$; 4) темно-синяя пленка
12 Мельниковит FeS_2 ; Fe 46,6, S 53,4; кубич.	1) 10; 2) нет; 3) коричневый	1) Изотропен; 2) нет	1) 2—3; 2) 400—1200; 3) плохо	1) Капельная ре- акция на Fe^{+3} ; 2) HNO_3 (1 : 1), эксп. 1 мин; 3) $K_4Fe(CN)_6$; 4) синее
13 Яросит $KFe_3[(OH)_6X$ $\times (SO_4)_2]$; K_2O 9,4, Fe_2O_3 47,7, SO_3 31,9, H_2O 10,8 Плюмбяросит $PbFe_6[(OH)_6X$ $\times (SO_4)_2]$; тригон.	1) 8 (Вл); 2) слабое; 3) темно-серый	1) Слабо аниzo- тропен, аморф- ные разности изотропны; 2) сильные желтые, бурые	1) 2,5—4; 2) 1100—2100; 3) хорошее	1) Реакция окра- шивания на Fe^{+3} ; 2) HCl (1 : 1), эксп. 2 мин; 3) $K_4Fe(CN)_6$; 4) синее

Продолжение табл.

Форма и внутреннее строение агрегатов и зерен; методы их выявления	Ассоциация; парагенезис	Главные линии дебаеграммы по В. И. Михееву [1957] (1); показатель преломления минералов по Е. Ларсену [Ларсен Е., Берман Г., 1965] (2)	Отличительные диагностические признаки
Каемки, петельчатые агрегаты, псевдоморфозы, почки, корки гелевого, скрытокристаллического, волокнистого и радиально-лучистого строения; трещинки усыхания в коллоидных агрегатах; спайность весьма совершенная по (010); в скрещенных николях	В зоне окисления замещает пирит, халькопирит, сидерит, анкерит, магнетит, гематит	1) 4,18 (10), 2,45 (9), 2,69 (8); 2) $N_p=2,21$, $N_m=2,35$, $N_g=2,35$, $N_g-N_p=0,14$	Сильные желтовато-бурые внутренние рефлексы; колломорфные выделения; радиально-лучистые агрегаты
Корки, каемки, псевдоморфозы по пириту халькопириту, ярозиту, повелиту и другим минералам; агрегаты скрыто-кристаллические и радиально-лучистые	Встречается в «железных шляпах»; замещает пирит, халькопирит, сидерит и др.	1) 4,178 (10), 2,450 (10), 2,690 (8)	Желтовато-бурые внутренние рефлексы; колломорфные и радиально-лучистые агрегаты
Полоски, оолиты, плотные и землистые массы; скрытокристаллический и зернистый. Полисинтетические двойники; спайность по (011); в скрещенных николях	Реликтовый минерал; в зоне окисления замещается гётитом	1) 2,791 (10), 1,733 (9), 2,135 (7); 2) $Ne=1,633$, $No=1,875$, $No-Ne=0,242$	Сильное двутрение и внутренние рефлексы; медленное травление в кислотах; реакция на Fe
Колломорфные агрегаты с концентрически-зональным строением; трещины усыхания	Гипогенный и гипергенный минерал; зона окисления колчеданных месторождений	1) 2,97 (10), 2,47 (8), 1,900 (7)	Тонкодисперсные выделения, магнетит, легко травится в HCl (1 : 20); реакция на Fe
Плотные и землистые массы скрытокристаллического, таблитчатого и волокнистого строения, редко друзы мелких кристаллов; смотреть под бинокуляром	Распространен в «железной шляпе». Замещается гётитом, гидрогётитом, гидрогематитом и др.	1) 3,06 (10), 2,27 (8), 1,96 (8); 2) $Ne=1,715$, $No=1,820$, $Nm=1,817$, $No-Nm=0,105$	Сильные внутренние рефлексы, реакция на Fe; парагенезис; для плюмбоязитита характерна реакция на Pb (см. галенит)

№ п/п Минерал: химический состав, %; сингония	Отражение R , % (1); двоотражение ΔR (2); цвет (3)	Эффект анизотропии (1); внутренние рефлексы (2)	Твердость по шкале Мооса (1); микротвердость, МПа (2); поведение при полировании, относительный рельеф h (3)	Микрохимические реакции: тип реакции (1); растворитель, время экспозиции (2); проявитель (3); окрашивание (4); реакция травления (5)
14 Мелантерит $\text{FeSO}_4 \cdot 7\text{H}_2\text{O}$; FeO 25,9, SO_3 28,8; монокл.	1) 4; 2) нет; 3) темно-серый	1) Отчетливо анизотропен; 2) сильные бес- цветные, свет- ло-зеленые, светло-желтые, буроватые	1) 2; 2) 100—600; 3) плохо	1) Капельная ре- акция на Fe^{+2} ; 2) вода, эксп. 5 мин; 3) $\text{K}_3\text{Fe}(\text{CN})_6$; 4) синее
15 Киротовит $(\text{Fe}, \text{Mg})_2\text{SO}_4 \times 7\text{H}_2\text{O}$; FeO 25,9, SO_3 28,8; монокл.	1) 4; 2) нет; 3) темно-серый	1) Отчетливо анизотропен; 2) сильные бледно-голу- бые, зеленова- тые, желтова- тые	1) 2; 2) 100—650; 3) плохо	То же
16 Пизанит $(\text{Fe}, \text{Cu})_2\text{SO}_4 \times 7\text{H}_2\text{O}$; SO_3 29,9, FeO 10,98, CuO 15,56, H_2O 43,56; монокл.	1) 4; 2) слабое; 3) темно-серый	1) Отчетливо анизотропен, 2) сильные светло-зеленые, светло-синие	1) 2—3; 2) 600—1200; 3) плохо	1) Капельная ре- акция на Cu; 2) вода, эксп. 5 мин; 3) рубеановая кислота; 4) серо-зеленое; Реакция на Fe^{+2} (см. киротовит)
Минералы				марганец
17 Пиролюзит MnO_2 ; Mn 63,2, O 36,8; тетрагон.	1) 40—30 (Вл); 35 (Э); 2) отчетливое в масле; 3) белый, серо- белый с корич- невато-кремо- вым оттенком в кристаллических разностях; темно-серый в аморфных разностях	1) Сильно ани- зотропен — кри- сталлические агрегаты (це- товые эффекты поляризации желто-оранже- вые); слабо анизотропен- слабо раскри- сталлизованные разности; 2) нет, от при- меси гётита возможны реф- лексы	1) 1—6,5; 2) 760 (БТ), 2560—3460 (БТ), 2250— 4050 (БТ), 2540 (Тубо), 1610—3210 (по Янгу, Мильт- ману); 3) посредствен- ное, хрупкий; хорошее (кри- сталлический)	1) Прямой отпе- чаток на Mn^{+4} ; 2, 3) уксуснокис- лый бензидин; 4) синее; 5) характерно травление с H_2SO_4 (1 : 1) + H_2O_2 (30 %-ный)

Продолжение табл.

Форма и внутреннее строение агрегатов и зерен; методы их выявления	Ассоциация; парагенезис	Главные линии дифракограммы по В. И. Михееву [1957] (1); показатель преломления минералов по Е. Ларсену [Ларсен Е., Берман Г., 1965] (2)	Отличительные диагностические признаки
Корки, почки, сталактины аморфного и волокнистого строения; совершенная спайность по (001); под бинокуляром	Халькантит, гипс, ярозит, гётит; реликты пирита и других сульфидов	1) 4,90 (10), 3,78 (7), 3,23 (4); 2) $Np=1,471$, $Nm=1,478$, $Ng=1,486$, $Ng-Np=0,015$	Светло-зеленые внутренние рефлексы, травление; реакция на Fe; для точной диагностики необходим химический анализ
Корки, почки, сталактины аморфного и волокнистого строения; совершенная спайность (по (110); под бинокуляром	Мелантерит, халькантит, гипс; реликты марказита, пирита и других сульфидов	1) 4,90 (10), 3,78 (7), 3,23 (4); 2) $Np=1,467$, $Nm=1,471$, $Ng=1,476$, $Ng-Np=0,009$	Бледно-голубые внутренние рефлексы, травление; реакция на Fe^{+2} , Mg; необходим химический анализ
Корки, почки, сталактины аморфного и волокнистого строения; смотреть под бинокуляром	Мелантерит, халькантит, гипс, реликты марказита, пирита и других сульфидов	1) 4,90 (10), 3,78 (7), 3,23 (4); 2) $Np=1,472$, $Nm=1,487$, $Ng=1,476$, $Ng-Np=0,015$	Бледно-голубые внутренние рефлексы, травление; реакция на F^{+2} ; необходим химический анализ минерала
марганца			
Сплошные кристаллические или скрытокристаллические массы, часто псевдоморфозы по почковидным агрегатам псиломелана; корки, оолиты, конкреции; кристаллы имеют игольчатый или шестоватый облик, полисинтетические двойники иногда развиты в зернах	Псиломелан, асболан, гидроокислы Fe и др.	1) 3,118 (10), 1,622 (10), 2,404 (9)	От других минералов марганца отличается высоким отражением и оттенком

№ п/п Минерал: химический состав, %; сингония	Отражение R , % (1); двоотраже- ние ΔR (2); цвет (3)	Эффект анизотропии (1); внутренние рефлексы (2)	Твердость по шкале Мооса (1); микротвердость, МПа (2); поведение при полировании; относительный рельеф h (3)	Микрохимические реакции: тип реакции (1); растворитель, время экспозиции (2); проявитель (3); окрашивание (4); реакция травления (5)
18 Псиломелан $MnO \cdot MnO_2 \times XnH_2O$; MnO_2 60, 80, MnO 8—25; H_2O 4—6, Mn 35—60; скрыто- крист., монокл. Разновидности псиломелана: цезаролит со- держит Pb до 70%; халько- фанит содер- жит Zn до 18— 23%	1) 35 (Вл), 25 (Э), 23—24 (Б); 2) нет; 3) серовато-бе- лый до синева- то-синего (МИ)	1) Изотропен (скрытокристал- лический); от- четливо аниzo- тропен (кри- сталлические разности); 2) бурые (МИ)	1) 4—6; 2) 5030—6270, 5720 (БТ), 2560 (Тубо); 3) плохое (пористый)	1) Капельная ре- акция на Mn^{4+} ; 2, 3) уксусно-кис- лый бензидин, экспл. 2—5 мин; 4) синее; 5) травление с H_2SO_4 (1 : 1) + + H_2O_2 (30 %-ный)
19 Коронадит $Pb_2Mn_8O_{16}$; Pb 28,6, MnO 7,8, MnO_2 60—61; тетрагон.	1) 32,5 (по Ор- селию), 29 (Б); 2) заметное; 3) светло-серый с желтоватым оттенком	1) Сильно ани- зотропен с цвет- ным эффектом от серого до коричневого, погасание пря- мое; 2) буроватые (МИ)	1) 4,5—5; 2) 3590—5420 (по Янгу, Мил- лману), 7670— 8130, 7840 (БТ); 3) хорошее	1) Кристаллоско- ическая реакция на Pb ; 2) на шлифе, HNO_3 конц., экспл. 2 мин; избыток кислоты высушить фильтр. бумагой; 3) KJ 5 %-ный; 4) осадок желтого цвета; реакция на Mn (см. псиломе- лан)
20 Манганит $\gamma\text{-}MnOOH$; MnO 80,66, O 9,12, H_2O 10,22, Mn 62,43; монокл.	1) 19—15 (Вл), 17 (Э); 31,4—19 (Б); 2) сильное; 3) серый, свет- ло-серый с ко- ричневатым от- тенком	1) Отчетливо анизотропен; 2) желтовато- красновато-ко- ричневые (В, МИ)	1) 4—4,4; 2) 3670—4590, 4100 (БТ); 3) хорошее, посредственное	1) Прямой отпечат- ок на Mn^{4+} ; 2, 3) уксусно-кис- лый бензидин, экспл. 1 мин; 4) синее; 5) травление с H_2SO_4 (1 : 1) + + H_2O_2 (30 %-ный)
21 Лампадит $(Mn, Cu)O \times X \cdot MnO_2 \cdot nH_2O$; Cu до 20; скрытокристал.	1) До 25; 2) нет; 3) серый, свет- ло-серый	1) Изотропен; 2) нет, слабые серовато-бурые (МИ) от при- меси гидроокис- лов	1) 2—3; 2) 600—1200; 3) плохо	1) Капельная ре- акция на Cu и Co ; 2) H_2SO_4 (1 : 1) + + H_2O_2 (30 %-ный) экспл. 1 мин. 3а) на Cu — рубе- новая кислота; 4а) серо-зеленое; 3б) на Co — $K_3Fe(CN_6)$ 5 %-ный; 4б) грязно-корич- невое; реакция на Mn^{4+} (см. пиролюзит)
22 Асоболан, Со- содержащий псиломелан; CoO (19—32) Примесь Cu , аморфный				

Продолжение табл.

Форма и внутреннее строение агрегатов и зерен; методы их выявления	Ассоциация; парагенезис	Главные линии дебаеграммы по В. И. Михееву [1957] (1); показатель преломления минералов по Е. Ларсену [Ларсен Е., Берман Г., 1965] (2)	Отличительные диагностические признаки
Сферические, натечные и землистые агрегаты гелевого, скрытокристаллического, радиально-лучистого строения	Пиролюзит, гидроокислы Fe, лампадит, асболан и др.	1) 2,191 (10), 3,462 (6), 2,877 (6)	Форма выделения, парагенезис; реакция на Mn ⁴⁺ ; для точной диагностики необходимы химический анализ и дебаеграмма
Сферические и натечные агрегаты радиально-лучистого строения, в скрещенных николях	Псиломелан пиролюзит, гётит, кварц, каолинит и др., редкий гипергенный минерал	1) 3,466 (6), 3,104 (10), 2,400 (4)	От псиломелана отличается реакцией на Pb; для полной диагностики необходим химический анализ
Натечные скрытокристаллические и радиально-лучистые агрегаты; в скрещенных николях	Пиролюзит, псиломелан, гётит и др.	1) 2,70 (10), 1,66 (8), 1,419 (7); 2) $N_p = 2,24$, $N_m = 2,24$, $N_g = 2,53$, $N_g - N_p = 0,29$	Реакция на Mn и радиально-лучистое, спиральное строение агрегатов; от пиролюзита отличается отражением и наличием внутренних рефлексов
Встречается в натечных и порошковатых массах черного цвета	Зона окисления медных и медно-молибденовых месторождений, гётит, кальцит, малахит, хризоколла, куприт и др.		Лампадит от псиломела-на отличается реакцией на Cu; для точной диагностики необходим химический анализ; асболан отличается реакцией на Co

№ п/п Минерал: химический состав, %; сингония	Отражение R , % (1); двутрассе- ние ΔR (2); цвет (3)	Эффект анизотропии (1); внутренние рефлексы (2)	Твердость по шкале Мооса (1); микротвердость, МПа (2); поведение при полировании, относительный рельеф h (3)	Микрохимические реакции: тип реакции (1); растворитель, время экспозиции (2); проявитель (3); окрашивание (4); реакция травления (5)
23 Родохрозит $MnCO_3$; MnO 61,7, Mn 47,8, CO_2 38,3; тригон.	1) 9—6; 2) сильное 3) темно-серый	1) Отчетливо анизотропен; 2) сильные бес- цветные, розо- вые	1) 3,5—4; 2) 2380—3670 (по Яигу, Мил- лману); 3) хорошее	1) Капельная ре- акция на Mn^{+2} ; 2) HCl конц., эксп. 2 мин, испытуемый ра- створ переносят на фильтроваль- ную бумагу; 3) $K_3Fe(CN)_6$ 5 %-ный; 4) бурое
24 Родонит $Mn(Fe, Ca)SiO_3$; MnO 50,54, CaO 2,25, FeO 0,96, SiO_2 45,46; триклини.	1) 6,7; 2) нет; 3) темно-серый	1) Изотропен; 2) сильные бес- цветные, слабо- розоватые, редко бурые	1) 5,5—6,5; 2) 5530—8100 (по Яигу, Миллману); 3) хорошее	1) Капельная ре- акция на Mn^{+2} ; 2) HCl 1 : 1, эксп. 5 мин.; испытуе- мый раствор пере- носят на фильтро- вальную бумагу; 3) $K_3Fe(CN)_6$ 5 %-ный; 4) бурое
Минералы				
25 Медь самород- ная Cu; Cu 97,20—98,3; кубич.	1) 83 (Вл, Р), 85 (Э), 93 (Б); 2) нет; 3) яркий розо- вый; тускнеет на воздухе	1) Изотропен; 2) нет	1) 2,5—3; 2) 1110—1430, 1260 (Л), 1200—1430, 1430 (БТ); 3) хорошее $h >$ халькозина, $<$ куприта, халькопирита	1) Капельная ре- акция на Cu; 2) NH_4OH , эксп. 2 мин; 3) рубеановая кис- лота 1 %-ная; 4) серо-зеленое; 2a) HNO_3 (1 : 1), эксп. 2 мин; 3a) $K_4Fe(CN)_6$ 5 %-ный 4a) розово-корич- невое
26 Халькопирит $CuFeS_2$; Cu 34,57, Fe 30,53, S 34,9; тетрагон., редко кубич.	1) 44 (Б), 47 (Вл), 42 (Э); 2) очень сла- бое, нет; 3) желтый	1) Слабо ани- зотропен, ино- гда отчетливо анизотропен (кубическая модификация — изотропен); 2) нет	1) 3,5—4; 2) 1840—2230, 2020 (Л), 1860—2190, 1940 (БТ), 2700 (кубиче- ская модифи- кация); 3) хорошее	1) Отпечаток на Cu; 2) анишлиф тра- вится в парах царской водки; эксп. 3—5 мин; растворитель на фотобумаге — NH_4OH (25 %-ный), эксп. 3—5 мин; 3) рубеановая кислота; 4) серо-зеленое

Продолжение табл.

Форма и внутреннее строение агрегатов и зерен; методы их выявления	Ассоциация; парагенезис	Главные линии дебаограммы по В. И. Михееву [1957] (1); показатель преломления минералов по Е. Ларсену [Ларсен Е., Берман Г., 1965] (2)	Отличительные диагностические признаки
Аллотриоморфнозернистые, реже кристаллические и аморфные агрегаты; встречаются почковидные агрегаты с радиально-лучистым строением, в скрещенных николях	Реликтовый минерал	1) 2,850 (10), 1,762 (8), 3,65 (7); 2) $Ne=1,605$, $No=1,826$, $No-Ne=0,221$	От других карбонатов отличается реакцией на Mn
Облик индивида толстотаблитчатый, средне-мелкозернистый, спайность совершенная по (110)	Реликтовый минерал	1) 2,938 (10), 2,968 (9), 2,755 (8); 2) косое погасание $Np=1,711-1,730$, $Nm=1,716-1,741$, $Ng=1,724-1,751$	В отраженном свете внутренние рефлексы розовые, совершенная спайность; реакция на Mn^{+2}
меди			
Агрегаты аллотриоморфных зерен, часто в виде дендритов; реже конкреции, порошковатые массы; полисинтетические двойники по (111); структурное травление $NH_4OH + H_2O_2$ (30 %), эксп. 30 с	В зоне окисления: гипс, халькозин, борнит, куприт, тенорит, малахит, азурит, гётит и др.	1) 1,276 (10), 2,085 (9), 1,806 (8)	Высокое отражение, яркий розовый цвет, травление, реакция на Cu; парагенезис
Аллотриоморфнозернистые агрегаты, очень редко кристаллы; полисинтетические двойники в зернах; эмульсия распада в сфалерите, структурное травление в парах царской водки	Реликтовый минерал, редкий гипергенный минерал в низах зоны цементации	1) 3,03 (10), 1,855 (10), 1,586 (10)	Желтый цвет, травление в парах царской водки, полисинтетические двойники, реакция на Cu

№ п/п Минерал: химический состав, %; сингония	Отражение R , % (1); двоотраже- ние ΔR (2); цвет (3)	Эффект анизотропии (1); внутренние рефлексы (2)	Твердость по шкале Мооса (1); микротвердость, МПа (2); поведение при полировании, относительный рельеф h (3)	Микрохимические реакции:; тип реакции (1); растворитель, время экспозиции (2); проявитель (3); окрашивание (4); реакция травления (5)
27 Халькозин Cu_2S ; Cu 79,86, S 20,14, α -халькозин ($<103^\circ$) ромбич.; β -халькозин ($>103^\circ$); гексагон., кубич.	1) 32 (Вл), 25 (Э); 2) нет; 3) серо-белый (до светло-го- лубого), редко с розоватым от- тенком	1) Изотропен, слабо анизо- тропен (α -халь- козин); 2) нет	1) 2,5—3; 2) 700—980, 840 (Л), 680—980, 840—(БТ); 3) очень хоро- шее	1) Капельная ре- акция на Cu; 2) NH_4OH (25 %-ный); эксп. 1 мин; 3) рубеановая кис- лота 1 %-ная; 4) темно-зеленое
28 Джарлеит $Cu_{1,93}S$; ромбич.	Похож на халькозин	То же	То же	То же
29 Тетраэдрит Cu_3SbS_3 ; Cu 45,77, Sb 29,22, S 25,01; кубич.	1) 30 (Вл), 28 (Э), 29,4 (Б); 2) нет; 3) серо-белый с оливково-ко- ричневатым от- тенком	1) Изотропен; 2) иногда в масле коричне- вато-красные	1) 3—4; 2) 3280—3670, 3510 (БТ), 2910—4440 (по Янгу, Милл- ману); 3) хорошее, выкрашивается	1) Реакция на Sb; 2) HNO_3 конц., эксп. 5 мин; избыток кислоты снять фильтро- вальной бумагой, положить каплю HCl (1 : 1); 3) $KJ + CsCl$ (порошок); 4) осадок красного цвета; реакция на Cu (см. тенантит)
30 Тенантит Cu_3AsS_3 ; Cu 51,57, As 20,26, S 28,17, кубич.	1) 28 (Вл, Э), 28,9 (Б); 3) серо-белый с голубовато- зеленоватым оттенком	1) Изотропен; 2) слабые ко- ричнево-крас- ные	1) 3,5—4,5; 2) 3080—3970, 3390 (Л), 3200—3610, 3380 (БТ); 3) хорошее, хрупкий, вы- крашивается	1) Отпечаток на Cu; 2) пары царской водки, эксп. 3— 5 мин; на фотобу- маге NH_4OH , эксп. 3—5 мин; 3) рубеановая кислота 1 %-ная; 4) серо-зеленое
31 Штромейерит $Cu_2S \cdot Ag_2S$; Ag 53,05, Cu 31,19, S 15,76 Разновидности: низкотемпера- турный $<78^\circ$; ромбич. высокотемпера- турный $>78^\circ$; кубич.	1) 27,5 (Э), 32,2 (Фоллинс- би); 2) слабое; 3) серо-белый с сиреневым оттенком	1) Сильно ани- зотропен, цве- товой эффект в синих и тем- но-фиолетовых тонах; 2) нет	1) 2,5—3; 2) 380—440, 410 (БТ); 3) хорошее	1) Отпечаток на Cu; 2) пары царской водки, эксп. 3— 5 мин; на фотобу- маге NH_4OH , эксп. 3—5 мин; 3) рубеановая кислота 1 %-ная; 4) серо-зеленое

Продолжение табл.

Форма и внутреннее строение агрегатов и зерен; методы их выявления	Ассоциация; парагенезис	Главные линии дебаограммы по В. И. Михееву [1957] (1); показатель преломления минералов по Е. Ларсену [Ларсен Е., Берман Г., 1965] (2)	Отличительные диагностические признаки
Аллотриоморфнозернистые агрегаты, пластинчатые кристаллы с трещинками спайности по (001), каёмки, прожилки, петельки скрытокристаллического строения	Гипергенный халькозин в зоне цементации с ковеллином, борнитом, джарлентом	1) 1,966 (10), 2,780 (4), 3,210 (3), α-халькозин	Голубоватая окраска, эффект поляризации, низкий рельеф, травление, реакция на Cu, трещинки спайности, парагенезис, халькозин и джарлент различаются дебаограммами и химическим анализом
То же	То же	1) 1,87 (10), 1,96 (10), 1,399 (9), ASTM	Халькозин и джарлент различаются дебаограммами и химическим анализом
Агрегаты аллотриоморфных зерен, редко изометричные кристаллы	Реликтовый минерал	1) 3,00 (10), 1,839 (10), 1,568 (8)	Изотропен, коричневатый оттенок, очень слабые внутренние рефлексы, реакция на Cu, Sb
В совместных выделениях с другими сульфидами образует аллотриоморфнозернистые агрегаты, реже в виде изометричных кристаллов; иногда наблюдаются двойники по (111), реже по (100)	Реликтовый минерал	1) 2,94 (10), 1,803 (10), 1,537 (8)	От станина и бурнонита отличается изотропностью, от тетраэдрита голубовато-зеленоватым оттенком, более яркими рефлексами красного цвета
Призматическая форма кристаллов; в скрещенных николях	Гипогенный реликтовый минерал; гипергенный минерал в зоне цементации	1) 3,10 (10), 2,92 (10), 2,59 (10)	Характерны сиреневый оттенок, цветовой эффект анизотропии

№ п/п Минерал: химический состав, %; сингония	Отражение R , % (1); двутраже- ние ΔR (2); цвет (3)	Эффект анизотропии (1); внутренние рефлексы (2)	Твердость по шкале Мооса (1) микротвердость, МПа (2); поведение при полировании, относительный рельеф h (3)	Микрохимические реакции: тип реакции (1); растворитель, время экспозиции (2); проявитель (3); окрашивание (4); реакция травления (5)
32 Энаргит Cu_3AsS_4 ; Cu 48,3, As 19,1, S 32,6; ромбич.	1) 28—25 (Б), 23 (Э); 27—23 (Вл); 2) слабое; 3) светло-розо- вый до серо- розового и фио- летового (свет- ло-розово-ко- ричневый)	1) Сильно ани- зотропен, цве- товой эффект фиолетово- красный до светло-зеленого; 2) нет	1) 3—3,5; 2) 2120—3290, 2700 (Л), 2450—3460, 2720 (БТ), 1330—1850, 1600 (БТ); 3) хорошее	1) Реакция на As; 2) HNO_3 конц., эксп. 5 мин; 3) $(NH_4)_2 MoO_4$ порошок; 4) лимонное; реак- ция на Cu (см. теннатит)
33 Куприт Cu_2O ; Cu 88,8, O 11,2; кубич.	1) 27,1 (Вл, Б); 2) нет; 3) серо-белый с голубоватым оттенком	1) Всегда вид- на отчетливая аномальная анизотропия; 2) сильные, красные	1) 3—4; 2) 2050—2070; 2060 (Л), 1920—2180, 1990 (БТ); 3) хорошее $h >$ меди, теро- рита, $<$ гётита	1) Капельная ре- акция на Cu; 2) HNO_3 конц.; эксп. 1—2 мин; 3) $K_4Fe(CN)_6$, 5 %-ный; 4) розово-корич- невое
34 Ковеллин CuS ; Cu 66,4, S 33,6; тексагон.	1) 20,5 (Вл), 26—19 (Э), 22—7 (Р, Б); 2) очень силь- ное (от светло- серого до сине- го); 3) синий до слабофиолето- вого, сине-бе- лого	1) Сильно ани- зотропен, цве- товой эффект от синего до красного; 2) нет	1) 1,5—2; 2) 770—900, 860 (Л), 690— 780, 720 (БТ), 520—1280 (по Янгу, Милл- ману); 3) отличное	1) Капельная ре- акция на Cu; 2) HNO_3 конц., эксп. 3—5 мин; 3) рубеановая кислота+ NH_4OH ; 4) серо-зеленое
35 Тепорит CuO ; Cu 79,9, O 20,1; минокл.	1) 24, 20 (Вл); 2) сильное (от белого до се- ровато-белого); 3) серо-белый с желто-корич- невым оттенком (рядом с куп- ритом коричне- вый)	1) Сильно ани- зотропен (цве- товые эффекты синие и белые), косое угасание; 2) нет	1) 3,5; 2) 2090—2540; 2360 (БТ); 3) хорошее; $h >$ халькоzина, $<$ куприта, гётита	1) Отпечаток на Cu; 2) NH_4OH ; эксп. 2 мин; 3) рубеановая кислота; 4) серо-зеленое

Продолжение табл.

Форма и внутреннее строение агрегатов и зерен; методы их выявления	Ассоциация; парагенезис	Главные линии дебаограммы по В. И. Михееву [1957] (1); показатель преломления минералов по Е. Ларсену [Ларсен Е., Берман Г., 1965] (2)	Однотипные диагностические признаки
Агрегаты столбчатых, таблитчато-призматических кристаллов, сплошные аллотриоморфозернистые выделения и включения в других минералах; в скрещенных николях	Реликтовый минерал	1) 3,21 (10), 3,08 (10), 2,85 (10); 2) $N_p=3,081$, $N_m=3,089$, $N_g=3,120$, $N_g-N_p=0,039$	Характерны светло-розовый цвет, сильная анизотропия, средняя твердость; травление KCN; реакция на As
Сплошные зернистые и скрытокристаллические выделения, кристаллы и метакристаллы, также в виде жилок и каемок; структурное травление HNO_3 (1 : 1)	Встречается в окисленных медных рудах: халькозин, гётит, тенорит, малахит, самородная медь, азурит, хризоколла и др.; замещает халькозин	1) 2,456 (10), 2,280 (10), 1,505 (9); 2) $N=2,849$	Сильные красные внутренние рефлексы, реакция на Cu;; травление; парагенезис
Пластичные кристаллы, радиально-лучистые сростки, сажистые массы; тонкие прожилки, каемки и коломорфные выделения; совершенная спайность по (001); в скрещенных николях	Халькозин, дигенит, борнит, гётит, англезит и др.	1) 2,81 (10), 1,890 (10), 3,04 (8)	Синий цвет, сильное двутражение и анизотропия; парагенезис
Псевдоморфозы, почки, прожилки, землистые массы скрытокристаллического и радиально-лучистого строения; поликристаллические двойники в зернах; в скрещенных николях	Малахит, гётит, хризоколла, деляфоссит, лампадит, куприт и др.; замещает куприт	1) 2,513 (10), 2,307 (9), 1,852 (7); 2) $N_m=2,63$ (красный), $N_m=3,17$ (синий)	Сильно анизотропен; реакция на Cu; натечные агрегаты с радиально-лучистой структурой; парагенезис

№ п/п Минерал; химический состав, %; сингония	Отражение R , % (1): двоотраже- ние ΔR (2); цвет (3)	Эффект анизотропии (1); внутренние рефлексы (2)	Твердость по шкале Мооса (1); микротвердость, МПа (2); поведение при полировании, относительный рельеф h (3)	Микрохимические реакции типа реакции ((1); растворитель, время экспозиции (2); проявитель (3); окрашивание (4); реакция травления (5)
36 Борнит Cu_5FeS_4 ; Cu 63,33; Fe 11,12; S 25,55; α-борнит (<200° С); ромбич. псевдокубич.; β-борнит кубич.	1) 24 (Вл), 18,5 (Э); 2) нет; 3) розовый в свежей поли- ровке; корич- невато-фиоле- товый в старых шлифах	1) Изотропен, иногда слабо анизотропен только в све- жем шлифе; 2) нет	1) 3; 2) 1000—1240; 1120 (Л), 970— 1050; 1010 (БТ); 3) хорошее	1) Капельная ре- акция на Cu; 2) HNO_3 (1 : 1), эксп. 1 мин; 3) рубсановая кислота 1 %-ная + + NH_4OH ; 4) серо-зеленое; реакция на Fe (см. delaфоссит)
37 Делафоссит $CuFeO_2$, Cu 41,99, Fe 36,88, O 21,13; тригона.	1) 22 (Вл); 2) слабое по границам зе- рен; 3) серо-белый с розовато-ко- ричневым от- тенком; похож на энагрит и тенорит	1) Отчетливо анизотропен (светло-синева- то-серые цвето- вые эффекты); прямое угаса- ние; 2) нет	1) 5,5; 2) 5000—6000; 3) хорошее, $h <$ куприта, гётита	1) Капельная ре- акция на Fe; 3) HCl конц., эксп. 1 мин; 3) $K_3Fe(CN)_6$ 5 %-ный; 4) синее; реакция на Cu (см. тено- рит)
38 Дигенит Cu_9S_5 ; Cu 79,8, S 20,2; кубич.	1) 19 (Б), 20—15 (Вл); 2) нет; 3) голубой, синий	1) Изотропен; 2) нет	1) 2,5—3; 2) 700—740 (по Янгу); 3) очень хоро- шее	1) Капельная ре- акция на Cu; 2) HNO_3 (1 : 1), эксп. 1 мин; 3) рубсановая кис- лота + NH_4OH ; 4) серо-зеленое
39 Малахит $Cu_2(OH)_2CO_3$; CuO 71,9, Cu 57,4, CO_2 19,9; H_2O 8,2; монокл.	1) 10—6 (Вл), 9 (Э); 2) сильное; 3) серый с ро- зоватым оттен- ком	1) Отчетливо анизотропен (мешают вну- тренние реф- лексы); 2) сильные зе- леные	1) 3,5—4; 2) 1240—1560 (Л); 3) хорошее	1) Отпечаток на Cu; 2) NH_4OH (10— 25 %-ный), эксп. 1 мин; 3) рубсановая кислота; 4) серо-зеленое

Продолжение табл.

Форма и внутреннее строение агрегатов и зерен; методы их выявления	Ассоциация; парагенезис	Главные линии дифрактограммы по В. И. Михееву [1957] (1); показатель преломления минералов по Е. Ларсену [Ларсен Е., Берман Г., 1965] (2)	О отличительные диагностические признаки
Аллотриоморфные выделения, каеки и тонкие прожилки	Гипогенический борнит в медных рудах; халькоцирцит, халькозин, блеклая руда, сфалерит и др.; гипергенический борнит в зоне цементации; халькозин, ковеллин, халькоцирцит и др.	1) 1,924 (10), 3,304 (8), 3,165 (8)	Розовый до светло-коричневого цвета; изотропен, низкая микротвердость; реакция на Cu и Fe
Грозевидные корочки. Друзы таблитчатых кристаллов; в скрещенных николях	Куприт, тенорит, медь, малахит, гётит, джарлеит, ковеллин и др.	1) 2,51 (10), 2,85 (8), 2,230 (8)	От тенорита отличается прямым угасанием и реакцией на Fe
Аллотриоморфные зерна с трещинками спайности по (001)	В гидротермальных месторождениях и в зоне цементации; халькозин, борнит, ковеллин и др.	1) 1,950 (4), 2,78 (2), 3,25 (1)	От изотропного халькозина отличается более низким отражением и синим цветом
Корки, почки, сталактиты скрытокристаллического и радиально-лучистого строения; спайность совершенная по (001); в скрещенных николях; под бинокуляром	Азурит, куприт, тенорит, гётит, лампадит, хризоколла и др.	1) 2,82 (10), 1,509 (9), 3,63 (8); 2) $Np = 1,655$, $Nm = 1,875$, $Ng = 1,909$, $Ng - Np = 0,254$	Зеленые внутренние рефлексы; травление в кислотах со вскипанием; сильное двуотражение; реакция на Cu; натечные агрегаты; парагенезис

№ п/п Минерал: химический состав, %; сингония	Отражение R , % (1); двутраже- ние ΔR (2); цвет (3)	Эффект анизотропии (1); внутренние рефлексы (2)	Твердость по шкале Мооса (1); микротвердость, МПа (2); поведение при полировании, относительный рельеф h (3)	Микрохимические реакции: тип реакции (1); растворитель, время экспозиций (2); проявитель (3); окрашивание (4); реакция травления (5)
40 Атакамит $3\text{Cu} \cdot \text{CuCl}_2 \times 3\text{H}_2\text{O}$; Cu 59,5, Cl 16,6, H_2O 23,9; ромбич.	1) 9; 2) слабое; 3) серый	1) Отчетливо анизотропен (мешают вну- тренние реф- лексы); 2) сильные зе- леные	1) 3—3,5; 2) 1000—2000; 3) плохое	1a) Капельная ре- акция на Cu; 2) минералы + + HNO_3 (1 : 1), эксп. 2 мин; 3) рубсановая кис- лота 1 %-ная; 4) серо-зеленое; 1б) реакция на Cl; после травления минерала HNO_3 кощ. прибавляют каплю AgNO_3 , об- разуется белый осадок AgCl (смо- треть в косом свете)
41 Азурит $\text{Cu}_3[\text{OH}(\text{CO}_3)_2]$; CuO 69,2, Cu 55,3, CO_2 25,6, H_2O 5,2; монокл.	1) 9 (Э); 9—7 (Р; Вл); 2) слабое; 3) серый с ро- зоватым оттен- ком	1) Отчетливо анизотропен (мешают вну- тренние реф- лексы); 2) сильные си- ни	1) 3,5—4; 2) 1200—2000; 3) хорошее	Реакция на Cu (см. малахит)
42 Оливенинит $4\text{CuO} \cdot \text{As}_2\text{O}_5 \times \text{H}_2\text{O}$; CuO 56,1, As_2O_5 40,70, H_2O 3,2; иногда содер- жит P_2O_5 до 5 %; ромбич.	1) 8,4; 2) нет; 3) темно-серый	1) Слабо ани- зотропен (ме- шают вну- тренние рефлексы); 2) сильные тем- но-зеленые, бу- рые	1) 3—3,5; 2) 1000—2000; 3) хорошее	Реакция на Cu и As (см. малахит и энаргит)
43 Брошантит $\text{Cu}_4[\text{SO}_4(\text{OH})_6]$; CuO 69,04— 70,36, SO_3 17,07—18,32, H_2O 11,03— 13,81; монокл.	1) 8; 2) нет; 3) темно-серый	1) Слабо аниzo- тропен (мешают внутренние рефлексы); 2) сильные изумрудно-зе- леные, зеленые	1) 3,5—4; 2) 1200—2000; 3) хорошее	1) Реакция окра- шивания на Cu; 2, 3) минерал + + HNO_3 (1 : 20) + + $\text{K}_4\text{Fe}(\text{CN})_6$ (5 %-ный), эксп. 1—3 мин; 4) пленка розово- коричневого цвета

Продолжение табл.

Форма и внутреннее строение агрегатов и зерен; методы их выявления	Ассоциация; парагенезис	Главные линии дебаеграммы по В. И. Михееву [1957] (1); показатель преломления минералов по Е. Ларсену [Ларсен Е., Берман Г., 1955] (2)	Отличительные диагностические признаки
Мелкие кристаллы призматического облика и почковидные агрегаты радиально-лучистого строения; спайность совершенная по (010); в скрещенных николях	Замещается малахитом, хризоколлой	2) $N_p = 1,831$, $N_m = 1,861$, $N_g = 1,880$, $N_g - N_p = 0,049$	От малахита отличается более слабым двутражением, а также реакцией на Cl
Корки, почки, землистые массы скрытокристаллического и радиально-лучистого строения; агрегаты таблитчатых зерен; в скрещенных николях; под бинокуляром	Малахит, гётит, лампадит, куприт; тенорит, кальцит; халькоцин, хризоколла и др.	1) 5,20 (10), 3,67 (10), 3,53 (10); 2) $N_p = 1,730$, $N_m = 1,758$, $N_g = 1,838$, $N_g - N_p = 0,108$	Синие внутренние рефлексы; травление в кислотах; сильное двутражение; отсутствие спайности; реакция на Cu; парагенезис
Корочки и почки скрытокристаллического, радиально-лучистого и волокнистого строения; мелкие друзы кристаллов; облик кристаллов призматический до игольчатого; под бинокуляром	Малахит, азурит, гётит, скородит и др.	2) $N_p = 1,747$, $N_m = 1,748$, $N_g = 1,829$ $N_g - N_p = 0,82$	От других гипергенных минералов меди с зелеными рефлексами отличается по реакции на As и оптическими свойствами
Корки и прожилки с волокнистым и радиально-лучистым строением; призматические кристаллы; порошковатые массы; смотреть под бинокуляром	Малахит, азурит, хризоколла, тенорит, куприт, церуссит, антлерит, атакамит, гётит, халькантит и медь самородная	1) 2,49 (10), 3,83 (9), 6,20 (7); 2) $N_p = 1,728$, $N_m = 1,771$, $N_g = 1,800$, $N_g - N_p = 0,072$	Изумрудно-зеленые внутренние рефлексы; травление; реакция на Cu; от малахита отличается химическим анализом и дебаеграммой

№ п/п Минерал: химический состав, %; синтез	Отражение R , % (1); двоотраже- ние ΔR (2); цвет (3)	Эффект анизотропии (1); внутренние рефлексы (2)	Твердость по шкале Мооса (1); микротвердость, МПа (2); поведение при полировании, относительный рельеф h (3)	Микрохимические реакции: тип реакции (1); растворитель, время экспозиции (2); проявитель (3); окрашивание (4); реакция травления (5)
44 Аурихальцит $(\text{Zn}, \text{Cu})_5$ $[(\text{OH})_3\text{CO}_3]_2$; CuO 19,92— 28,40, ZnO 45,67—53,12, CO_2 12,55— 16,48, H_2O 8,50—11,14; ромбич.	1) 5—7; 2) нет, слабое; 3) темно-серый	1) Отчетливо анизотропен; 2) сильные бес- цветные, голу- бые, зеленова- тые	1) 2—3,5; 2) 1000—1200; 3) плохое	1) Капельная ре- акция на Zn и Cu; 2) HNO_3 (1 : 1), эксп. 1 мин; 3) ртутно-родино- вая соль; 4) фиолетовое
45 Халькантит $\text{CuSO}_4 \cdot 5\text{H}_2\text{O}$; CuO 31,8, SO_3 31,1, триклин.	1) 4—6; 2) слабое, нет; 3) серый	1) Отчетливо анизотропен; 2) сильные голу- бые, зеленые, бесцветные, темно-синие	1) 2,5; 2) 450—600; 3) хорошее	1) Отпечаток на Cu; 2) вода, эксп. 5 мин; 3) рубсановая кислота; 4) серо-зеленое
46 Хризоколла $\text{CuSiO}_3 \cdot \text{nH}_2\text{O}$; CuO 45,2; SiO_2 34,3, H_2O 20,5; скрытоокрист.	1) 4 (Вл); 2) нет; 3) темно-серый	1) Изотропен; 2) сильные светло-зеленые, голубые	1) 2—4; 2) 820—1190, 950 (Л); Хорошее	1) Отпечаток на Cu; 2) HCl (1 : 1), эксп. 5 мин; 3) рубсановая кислота 1 %-ная + + NH_4OH ; 4) серо-зеленое

Минералы свинца

47 Серебро само- родное Ag; образует твер- дые растворы с Au, Hg, Sb, Bi, Cu, As, Pt; кубич.	1) 95,5 (Вл, Р), 95 (Э); 2) нет; 3) яркий, бе- лый с кремовым оттенком (на свету тускнеет)	1) Изотропен; 2) нет	1) 2,5—3; 2) 410—570, 500 (Л), 480— 630, 530 (БТ); 3) хорошее	1) Кристаллоско- пическая реакция на Ag; 2) HNO_3 конц. на шлифе; эксп. 2 мин; остаток реактива снять фильтровальной бумагой; 3) $\text{K}_2\text{Cr}_2\text{O}_7$ 20 %-ный; 4) оранжево-крас- ное
--	--	-------------------------	---	---

Продолжение табл.

Форма и внутреннее строение агрегатов и зерен; методы их выявления	Ассоциация; парагенезис	Главные линии дебаограммы по В. И. Михееву [1957] (1); показатель предломления минералов по Е. Ларсену [Ларсен Е., Берман Г., 1965] (2)	Отличительные диагностические признаки
Корки, сталактиты, прожилки аморфного, игольчатого и радиально-лучистого строения; в скрещенных николях	Малахит, азурит, куприт, смитсонит, гидроцинкит, гётит, ярозит	1) $a_0=27,84$, $b_0=6,41$, $c_0=5,25$; 2) $Np=1,655$, $Nm=1,740$, $Ng=1,744$, $Ng-Np=0,089$	Травление, реакция на Zn и Cu
Корки, сталактиты аморфного, волокнистого и радиально-лучистого строения; под бинокуляром наблюдалась форма и внутреннее строение агрегатов	Зона окисления сульфидных месторождений; мелантерит, брошантит, гипс и др.	1) 5,40 (10), 4,67 (10), 3,96 (10); 2) $Np=1,514$, $Nm=1,537$, $Ng=1,543$, $Ng-Np=0,029$	Голубые внутренние рефлексы, травление; реакция на Cu; парагенезис
Корки, землистые выделения, прожилки аморфного, скрытокристаллического и волокнистого строения; под бинокуляром	Зона окисления медных месторождений; хальцедон, опал, малахит, лампадит	1) Рентгено-аморфный; 2) $Np=1,575$, $Nm=1,597$, $Ng=1,598$, $Ng-Np=0,028$	Голубоватые внутренние рефлексы; отпечаток на Cu
Аллотриоморфозернистые агрегаты, дендриты, скелетные зерна; пластинчатые двойники и зональное строение выявляются раствором CrO_3 в HNO_3 конц. в течение 1–3 с	Реликтовый минерал; гипергенный минерал образуется при замещении аргентита, галенита, фрейбергита в ассоциации с халькоzinом	1) 2,37 (10), 1,232 (9), 2,05 (8)	Кремовый оттенок, изотропен; травление HNO_3 , FeCl_3 , темнеет на воздухе и на свету

ца и серебра

№ п/п Минерал: химический состав, %; сингония	Отражение R , % (1); двоутра же- ние ΔR (2); цвст (3)	Эффект анизотропии (1); внутренние рефлексы (2)	Твердость по шкале Мооса (1); микротвердость, МПа (2); поведение при полировании, относительный рельеф h (3)	Микрохимические реакции: тип реакции (1); растворитель (2); время экспозиции (3); окрашивание (4); реакция травления
48 Алтант PbTe; Pb 61,91; Te 38,09; кубич.	1) 65,5 (Э, Б), 73 (Вл), 63,6 (С), 60 (Р); 2) нет; 3) белый с неж- но-зеленоватым оттенком	1) Изотропен; 2) нет	1) 2—3; 2) 460—600, 500 (Л), 480— 570, 510 (БТ); 3) хорошее	1) Реакция на Р 2) HNO_3 (1 : 1), эксп. 3 мин; 3) $NH_4OH + KJ$ 5 %-ный; 4) желтое
49 Галенит PbS; Pb 86,60, S 13,40; кубич.	1) 44 (Э), 44,0 (Вл), 43,2 (Р, Б); 2) нет; 3) белый	1) Изотропен; 2) нет	1) 2—3; 2) 640—1100, 770 (Л), 710— 840, 760 (БТ); 3) хорошее	1) Кристаллоско- пическая реакци- я на Pb; 2) HNO_3 конц. в шлифе, эксп. 1 ми- н избыток кислоты снять фильтровал- ной бумагой; 3) KJ 5 %-ный положить на тра- леное место шли- фа; 4) желтое
50 Аргентит Ag_2S ; Ag 87,06, S 12,94; α -аргентит- акантит (<179° С) β -аргентит (>179° С); кубич., монокл., скрытоизоморф.	1) 36 (Вл), 29 (Б); 2) нет; 3) серо-белый со слабым го- лубовато-зеле- новатым оттен- ком; тускнеет на воздухе	1) Изотропен, слабо анизо- тропен (акан- тит); 2) нет	1) 2—2,5; 2) 200—300 (Л), 200—300, 240 (БТ); 3) плохое, и очень низкий	1) Прямой отпе- ток на серебро; 2, 3) одна часть 5 %-ного $KCN +$ + одна часть на- сыщенного растви- ра Р — диметил- аминобензилиден- родамина в ацет- не; эксп. 3—5 ми- н промыть в воде, подкисленной HNO_3 ; 4) фиолетовое, красное
51 Данхемит $PbTeO_3$, монокл. или ромбич.	1) 22; 2) сильное; 3) светло-бу- рый	1) Сильно ани- зотропен; 2) нет	1) 1; 2) 110—130; 3) хорошее	Сильно травится HCl конц., HNO_3 конц.

Продолжение табл.

Форма и внутреннее строение агрегатов и зерен; методы их выявления	Ассоциация; парагенезис	Главные линии дебаеграммы по В. И. Михееву [1957] (1); показатель преломления минералов по Е. Ларсену [Ларсен Е., Берман Г., 1965] (2)	Отличительные диагностические признаки
Аллотриоморфозернистые агрегаты, скелетные зерна. Совершенная спайность по (100); треугольники выкрашивания (редко); структурное травление HNO_3 конц. в течение 1 мин	Реликтовый минерал	1) 3,22 (10), 2,28 (8), 1,439 (5)	От галенита отличается высоким отражением, от теллура — изотропностью; характерны парагенезис и реакция на Te
Аллотриоморфозернистые агрегаты; редко друзы; весьма совершенная спайность по (100); треугольники выкрашивания (очень характерны)	Реликтовый минерал	1) 2,965 (10), 2,093 (10), 1,324 (10)	Треугольники выкрашивания, спайность по (100), (101), реакция на Pb , диагностическое травление HNO_3 , HCl , FeCl_3
Аллотриоморфозернистые агрегаты; структуры распада твердого раствора в галените	Реликтовый минерал; гипергенный минерал в зоне цементации	1) 2,58 (10), 2,44 (10), 2,37 (10)	Голубовато-зеленый оттенок, очень низкая микротвердость, реакция на Ag ; парагенезис; быстро тускнеет на воздухе
Каемки, псевдоморфозы по алтантиту; строение агрегатов тонкозернистое; в скрещенных николях	Англезит, це-руссит, ковеллии	Нет данных	Оптические свойства; замещает алтантит; недостаточно изучен

№ п/п Минерал: химический состав, %; сингония	Отражение R , % (1); двоотражение ΔR (2); цвет (3)	Эффект анизотропии (1); внутренние рефлексы (2)	Твердость по шкале Мооса (1); микротвердость МПа (2); поведение при полировании, относительный рельеф h (3)	Микрохимические реакции: тип реакции (1); растворигель, время экспозиции (2); проявитель (3); окрашивание (4); реакция травления (5)
52 Кроконт $Pb_2(CrO_4)$; PbO 69,1; CrO_3 30,9; монокл.	1) 20,5—15,7 (Вл); 2) сильное; 3) серый	1) Отчетливо анизотропен (мешают внут- ренние реф- лексы); 2) сильные оранжево-жел- тые до оранже- во-красных	1) 2,5—3; 2) 1110—1200; 3) хорошее	1) Реакция окра- шивания на Pb ; 2) минерал на шлифе травится HNO_3 конц., эксп. 1 мин; избыток HNO_3 снять фильт- ровальной бумагой; 3) на травленое место поместить каплю раствора KJ 5 %-ного; 4) желтое
53 Платтнерит PbO_2 ; Pb 86,62; тетрагон.	1) 17; 2) слабое, от- четливое по границам зерен; 3) серый со слабым розо- вым оттенком; похож на сфа- лерит	1) Отчетливо анизотропен в кристаллическом агрегате, голубой до зе- леноватого; 2) слабые крас- новато-корич- невые	1) 5—5,5; 2) 4900—6420 (АБ); 3) хорошее, h гораздо боль- ше всех мине- ралов ассо- циации	1) Реакция на Pb на шлифе; 2) HNO_3 (1 : 1), эксп. 2—3 мин; 3) KJ , 5 %-ный + + гипосульфит 20 %-ный; 4) осадок желтого цвета
54 Мёрдокит (мёрдоцит) Cu_6PbO_8 ; CuO 66,62, PbO_2 33,38; кубич.	1) 17,4 (АБ); 2) нет; 3) серый с жел- товато-корич- невым оттен- ком; похож на магнетит	1) Изотропен; 2) нет	1) 4; 2) 5190—6570 (АБ); 3) h равен, не- много больше платтнерита	Реакция на Pb (см. платтнерит), на Cu (см. куп- рит)
55 Деклуазит $Pb(Zn, Cu)[OH/VO_4]$; PbO 55,30, ZnO 10,08, CuO 9,86, V_2O_5 22,53; ромбич.	1) 17,25—14,95 (АБ); 2) сильное, се- рый до голубо- вато-серого; 3) серый, голу- бовато-серый	1) Сильно ани- зотропен; 2) редкие бес- цветные до ко- ричневатых	1) 3—3,5; 2) 3100—4910 (АБ); 3) $h >$ вульф- нита	1) Отпечаток на V синего цвета; 2) HNO_3 (1 : 1), эксп. 2 мин; 3) уксусно-кислый бензидин; 1а) капельная ре- акция на Zn ; 2а) HNO_3 (1 : 1), эксп. 1—2 мин; 3а) $HgCl_2 + KCN$; 4а) пятно фиоле- тово-синее; реакция на Pb (см. платтнерит), на Cu (см. куприт)

Продолжение табл.

Форма и внутреннее строение агрегатов и зерен; методы их выявления	Ассоциация; парагенезис	Главные линии дебаеграммы по В. И. Михееву [1957] (1); показатель предломления минералов по Е. Ларсену [Ларсен Е., Берман Г., 1965] (2)	Однотипные диагностические признаки
Облик индивидов призматический удлиненный, иногда игольчатый; зернистые агрегаты, друзы; в скрещенных николях	Пироморфит, церуссит, вад-псиломелан, вульфенит, ванадинит и др.	1) 3,258 (10), 1,965 (9), 1,846 (9); 2) $N_p = 2,31$, $N_m = 2,37$, $N_g = 2,66$, $N_g - N_p = 0,35$	Низкое отражение, сильное двоитражение; яркие оранжево-желтые рефлексы; реакция на Cr и Pb
Корочки волокнистого строения, налеты порошковатые, редко округлые зерна со спайностью и двойниками; наблюдать под бинокуляром	Каламин, церуссит, пироморфит, смитсонит, вульфенит, массикот, гётит; замещает церуссит, пироморфит	1) 3,49 (10), 2,78 (10), 1,84 (10), 1,51 (7), 1,268 (7), 1,000 (8); 2) $n = 2,30 \pm 0,05$ (Li)	От гидроокислов Mn и Fe отличается реакцией на Pb
Друзы призматических кристаллов, натечные агрегаты волокнистого строения; образует кристаллы со спайностью, зональным и двойниковым строением	Платтнерит, вульфенит, гематит, гемиморфит, виллемит, англезит, гётит	1) 5,30 (10), 2,659 (10), 2,109 (9), 1,629 (10) [Минералы, т. II, вып. 3, 1967]	Парагенезис, реакция на Cu, Pb
Друзы призматических и волокнистых кристаллов; натечные агрегаты концентрически-зонального строения	Миметезит, церуссит; замещает ванадинит	1) 1,65 (10), 3,20 (8), 3,52 (6); 2) $N_p = 2,18$, $N_m = 2,26$, $N_g = 2,35$. По данным дебаеграммы константы решетки монтрамита почти такие же, как у деклуазита	Парагенезис, реакция на V, химический анализ

№ п/п Минерал: химический состав, %; сингония	Отражение R , % (1); двутражение ΔR (2); цвет (3)	Эффект анизотропии (1); внутренние рефлексы (2)	Твердость по шкале Мооса (1); микротвердость МПа (2); поведение при полировании, относительный рельеф h (3)	Микрохимические реакции: тип реакции (1) растворитель, время экспозиции (2); проявитель (3); окрашивание (4); реакция травления (5)	
56 Монтрамит $Pb(Cu, Zn)[OH/VO_4]$					
57 Массикот (мас- сикотит) PbO ; β -массикот, Pb 92,8; ромбич.	1) ~20 (АБ); 2) нет; 3) серый	1) Маскируется внутренними рефлексами; 2) сплошные бледно-желтые	1) 2; 2) нет данных; 3) посредствен- ное	Реакция Pb (см. платтернит)	Ка- по- то- ск- аг- би-
58 Глёт (литар- гит) PbO ; α -глёт; Pb 92,8; тетрагон.	1) ~20; 2) нет; 3) серый с крас- новатым оттен- ком	1) Маскируется внутренними рефлексами; 2) сплошные ярко-красные	1) 2; 2, 3) нет дан- ных	Реакция на Pb (см. платтернит)	Зо- пе- ко- но-
59 Миниум Pb_3O_4 ; тетрагон.	1) ~20; 2) слабое, жел- товато-серое, серо-голубое; 3) голубой, ро- зово-желтова- то-серый	1) Маскируется внутренними рефлексами; 2) сплошные красные, розо- вые и желтые	1, 2) нет дан- ных; 3) рельеф мень- ше галенита, глёта, масси- кота	То же	Ка- по- ст- ко- ст- по-
60 Вульфенит $PbMoO_4$; MoO_3 38,6, PbO 61,4; тетрагон.	1) 16—17; 2) слабое; 3) серый с го- лубоватым от- тенком	1) Отчетливо анизотропен (мешают вну- тренние реф- лексы); 2) сильные бес- цветные, жел- тые, оранже- вые, зеленова- тые	1) 3,5—4; 2) 900—1830, 2110—3330 (АБ); 3) хорошее; $h <$ деклазита	1) Отпечаток на Mo; 2) HNO_3 (1 : 1), эксп. 30 с; 3) $K_4Fe(CN)_6$; 5 %-ный; 4) коричневое: ре- акция на Pb (см. церуссит)	Та- зо- ст- ко- ст- по-

Продолжение табл.

Форма и внутреннее строение агрегатов и зерен; методы их выявления	Ассоциация; парагенезис	Главные линии дебаэграммы по В. И. Михееву [1957] (1); показатель преломления минералов по Е. Ларсену [Ларсен Е., Берман Г., 1965] (2)	Отличительные диагностические признаки
Каемки и псевдоморфозы по галениту и церусситу, тонкопластинчатые и скрытокристаллические агрегаты; наблюдать под бинокуляром	Церуссит, вульфенит, миниум, глёт, вторичные минералы цинка; продукт замещения церуссита, реже галенита; переходит в глёт	2) $Np=2,51$ (Li), $Nm=2,61$, $Ng=2,71$, $Ng-Np=0,20$	Парагенезис; внутренние рефлексы
Землистые агрегаты и псевдоморфозы по массикоту; наблюдать под бинокуляром	Массикот, церуссит, вульфенит, миниум, вторичные минералы цинка	1) 3,115 (100), 2,809 (62), 1,872 (37), 1,675 (24) [Минералы, т. II, вып. 3, 1967]; 2) $No=2,665$, (Li), $Ne=2,535$, $No-Ne=0,130$	Парагенезис; внутренние рефлексы
Каемки и псевдоморфозы по галениту и церусситу; строение агрегатов тонкозернистое, скрытокристаллическое; наблюдать под бинокуляром	Массикот, глёт, церуссит, вульфенит, вторичные минералы цинка	Нет данных	Оптические свойства, парагенезис, химический анализ
Таблитчатые, шестоватые зерна; радиально-лучистые сростки, метакристаллы; под бинокуляром	Церуссит, дескалаузит, англезит, смитсонит, гидроокислы железа, марганца и др.	1) 3,17 (10), 2,00 (8), 1,77 (8); 2) $Ne=2,28$, $No=2,40$, $No-Ne=0,12$	Реакция на Pb и Mo; встречается в зоне окисления свинцовых сульфидных месторождений; парагенезис

№ п/п Минерал; химический состав, %; сингония	Отражение R , % (1), двутраже- ние ΔR (2); цвет (3)	Эффект анизотропии (1); внутренние рефлексы (2)	Твердость по шкале Мооса (1); микротвердость, МПа (2); поведение при полировании, относительный рельеф h (3)	Микрохимические реакции: тип реакции (1); растворитель, время экспозиции (2); проявитель (3); окрашивание (4); реакция травления (5)
61 Ванадинит $Pb_5[Cl(VO_4)_3]$; V_2O_5 19,4; PbO 78,7; Cl 2,5; гексагон.	1) 16—17 (Вл) (меньше сфалериита); 2) слабое; 3) серый	1) Слабо ани- зотропен (ме- шают внутрен- ние рефлексы); 2) сильные бу- ро-желтые, го- лубовато-жел- тые до красных	1) 3; 2) 600—1200; 3) хорошее	1) Отпечаток на V синего цвета; 2) HNO_3 (1 : 1), эксп. 2 мин; 3) уксусно-кислый бензидин; реакция на Pb (см. церус- сит)
62 Миметезит $Pb_5(As, P) \times$ $\times O_4Cl_3$; PbO до 74,9; As_2O_5 до 23,2; P_2O_5 до 1; Cl до 2,4; гексагон.	1) 13,2 (Вл); 2) нет; 3) серый	1) Слабо ани- зотропен, изо- тропен; 2) сильные бес- цветные, жел- тые, зеленые	1) 3,5; 2) 2000; 3) хорошее	1) Кристаллоско- пическая реакция на As, P; 2) минерал тра- вится в HNO_3 конц., эксп. 3— 5 мин; 3) на травленое место помещается порошок $(NH_4)_2MoO_4$; 4) лимонно-жел- тое; реакция на Pb (см. церус- сит)
63 Церуссит $PbCO_3$; PbO 85,5; Pb 77,5; CO_2 16,5; ромбич.	1) 12—8 (Вл), 14 (Р); 2) сильное; 3) серый	1) Отчетливо анизотропен (мешают внут- ренние рефлек- сы), изотропен в скрытокри- сталлических разностях; 2) сильные бес- цветные, желто- вато-бурые, зе- леноватые	1) 3—3,5; 2) 2000; 3) хорошее	1) Реакция окра- шивания на Pb ; 2) HNO_3 конц. на шлифе, эксп. 1 мин; снять из- быток кислоты; 3) KJ 5 %-ный на травленую поверх- ность; 4) пленка желтого цвета
64 Кераргирит $AgCl$; Ag 75,3, Cl 24,7; кубич.	1) 12 (Вл); 2) нет; 3) серый	1) Изотропен; 2) бесцветные, желтые, силь- ные	1) 1—2; 2) 100—1000; 3) плохое	1) Кристаллоско- пическая реакция на Ag ; 2) HNO_3 конц., эксп. 5 мин; 3) K_2CrO_4 20 %-ный; 4) осадок корич- нево-красного цве- та

Продолжение табл.

Форма и внутреннее строение агрегатов и зерен; методы их выявления	Ассоциация; парагенезис	Главные линии дебаограммы по В. И. Михееву [1957] (1); показатель преломления минералов по Е. Ларсену [Ларсен Е., Берман Г., 1965] (2)	Отличительные диагностические признаки
Пластинчатые или шестоватые кристаллы; радиально-лучистые сростки; под бинокуляром	Пироморфит, миметезит, церуссит, вульфенит и др.	1) 2,958 (10), 3,37 (8), 3,04 (8); 2) $N_e = 2,29$, $No = 2,354$, $No - Ne = 0,064$	Травление HNO_3 , HCl , KOH ; реакция на Pb и V ; парагенезис
Кристаллы призматические; друзы; колломорфные агрегаты, корки, почки скрытокристаллического строения; под бинокуляром	Пироморфит, церуссит, малахит, скородит и др.	2) $N_p = 2,118$, $N_m = 2,13$, $N_g = 2,135$, $N_g - N_p = 0,017$	От пироморфита и ванадинита уверенно можно отличать по данным микрохимической реакции и химического анализа
Корки, каэмки, сталактиты, плотные, землистые выделения скрытокристаллического и аморфного строения; редко кристаллы таблитчатого и призматического облика; полисинтетические двойники; под бинокуляром и в скрещенных николях	Малахит, смитсонит, пироморфит, фосгенин, англезит, кальцит, реликты галениита и др.	1) 3,574 (10), 3,480 (9), 2,487 (9); 2) $N_p = 1,804$, $N_m = 2,076$, $N_g = 2,078$, $N_g - N_p = 0,274$	Двутрение; травление со вскипанием в кислотах; реакция окрашивания на Pb
Агрегаты колломорфного строения	Серебро, аргентит, церуссит	1) 2,80 (10), 1,97 (10), 1,245 (8); 2) $N = 2,061$	Реакция на Ag ; парагенезис

№ п/п Минерал: химический состав, %; сингония	Отражение R , % (1); двоотраже- ние ΔR (2); цвет (3)	Эффект анизогропии (1); внутренние рефлексы (2)	Твердость по шкале Мооса (1); микротвердость, МПа (2); поведение при полировании, относительный рельеф h (3)	Микрохимические реакции: тип реакции (1); растворитель, время экспозиции (2); проявигель (3); окрашивание (4); реакция травления (5)
65 Пироморфит $Pb_5[PO_4]_3 \cdot Cl$; PbO 82, P_2O_5 15,14, Cl 2,60; тексагон.	1) 11,9 (Вл); 2) нет; 3) серый	1) Отчетливо анизотропен, слабо аниzo- тропен (мешают внутренние реф- лексы); 2) сильные жел- товатые, зеле- новатые, буро- ватые, редко оранжево-жел- тые	1) 3,5—4; 2) 1070—2000; 3) хорошее	1) Отпечаток на P; 2) HNO_3 конц., эксп. 2 мин; 3) порошок $(NH_4)_2MoO_4$; 4) желтое; такая же реакция полу- чается и на As, но очень медленно; реакция на Pb (см. церуссит)
66 Бинндеймит $Pb_2Sb_2O_7 \times nH_2O$; Sb_2O_5 30,2, PbO 63,0, H_2O 6,8; кубич. аморфный	1) 9,2 (Вл); 2) нет; 3) серый	1) Изотропен; 2) бесцветные, зеленые, бурые	1) 4; 2) 2000—3000; 3) хорошее	Реакция на Sb (см. антимонит), на Pb (см. церус- сит)
67 Англезит $PbSO_4$; PbO 73,6, Pb 68,3, SO_3 26,4; ромбич.	1) 8—9 (Вл); 2) нет; 3) серый	1) Изотропен, слабо аниzo- тропен; 2) сильные бесцветные, светло-бурые	1) 2,5—3; 2) 1220—1550 (Янг, Милл- ман); 3) хорошее	1) Пленочная ре- акция на Pb; 2, 3) минерал+КJ 5 %-ный, эксп. 1 мин; 4) пленка желтого цвета в косом све- те или голубая иризирующая в отраженном свете
Минералы цин				
68 Сфалерит ZnS ; Zn 67,1, S 32,9; кубич.	1) 17—18 (Вл), 19 (Э); 2) нет; 3) серый, иногда со слабым фиолетово- ым, голубова- тым, зеленова- тым оттенком	1) Изотропен; 2) сильные бесцветные, желтые, бурые, красноватые	1) 3,5—4; 2) 1530—2700 (Л), 1860— 2090, 1980 (БТ); 3) полируется хорошо	1) Капельная ре- акция на Zn; 2) 5 частей HNO_3 (1 : 1)+1 часть 1 %-ного $Cu(NO_3)_2$, эксп. 3—5 мин; 3) $HgCl_2+KCNS$; 4) фиолетовое; промыть в воде

Продолжение табл.

Форма и внутреннее строение агрегатов и зерен; методы их выявления	Ассоциация; парагенезис	Главные линии дебаэграмм по В. И. Михееву [1957] (1); показатель преломления минералов по Е. Ларсену [Ларсен Е., Берман Г., 1965] (2)	Отличительные диагностические признаки
Кристаллы призматические, образуются псевдоморфозы по церусситу и галениту; под бинокуляром	Церуссит, гётит, миметезит, малахит и др.	2) $N_p = 2,042$, $N_m = 2,050$, $N_g = 2,050$, $N_g - N_p = 0,008$	Низкое отражение; зеленоватые и желтоватые рефлексы; реакция на Pb и P
Почковидные и неправильные агрегаты скрытокристаллического и гелевого строения; редко кристаллы изометрического облика	В зоне окисления свинцово-сурьмяных месторождений	2) Для аморфных разностей $N = \pm 1,86 - 2,0$	Реакция на Sb и Pb; парагенезис
Колломорфные агрегаты гелевого и скрытокристаллического строения; каемки вокруг выделений галенита; изометричные зерна; под бинокуляром и под микроскопом	Церуссит, ковеллин, реликты галенита и др.	1) 3,00 (10), 2,06 (10), 3,21 (8); 2) $N_p = 1,877$, $N_m = 1,882$, $N_g = 1,894$, $N_g - N_p = 0,017$	Изотропен, травление, реакция на Pb; парагенезис

ка и кадмия

Зернистые агрегаты, иногда скорлуповатые и почковидные, скрытокристаллические выделения; двойниковое и зональное строение зерен выявляется при травлении в парах царской водки в течение 5—30 с	Реликтовый минерал; замещается ковеллином, халькоzinом, гринокитом, смитсонитом	1) 3,116 (10), 1,908 (9), 1,630 (8); 2) $N = 2,36 - 2,47$	Сильные внутренние рефлексы; травление в парах царской водки; реакция на Zn; полисинтетические двойники
---	---	--	---

№ п/п Минерал: химический состав, %; сингония	Отражение R , % (1); двутрассе- ние ΔR , (2); цвет (3)	Эффект анизотропии (1); внутренние рефлексы (2)	Твердость по шкале Мооса (1) ; микротвердость, МПа (2); поведение при полировании, относительный рельеф h (3)	Микрохимические реакции: тип реакции (1); растворитель, время экспозиции (2); проявитель (3); окрашивание (4); реакция травления (5)
69 Вюрцит ZnS ; Zn 67,1, S 32,9; гексагон.	1) 17 (Вл), 18,3 (Мозес), 19 (Э); 2) нет; 3) серый	1) Слабо ани- зотропен, изо- тропен (аморф- ный); 2) сильные желтые, темно- коричневые	1) 3,5—4; 2) 1590—2740 (Янг, Милл- ман); 3) полируется хорошо	То же
70 Гринокит CdS ; Cd 77,7, S 22,3;	1) 18,5 (Р, Б), 19 (Вл); 2) нет; 3) серый с го- лубоватым от- тенком, в им- мерсии с зеле- новатым	1) Изотропен; 2) сильные ли- монно-красно- коричневые	1) 3,5; 2) 520—910 (Л); 3) хорошее	Спектральный ана- лиз на Cd
71 Вольтцин Zn_6AsS_6 ; Zn 59,48, As 11,36, S 29,16; гексагон.	1) 12—8; 2) сильное; 3) серый	1) Отчетливо анизотропен; 2) сильные бес- цветные, зеле- новато-красные, буроватые	1) 4—4,5; 2) 2000—3500; 3) хорошее	Реакция на Zn (см. сфалерит)
72 Смитсонит $ZnCO_3$; ZnO 64,8, Zn 52, CO_2 35,2; тригон.	1) 9—5 (Вл); 2) отчетливое на границах зерен; 3) серый, тем- но-серый	1) Слабо ани- зотропен (ме- шают внутрен- ние рефлексы); 2) сильные, бес- цветные, буров- ватые, зелено- ватые	1) 4,5—5,5; 2) 4090—4220 (Л); 3) хорошее	1) Капельная ре- акция на Zn; 2) HNO_3 (1 : 1), эксп. 2 мин; 3) $HgCl_2+KCNS+$ + $Cu(NO_3)_2$; 4) фиолетовое
73 Монгеймит (смитсонит, содержащий 50 % $FeCO_3$)				
74 Гидроцинкит $Zn_5[(OH)_3X$ $\times CO_3]_2$; Zn 74,12, CO_2 16,03, H_2O 9,85; монокл., скрытокрист.	1) 5; 2) слабое; 3) темно-серый	1) Слабо ани- зотропен, изо- тропен; 2) сильные бес- цветные, буров- ватые	1) 2—2,5; 2) 600—1200; 3) хорошее	1) Капельная ре- акция на Zn; 2) HNO_3 (1 : 1) + + $Cu(NO_3)_2$, эксп. 1 мин; 3) $HgCl_2+KCNS$; 4) фиолетово-си- нее

Продолжение табл.

Форма и внутреннее строение агрегатов и зерен; методы их выявления	Ассоциация; парагенезис	Главные линии дебаеграммы по В. И. Михееву [1957] (1); показатель преломления минералов по Е. Ларсену [Ларсен Е., Берман Г., 1965] (2)	Отличительные диагностические признаки
Колломорфные, концентрически зональные выделения с волокнистым и радиально-лучистым строением	Реликтовый минерал	1) 3,107 (10), 1,902 (10), 1,625 (9);	Сильные внутренние рефлексы; колломорфные и радиально-лучистые агрегаты
Корки, почки, землистые выделения с коллоидным строением; структура выявляется в парах царской водки; форма индивидов — короткие призмы	В зоне цементации замещает сфалерит	1) 3,167 (10), 0,9528 (10), 1,157 (9)	Сильные внутренние рефлексы; реакция на Cd; парагенезис, микротвердость
Сферолиты, корки, тонковолокнистого и радиально-лучистого строения	Встречается в окисленных рудах полиметаллических месторождений	1) Дебаеграмма минерала отвечает дебаеграмме сфалерита; 2) $No = 2,03$	От сходных минералов отличается показателем преломления (высокий показатель преломления) и микрохимическими реакциями; слабо изучен
Корки, почки, сталактины, землистые массы аморфного, скрытоクリсталлического и зернистого строения; аллотриоморфный, радиально-лучистый; псевдоморфизы по кальциту; совершенная спайность по (1011), зональное строение; структурное травление в HNO_3 1 мин	Церуссит, малахит, азурит, англезит, пироморфит, миметизит, аурихальцит, кальцит и др.	1) 2,748 (10), 1,707 (10), 1,076 (9); 2) $Ne = 1,615$, $No = 1,849$, $No - Ne = 0,234$	Сильные внутренние рефлексы; травление в кислотах; реакция на Zn; парагенезис
Корки, землистые массы, редко сталактиты скрытоクリсталлического и волокнистого строения; совершенная спайность по (100) в кристаллах; структурное травление HNO_3 (1 : 40) в течение 15—30 с; под бинокуляром	Смитсонит, кальцит, церуссит, аурихальцит и др.	1) $a_0 = 13,48$, $b_0 = 6,32$, $c_0 = 5,37$; 2) $Np = 1,640$, $Nm = 1,736$, $Ng = 1,750$, $Ng - Np = 0,110$	Сильные внутренние рефлексы; реакция на Zn; парагенезис

№ п/п Минерал: химический состав, %; сингония	Отражение R , % (1); двоупрежде- ние ΔR (2); цвет (3)	Эффект анизотропии (1); внутренние рефлексы (2)	Твердость по шкале Мооса (1); микротвердость МПа (2); поведение при полировании, относительный рельеф h (3)	Микрохимические реакции: тип реакции (1); растворитель, время экспозиции (2); проявитель (3); окрашивание (4); реакция травления (5)
75 Каламин $2\text{ZnO} \cdot \text{SiO}_2 \cdot \text{H}_2\text{O}$; ZnO 67,5, SiO_2 25,01, H_2O 7,5; ромбич.	1) 5; 2) нет; 3) темно-серый	1) Слабо ани- зотропен; 2) сильные бес- цветные	1) 4,5—5; 2) 3500—5500; 3) хорошее	1) Капельная ре- акция на Zn; 2) минерал+ра- створитель HCl (1 : 1) или HNO_3 (1 : 1), эксп. 2 мин; испытуемый ра- створ переносят на фильтровальную бумагу; 3) $\text{Cu}(\text{NO}_3)_2 +$ + $(\text{HgCl}_2 + \text{KCN})$; 4) фиолетовое

Минералы сурьмы

76 Антимонит (стибнит) Sb_2S_3 ; Sb 71,38, S 28,62; ромбич.	1) 44—30 (Э), 45—30 (Вл); 2) очень силь- ное; 3) белый, свет- ло-серый	1) Сильно ани- зотропен (из- меняет окраску от буроватых до серо-синих тонов); 2) нет	1) 2—2,5; 2) 650—1530, 720 (Л), 420—1090, 770 (БТ); 3) хорошее	1) Кристаллоско- пическая реакция на Sb; 2) HNO_3 конц. на шлифе, эксп. 2— 3 мин; избыток кислоты снять фильтровальной бумагой; капля HCl (1 : 1) на травленое место шлифа; 3) $\text{KJ} + \text{CsCl}$ (по- рошки); 4) осадок красного цвета; травится KOH
77 Метастибнит Sb_2S_3	1) Темнее анти- монита; 2) нет; 3) белый	1) Отчетливо анизотропен; 2) сильные красные	1) Нет данных; 2) 850 ?	См. антимонит
78 Ртуть само- родная; Hg 100; тригон.	1, 2) Нет дан- ных 3) серебристо- белый	1) Нет данных; 2) нет	1), 2), 3) Нет данных	Растворяется в HNO_3

Продолжение табл.

Форма и внутреннее строение агрегатов и зерен; методы их выявления	Ассоциация; парагенезис	Главные линии дебаограммы по В. И. Михееву [1957] (1); показатель преломления минералов по Е. Ларсену [Ларсен Е., Берман Г., 1965] (2)	Отличительные диагностические признаки
Колломорфные агрегаты, индивиды столбчатые, игольчатые	Зона окисления полиметаллических месторождений	2) $Np=1,614$, $Nm=1,617$, $Ng=1,636$, $Ng-Np=0,022$	От других прозрачных минералов окисленных руд отличается реакцией на Zn; от смитсонита отличается травлением, двоутражение отсутствует

мы и ртути

Агрегаты призматических, игольчатых кристаллов и аллотриоморфно-зернистые, в зернах полисинтетические двойники и фигуры смятия; в скрещенных николях	Гипогенный минерал; замещается сенармонитом, валентинитом, кермезитом, серой	1) 1,983 (10), 1,687 (10), 3,566 (9)	Сильное двоутражение и сильная анизотропия; травление с KOH (желтый осадок); реакция на Sb
Колломорфные агрегаты: почки, сферолиты; под бинокуляром и микроскопом	Кермезит; замещает антимонит	Нет данных	От антимонита отличается внутренними рефлексами и колломорфным строением
Капельки серебристо-белого цвета в пустотах	Образуется при разложении киновари	Нет данных	Характерный минерал зоны окисления ртутных месторождений

№ п/п Минерал; химический состав, %; сингония	Отражение R , % (1); двутрех- ние ΔR (2); цвет (3)	Эффект анизотропии (1); внутренние рефлексы (2)	Твердость по шкале Мооса (1); микротвердость МПа (2); поведение при полировании, относительный рельеф h (3)	Микрохимические реакции: тип реакции (1); растворитель, время экспозиции (2); проявитель (3); окрашивание (4); реакция травления (5)
79 Киноварь HgS ; Hg 86,21, S 13,79; примеси Se , Te ; тригон.	1) 30 (Э), 28 (Вл); 2) слабое; 3) серо-белый с голубоватым оттенком	1) Отчетливо анизотропен; 2) сильные красные (В), порошок красный	1) 2—2,5; 2) 510—980, 780 (Л); 3) хорошее, h немногого больше антимонита, метацинабарита, меньше шватцита, купри- та	1) Реакция на Hg ; 2) раскаленный перл соды или буры приво- дится в контакт с полированной поверхностью ми- нерала; эксп. 1— 2 мин; образуется на минерале плен- ка металлической ртути (смотреть в косом свете)
80 Каломель $HgCl_2$; Hg 84,98, Cl 15,02; тетрагон.	1, 2) Нет дан- ных	1) Нет данных; 2) сильные белые	1) 1,5; 2, 3) нет дан- ных	То же
81 Кермезит Sb_2S_2O ; Sb 74,96, S 20,04, O 5,0; трикл.	1) 27 (Вл); 2) отчетливое; 3) серо-белый с голубоватым оттенком	1) Сильно ани- зотропен (цве- товой эффект от фиолетового до сине-зеле- ного); 2) сильные вишнево-крас- ные с фиолето- вым оттенком	1) 1—1,5; 2) 360—900 (Янг, Милл- ман); 3) хорошее	Спектральный ана- лиз на Sb
82 Валентинит Sb_2O_3 ; Sb 83,3, O 16,7; ромбич.	1) 16—24 (Вл, В); 2) слабое; 3) серый	1) Отчетливо анизотропен; 2) сильные бес- цветные, жел- тые, розовые	1) 2,5—3; 2) 600—1200; 3) хорошее	Спектральный ана- лиз на Sb
83 Сервантит $Sb_2O_3 \cdot Sb_2O_5$; Sb 78,93, O 21,07; ромбич., аморфный	1) 12; 2) нет; 3) серый	1) Слабо ани- зотропен, ино- гда изотропен; 2) сильные бес- цветные, жел- тые	1) 4,5; 2) 2000—4000 3) хорошее	Спектральный ана- лиз на Sb ; 5) стандартными реактивами не тра- вится

Продолжение табл.

Форма и внутреннее строение агрегатов и зерен; методы их выявления	Ассоциация; парагенезис	Главные линии дебаеграммы по В. И. Михееву [1957] (1); показатель преломления минералов по Е. Ларсену [Ларсен Е., Берман Г., 1965] (2)	Отличительные диагностические признаки
Кристаллы, аллотриоморфнозернистые агрегаты; строение зерен однородное, редко двойники; в зернах нередки включения антимонита	Антимонит, кварц, кальцит, замещается метацинабаритом и ливингстонитом	1) 3,37 (10), 3,16 (8), 2,869 (10), 2,074 (8), 1,980 (8), 1,756 (8)	Сильные красные рефлексы; не травится реактивами; реакция на Hg; парагенезис
Друзы, корочки, каёмки, землистые массы; кристаллы таблитчатой, изометричной формы	Самородная ртуть; замещает киноварь	1) 4,16 (10), 3,17 (10), 2,06 (10), 1,97 (10), 1,73 (8), 1,478 (10); 2) $Nm=1,973$, $Ne=2,656$	Гипергенный минерал в ртутных и ртутьно-серебряных месторождениях
Налеты, корочки аморфного строения по трещинкам в антимоните; радиально-лучистые сростки; псевдоморфозы по антимониту; совершенная спайность по (100); в скрещенных николях	Валентинит, стибиоконит, сенармонтит, самородная сурьма и др.	1) 3,14 (10), 2,92 (9), 2,70 (8); 2) $Nm=2,74$, $Ng=2,72$	Сильные вишнево-красные внутренние рефлексы; сильная анизотропия; продукт окисления антимонита
Агрегаты аморфного, призматического, радиально-лучистого и волокнистого строения; совершенная спайность по (010); в скрещенных николях	Стибиоконит, сервантит и др.	1) 3,08 (10), 10,85 (8), 1,792 (8); 2) $Ng=2,18$, $Nm=2,35$, $Ng=2,35$, $Ng-Np=0,17$	Анализ на Sb; медленно травится HCl конц.; дебаеграмма; парагенезис
Псевдоморфозы по антимониту; агрегаты тонкоигольчатых кристаллов и порошковатые аморфные массы	Стибиоконит, валентинит, кермезит, реликты антимонита и др.	2) Nm от 1,88± до 2,06±	Парагенезис; химический анализ

№ п/п Минерал: химический состав, %; сингония	Отражение R , % (1); двоуграже- ние ΔR (2); цвет (3)	Эффект анизотропии (1); внутренние рефлексы (2)	Твердость по шкале Мооса (1); микротвердость МПа (2); поведение при полировании, относительный рельеф h (3)	Микрохимические реакции: тип реакции (1); растворитель в время экспозиции (2); проявитель (3); окрашивание (4); реакция травления (5)
84 Сенармонтит Sb_2O_3 ; Sb 83,3, O 16,7; кубич.	1) 10; 2) нет; 3) серый	1) Изотропен; 2) сильные бесцветные	1) 2—2,5; 2) 600—1000; 3) хорошее	Спектральный анализ на Sb; реакция на Sb (см. антимонит); 5) травится HCl конц.
85 Стибиоконит (сурьмяная охра) $Sb_2O_4 \cdot H_2O$ (?); Sb 74,5, O 19,9, H_2O 5,6; аморфный	1) 7; 2) нет; 3) темно-серый	1) Изотропен; 2) сильные бес- цветные, жел- тые, красова- тые	1) 4—5; 2) 2000—4000; 3) хорошее	Спектральный анализ на Sb; 5) стандартными реактивами не тра- вится

Минералы мышья

86 Золото само- родное Au; кубич.	1) 84 (Вл), 80,6 (Б), 83 (Э); 2) нет; 3) ярко-желтый	1) Изотропен; 2) нет	1) 2,5—3; 2) 500—590, 540 (Л), 500—520, 510 (БТ); 3) хорошее	1) Кристаллоско- пическая реакция на Au на предмет- ном стекле; 2) царская водка, эксп. 3 мин; 3) $SnCl_2$; 4) осадок метал- лического золота
87 Мышьяк само- родный As; тригон.	1) 58 (Вл), 50,5 (Б), 62 (Э, Р); 2) слабое; 3) белый (се- ро-бурый в ста- рых шлифах)	1) Отчетливо анизотропен; 2) нет	1) 3,5; 2) 930—1370, 1230 (Л), 570—690, 630 (БТ); 3) отличное	Реакция на As (см. арсенопирит)
88 Арсенопирит $FeAsS$; Fe 34,3, As 46, S 19,7; монокл.	1) 54 (Вл), 50 (Э); 2) слабое; 3) белый (со слабым желто- розовым от- тенком)	1) Отчетливо анизотропен (цветовой эф- фект в розова- тых, голубова- тых и зеленова- тых тонах); 2) нет	1) 5,5—6; 2) 8980—11270, 10350 (Л), 10480—11270, 10940 (БТ), 7240—12060 (Янг, Милл- ман); 3) хорошее до посредственного	1) Реакция на As; 2) HNO_3 конц. на шлифе, эксп. 5 мин; 3) $(NH_4)_2MoO_4$ порошок; 4) лимонное; реакция на Fe (см. марказит)

Продолжение табл.

Форма и внутреннее строение агрегатов и зерен; методы их выявления	Ассоциация; парагенезис	Главные линии дебаеграммы по В. И. Михееву [1957] (1); показатель преломления минералов по Е. Ларсену [Ларсен Е., Берман Г., 1965] (2)	Отличительные диагностические признаки
Корки аморфного строения, псевдоморфозы по антимониту	Валентинит, кермезит, сурьмяные охры и др.	1) 1,673 (10), N от 1,60± 1,962 (9); 2) N=2,087	Парагенезис, псевдоморфозы по антимониту; дебаеграмма, химический анализ
Корковые, порошковатые массы аморфного и скрытокристаллического строения; псевдоморфозы по сервантиту и антимониту; иногда волокнистые агрегаты	В зоне окисления сурьмяных месторождений	2) $Nm = 1,73 \pm$ N от 1,60± до 1,99±	Отличается от сервантита по данным химического анализа

ка и золота

Мелкие, аллотриоморфно-нозернистые агрегаты; пластинки, прожилки, примазки, дендриты, вкрашивание; структурное травление — раствор CrO_3 в царской водке, KCN	Гипогенный реликтовый минерал; гипергенное золото, гидроокислы железа, опал и др.; заполняет трещинки в гётите, ковеллине, халькозине, дигените	1) 2,35 (10), 2,03 (9), 1,226 (9)	Ярко-желтый цвет; высокое отражение; почернение от KCN, изотропен; не травится в парах царской водки
Агрегаты аллотриоморфно-нозернистые и концентрические, скролуповатые; пластинчатые двойники в зернах и зональное строение; в скрещенных николях	Редкий реликтовый и гипергенный минерал	1) 2,74 (10), 1,867 (10), 1,53 (10)	В полированных шлифах быстро чернеет на воздухе; травится H_2O_2 ; реакция на As
Кристаллы ромбической и призматической формы, звездчатые сростки, игольчатые, шестоватые и зернистые агрегаты; зональное строение зерен выявляется травлением. Структурное травление HNO_3 (1 : 1) в течение 1 мин; в скрещенных николях	Реликтовый минерал	1) 2,662 (10), 1,817 (10), 2,443 (9)	От сходного лёллингита отличается более высокой микротвердостью, рельефом, травлением; замещается скородитом

№ п/п Минерал: химический состав, %; сингония	Отражение R , % (1); двоутраже- ние ΔR (2); цвет (3)	Эффект анизотропии (1); внутренние рефлексы (2)	Твердость по шкале Мооса (1); микротвердость МПа (2); поведение при полировании, относительный рельеф h (3)	Микрохимические реакции: тип реакции (1); растворитель; время экспозиции (2); проявитель (3); окрашивание (4); реакция травления (5)
89 Аурипигмент As_2S_3 ; As 60,91, S 39,09; МОНОКЛ.	1) 26—20 (Вл), 32—26 (Р); 2) сильное; 3) серо-белый	1) Сильно ани- зотропен (ме- шают внутрен- ние рефлексы); 2) сильные ли- монно-желтые	1) 1,5—2; 2) 230—520, 380 (БТ), 260— 330, 290 (Л); 3) хорошее (много цара- пин)	Реакция на As (см. реальгар)
90 Реальгар AsS ; As 70,08, S 29,92; МОНОКЛ.	1) 21—19 (Вл); 2) слабое; 3) серо-белый	1) Отчетливо анизотропен (мешают вну- тренние реф- лексы); 2) сильные красновато- оранжевые до оранжево-жел- тых	1) 1,5—2; 2) 500—570, 540 (Л), 530—600, 560 (БТ); 3) плохое, ред- ко хорошее	1) Отпечаток на As; 2) 10 частей $NH_4(OH)$ +1 часть H_2O_2 (30 %), эксп. 30—60 с; 3) $AgNO_3$; 4) шоколадно-ко- ричневое
91 Богдановит $Au_3(Cu, Fe)_3$ (Te, Pb) ₂ ; Au 62,7, Ag 1,87, Cu 9,04, Fe 4,72, Pb 11,7, Te 9,82	1) 13,8—5,4; 2) сильное, цве- товые эффекты от пурпурно- малинового или серовато-лило- вого до золоти- сто-желтого или серовато- желтого; 3) пурпурно- малиновый или серовато-лило- вой до золо- тисто-желтого или серовато- желтого	1) Сильно ани- зотропен с яр- ким цветовым эффектом; 2) нет	2) 2350—3540; 3) хорошее	Химический анализ на рентгеноспект- ральном микро- анализаторе
92 Скородит $[AsO_4] \times$ $\times 2H_2O$; Fe_2O_3 34,6, As_2O_5 49,8, H_2O 15,6; ромбич. аморфный	1) 8 (Вл); 2) слабое, нет; 3) темно-серый	1) Слабо ани- зотропен (ме- шают внутрен- ние рефлексы), изотропен, аморфный; 2) сильные зе- леноватые, бу- роватые, бес- цветные	1) 3,5—4; 2) 2470—3220; 3) полируется хорошо	1) Реакция окра- шивания на Fe; 2) минерал + HCl конц., эксп. 2 мин; 3) $K_4Fe(CN)_6$; 4) синее; реакция на As (см. арсе- нопирит); травле- ние KOH — корич- невое пятно

Продолжение табл.

	Форма и внутреннее строение агрегатов и зерен; методы их выявления	Ассоциация; парагенезис	Главные линии дифрактограммы по В. И. Михееву [1957] (1); показатель преломления минералов по Е. Ларсену [Ларсен Е., Берман Г., 1965] (2)	Отличительные диагностические признаки
As P)	Призматические зерна в агрегатах и радиально-лучистые выделения; землистые массы аморфного и скрытокристаллического строения; под бинокуляром	Реликтовый гипогенный, редкий гипергенный минерал; замещает реальгар	1) 4,77 (10), 2,83 (8), 2,71 (8); 2) $N_p=2,4$, $N_m=2,81$, $N_g=3,02$, $N_g-N_p=0,62$	Сильные лимонно-желтые внутренние рефлексы; реакция на As
к на часть с; ко-	Пластинчатые и призматические кристаллы, аморфные массы; под бинокуляром	Редкий гипогенный и гипергенный минерал; замещается аурипигментом	1) 3,166 (10), 2,931 (7), 2,717 (7); 2) $N_p=2,46$, $N_m=2,59$, $N_g=2,61$, $N_g-N_p=0,15$	Красновато-оранжевые внутренние рефлексы, плохая полировка; реакция на As
анализ пек- кро-	Агрегаты различно ориентированных зерен и радиально-лучистого строения; под бинокуляром и микроскопом	Билибинскит, гипергенное золото, теллуриты Fe, Cu и Pb, гидроокислы Fe; характерный минерал зоны цементации золото-теллуридных месторождений	2,35 (10), 2,045 (16), 1,447 (6), 1,230 (8) [Спиридонов Э. М., Чивилева Т. П., 1979]	Похож на риккардит и билибинскит
окра- Fe; + HCl 2 мин; 6; акция прес- авле- корич-	Корки, землистые массы и плотные выделения аморфного и тонкозернистого строения; каёмки, нитеобразные прожилки, мелкие призматические кристаллы	Гётит, бедантит и др.; в псевдоморфозах иногда реликты золота	1) 5,56 (10), 4,44 (10), 3,16 (10); $N_p=1,738$ — 1,789, $N_m=1,742$ — 1,840, $N_g=1,765$ — 1,814, $N_g-N_p=0,027$	Сильные внутренние рефлексы; реакция на Fe; травление KOH; парагенезис; замещает арсенопирит

№ п/п Минерал: химический состав, %; сингония	Отражение R , % (1); двутрассе- ние ΔR (2); цвет (3)	Эффект анизотропии (1); внутренние рефлексы (2)	Твердость по шкале Мооса (1); микротвердость МПа (2); поведение при полировании, относительный рельеф h (3)	Микрохимические реакции: тип реакции (1); растворитель, время экспозиции (2); проявитель (3); окрашивание (4); реакция травления (5)
---	---	--	--	---

Минералы

93 Висмут само- родный Bi; тригон.	1) 68 (Вл, Р, Э); 2) слабое; 3) белый с ро- зовато-кремо- вым оттенком; светло-розово- то-кремовый; на воздухе темнеет	1) Отчетливо анизотропен; 2) нет	1) 2—2,5; 2) 160—260 (Л), 160—190, 180 (БТ); 3) хорошее; $h <$ висмутина	1) Отпечаток на Bi; 2) HNO_3 конц.; эксп. 2 мин; 3) тиомочевина; 4) желтое
94 Висмутин Bi_2S_3 ; Bi 81,3, S 18,7; ромбич.	1) 48—42 (Вл), 48 (Э), 41 (Фоллинси); 2) слабое; 3) белый с кре- моватым оттен- ком	1) Сильно ани- зотропен; пога- сание прямое; 2) нет	1) 2—2,5; 2) 730—1880, 1530 (Л), 920—1190, 1070 (БТ); 3) хорошее	1) Отпечаток на Bi; 2) HCl (1 : 1), эксп. 2 мин; 3а) хинин + КJ 5 %-ный; 3б) тиомочевина; 4а) оранжевое; 4б) желтое
95 Бисмит $\text{Bi}_2\text{O}_3 \cdot 3\text{H}_2\text{O}?$; Bi 89,68, O 10,32; монокл., аморфный	1) 16,8; 2) нет; 3) серый	1) Изотропен; 2) сильные бес- цветные, желтые, зеленова- тые	1) 1—4,5; 2) 200—2000; 3) хорошее	1) Реакция окра- шивания; 2, 3) минерал + + раствор KJ 5 %-ный + H_2SO_4 (1 : 10); 4) пленка черно- бурого цвета
96 Бисмутит (висмутовая окра) $\text{Bi}_2[\text{O}_2]\text{CO}_3 \times$ $\times n\text{H}_2\text{O}$; Bi_2O_3 91,37, CO_2 8,63; тригон. аморфный	1) 15,2; 2) нет; 3) серый	1) Отчетливо анизотропен, изотропен; 2) сильные бес- цветные, свет- ло-желтые, бледно-зеленые, коричневатые	1) 3—4,5; 2) 1200—3500; 3) хорошее	4) Реакция окра- шивания (см. бисмит)

Деп...
на;
ист...
синт...
вид...
коля

Удли...
игол...
а та...
гаты...
коля

Псе...
муту...
держ...
поро...
кор...
обли...
чаты

Поро...
колле...
с гел...
лучи...
стро...
дов е...
морф...
в скр...

Продолжение табл.

Форма и внутреннее строение агрегатов и зерен; методы их выявления	Ассоциация; парагенезис	Главные линии дифрактограммы по В. И. Михееву [1957] (1); показатель преломления минералов по Е. Ларсену [Ларсен Е., Берман Г., 1965] (2)	Огличительные диагностические признаки
висмута			
Дендриты, скелетные зерна; аллотриоморфные агрегаты; поликристаллические двойники видны в скрещенных николях	Реликтовый гипогенический и гипергенный минерал; продукт разложения минералов висмута в зоне окисления	1) 3,31 (10), 1,435 (9), 2,245 (9)	Низкая твердость, отчетливо анизотропный, двойниковое строение, реакция на Bi; парагенезис
Удлиненные шестоватые, игольчатые кристаллы, а также зернистые агрегаты; в скрещенных николях	Реликтовый минерал	1) 3,50 (10), 3,08 (9), 2,79 (8)	Кремовый оттенок цвета, трещинки спайности по (010); реакция на Bi; отрицательное травление KOH отличает от антимонита
Псевдоморфозы по висмуту и другим висмутосодержащим минералам; порошковатые налеты и корочки по трещинам; облик индивидов чешуйчатый; под бинокуляром	В зоне окисления образуется при окислении висмутина, самородного висмута и других висмутосодержащих минералов; висмут, бисмутит и др.	2) $Ne=1,82$, $No=2,01$, $No-Ne=0,19$	От бисмутита отличается травлением; парагенезис
Порошковатые массы, колломорфные агрегаты с гелевым и радиально-лучистым, волокнистым строением; облик индивидов волокнистый; псевдоморфозы по висмутину; в скрещенных николях	Бисмутит, бисмит малахит, церуссит и др.	2) Для аморфного ($N=2,20 \pm 2,26$), $Np=2,30$, $Nm=2,36$, $Ng=2,39$, $Ng-Np=0,09$	От бисмита отличается травлением, формой выделения и показателем преломления

№ п/п Минерал: химический состав, %; сингония	Отражение R , % (1); двоотраже- ние ΔR (2); цвёт (3)	Эффект анизотропии (1); внутренние рефлексы (2)	Твердость по шкале Мооса (1); микротвердость МПа (2); поведение при полировании, относительный рельеф h (3)	Микрохимические реакции: тип реакции (1); растворитель, время экспозиции (2); проявитель (3); окрашивание (4); реакция травления (5)
Минералы				
97 Никелин NiAs; Ni 43,9; As 56,1; гексагон.	1) 69—53 (Вл), 48 (Э); 2) сильное; 3) кремово-ро- зовый (желто- вато-розовый)	1) Сильно ани- зотропен с цвет- ным эффектом (от розовато- желтого до зе- левноватого), прямое погаса- ние; 2) нет	1) 5—5,5; 2) 4120—4890, 4500 (Л), 3280—4550 (БТ); 3) отличное	1) Отпечаток на Ni; 2) HNO_3 конц., эксп. 1 мин; 3) диметилглио- ксим + $NH_4(OH)$; рубеановая кисло- та + $NH_4(OH)$; 4) с диметилглио- ксимом — малино- вое, с рубеановой кислотой — фиоле- товое; реакция на As (см. хлоантит)
98 Хлоантит $(Ni, Co)As_{3-x}$; Co — примесь; Ni 28,13, As 71,87; кубич.	1) 60 (Э), 56 (Р); 2) нет; 3) белый	1) Изотропен; 2) нет	1) 5—5,5; 2) 2680—4020 (Л); 3) отличное	1) Реакция на As на шлифе; 2) HNO_3 конц., эксп. 2 мин; 3) $(NH_4)_2MoO_4$; 4) лимонно-жел- тое; реакция на Ni (см. никелин); реакция на Co (см. смальтин)
99 Пентландит $(Fe, Ni)_9S_8$; Fe 32,55, Ni 34,22, S 33,23; кубич.	1) 53 (Вл), 51 (Э, Р); 2) нет; 3) светло-жел- тый	1) Изотропен; 2) нет	1) 3,5—4; 2) 1950—2230, 2090 (Л), 2020—2300, 2150 (БТ); 3) отличное	1) Капельная ре- акция на Ni на фильтровальной бумаге; 2) HNO_3 конц., эксп. 3 мин; 3) $(NH_4)OH$ + + рубеановая кислота; 4) фиолетовое
100 Миллерит NiS; Ni 64,7, S 35,3; тригон.	1) 54 (Вл), 53 (Э), 60—54 (Б); 2) слабое; 3) светло-жел- тый	1) Отчетливо анизотропен, цветной эффект лимонно-жел- тый до сирене- вого и фиоле- тowego; 2) нет	1) 3—3,5; 2) 2250—2560, 2360 (БТ), 1920—3760 (АБ); 3) хорошее, вы- крашивается $h >$ халькопи- рита, < сфале- рита, линнита, пентландита	1) Капельная ре- акция на Ni; 2) HNO_3 конц., эксп. 3 мин; 3) $NH_4(OH)$ + + диметилглио- ксим; 4) малиновое

Продолжение табл.

Форма и внутреннее строение агрегатов и зерен; методы их выявления	Ассоциация; парагенезис	Главные линии дифракограммы по В. И. Михееву [1957] (1); показатель преломления минералов по Е. Ларсену [Ларсен Е., Берман Г., 1965] (2)	Однотипные диагностические признаки
никеля			
Аллотриоморфозернистые, реже почковидные радиально-лучистые агрегаты, часто зерна с зональным строением; в скрещенных николях	Реликтовый гипогенный минерал	1) 2,627 (10), 1,937 (9), 1,788 (8)	Розовый цвет, сильное двоутражение, сильная анизотропия; травление HNO_3 , конц. FeCl_3 , HgCl_2 ; реакция на Ni и As
Изометричные зерна, часто зонального строения, значительно реже — агрегаты аллотриоморфных зерен; структурное травление H_2O_2 10 %	Реликтовый гипогенный минерал	1) 6,4 (10), 3,17 (10), 2,53 (10)	Характерно зональное строение зерен; реакция на Ni; в отраженном свете не отличим от смальтина
Аллотриоморфозернистые агрегаты; часто встречается как продукт распада смеси: пирротин + пентландит, с образованием пластинок и пламевидных выделений; спайность по (111) совершенная, треугольники выкрашивания	Реликтовый гипогенный минерал	1) 1,77 (10), 3,03 (9), 1,95 (9)	От пирротина отличается более высоким отражением, изотропностью, спайностью и треугольниками выкрашивания; реакция на Ni
Агрегаты радиально-лучистых и игольчатых кристаллов; часто наблюдается в виде пластинок в линните как результат распада; спайность по (1011) и (0112) совершенная; в скрещенных николях	Реликтовый гипогенный минерал; гипергенный миллерит замещает сульфиды Ni, Cu, Fe, халькозин, ковеллин	1) 1,876 (10), 1,117 (10), 2,792 (9)	Светло-желтый, отчетливо анизотропный минерал; похож на халькопирит; реакция на Ni

№ п/п Минерал: химический состав, %: синтезия	Отражение R , % (1); двуграже- ние ΔR (2); цвет (3)	Эффект анизотропии (1); внутренние рефлексы (2)	Твердость по шкале Мооса (1); микротвердость МПа (2); поведение при полировании, относительный рельеф h (3)	Микрохимические реакции: тип реакции (1); растворитель, время экспозиции (2); проявитель (3); окрашивание (4); реакция травления (5)
101 Бравоит или никельпирит (Ni, Fe, Co); Ni до 30, Co до 10, Fe 38, S 54; кубич.	1) 50 (Вл), 41 (Э); 2) нет; 3) светло-жел- тый с фиолето- вым, розово- тым и коричне- ватым оттенком	1) Изотропен; 2) нет	1) 3,5—6; 2) 6680—8610 (Л), 10030— 12880 (БТ); 3) хорошее, h выше сфале- рита, пирита, пентландита	1) Капельная ре- акция на Fe; 2) растворитель HNO ₃ конц., эксп. 2 мин; 3) проявитель KCNS; 4) пятно красного цвета; реакция на Ni (см. никелин), на Co (см. кобаль- тин)
102 Виоларит FeNi ₂ S ₄ ; Fe 18,52, Ni 38,94, S 42,54; кубич.	1) 38 (Вл, Р); 2) нет; 3) серовато- белый с фио- летовым оттен- ком	1) Изотропен, иногда слабо- анизотропен; 2) нет	1) 4—5; 2) 4580 (Л); 3) хорошее	См. миллерит
103 Аннабергит $Ni_3[AsO_4]_2 \times 8H_2O$; NiO 37,5, As ₂ O ₃ 38,5, H ₂ O 24,0; монокл.	1) 6,5—7,5; 2) слабое, нет; 3) серый	1) Отчетливо анизотропен; 2) сильные зе- леные, бесцвет- ные	1) 2,5—3; 2) 600—1200; 3) хорошее	1) Отпечаток на Ni; 2) NH ₄ OH, эксп. 1—2 мин; 3) диметилгли- ксим; 4) малиновое; 1а) реакция на As; 2а) HNO ₃ конц. эксп. 2 мин; 3а) (NH ₄) ₂ MoO ₄ ; 4а) осадок лимон- но-желтого цвета
104 Моренозит $NiSO_4 \cdot 7H_2O$; NiO 26,6, SO ₃ 28,5, H ₂ O 44,9; ромбич.	1) 4; 2) слабое, нет; 3) темно-серый	1) Слабо ани- зотропен, изо- тропен; 2) сильные бес- цветные, зеле- новатые	1) 2—2,5; 2) 300—600; 3) хорошее	1). Отпечаток на Ni, малинового цвета; 2) H ₂ O, эксп. 5 мин; 3) диметилгли- ксим

Продолжение табл.

	Форма и внутреннее строение агрегатов и зерен; методы их выявления	Ассоциация; парагенезис	Главные линии дебаеграммы по В. И. Михееву [1957] (1); показатель преломления минералов по Е. Ларсену [Ларсен Е., Берман Г., 1965] (2)	Отличительные диагностические признаки
ре- ель ь сного ия на тин), обаль-	Гипергенный — псевдоморфозы по пентландиту; под бинокуляром и микроскопом	Марказит, мельникит, вторичные сульфиды меди; замещается халькоzinом, гётитом, аннабергитом	Дебаеграмма аналогична пириту	Реакция на Ni; парагенезис
т	Тонкие прожилки и камки, псевдоморфозы по пентландиту; в срастании с бравоитом образует сажистые массы	Замещает пентландит	1) 2,86 (10), 1,678 (10), 2,37 (8)	Фиолетовый оттенок, микротвердость, образуется в зоне окисления Ni-содержащих сульфидов
к на рексп. тио- е; на As; онц. AsO_4 ; нимон- цвета	Агрегаты аморфного и волокнистого строения; совершенная спайность по (010); под бинокуляром	Моренозит, лавандулан, эритрин	1) 3,19 (10), 2,998 (9), 1,557 (9); 2) $N_p = 1,622$, $N_m = 1,658$, $N_g = 1,687$, $N_g - N_p = 0,065$	Зеленые внутренние рефлексы, травление; реакция на Ni и As; травление; HNO_3 конц. (вспыхивает); HCl конц.; парагенезис
к на ого и. лио-	Корки, сталакиты радиально-лучистого и волокнистого строения; под бинокуляром	Продукт окисления сульфидов никеля в условиях сухого климата; парагенезис с аннабергитом	1) 4,20 (10), 5,3 (6), 2,85 (4); 2) $N_p = 1,467$, $N_m = 1,489$, $N_g = 1,492$, $N_g - N_p = 0,025$	Зеленые внутренние рефлексы, травление; реакция на Ni; сильно тратится стандартными реактивами, растворяется в воде; парагенезис

№ п/п Минерал: химический состав, %: сингония	Отражение R , % (1); двоотражение ΔR (2); цвет (3)	Эффект анизотропии (1); внутренние рефлексы (2)	Твердость по шкале Мооса (1); микротвердость МПа (2); поведение при полировании, относительный рельеф h (3)	Микрохимические реакции: тип реакции (1); растворитель, время экспозиции (2); проявитель (3); окрашивание (4); реакция травления (5)
---	---	--	--	---

Минералы

105 Смальтин (Co, Ni)As _{3-x} ; Co 28,23, Ni от следов до 28, As от 67 до 74; Fe от долей до 16; кубич.	1) 56, 60 (Р); 2) нет; 3) белый с крем- овым оттенком	1) Изотропен; 2) нет	1) 5,5—6; 2) 6160—7290 (Л), 7480—9200 (Тубо); 3) отличное	1) Реакция на As; 2) минерал + + HNO ₃ , эксп. 5 мин; 3) (NH ₄) ₂ MoO ₄ , порошок в из- бытке; 4) осадок лимон- ного цвета
106 Кобальтин CoAsS; Co 35,40, As 45,30, S 19,30; кубич.	1) 52 (Э, Р), 56 (Вл); 2) нет; 3) розовато-бе- лый	1) Изотропен, слабо анизотроп- ен; 2) нет	1) 5,5; 2) 9480—10790, 10200 (Л), 11760—12260, 12000 (БТ); 3) плохое, реже хорошее	1) Реакция на Co; 2) HNO ₃ конц., эксп. 3 мин; 3а) а-нитрозо, β-нафтоль + NH ₄ OH; 3б) K ₃ Fe(CN) ₆ ; 4а) кирпично- красное; 4б) коричнево- бурое
107 Линнеит Co ₃ S ₄ ; Co 57,96, S 42,04; кубич.	1) 40 (Вл), 47 (Э); 2) нет; 3) кремово-бе- лый до розово- того	1) Изотропен; 2) нет	1) 5—5,5; 2) 5080—5540; 3) хорошее	Реакция на Co (см. смальтин)
108 Эритрин Co[AsO ₄] ₂ × × 8H ₂ O; CoO 37,5, As ₂ O ₅ 38,5, H ₂ O 24,0; при- месь Ni, Fe; монокл.	1) 6—10; 2) слабое, нет; 3) темно-серый	1) Слабо ани- зотропен (ме- шают внутрен- ние рефлексы); 2) сильные бес- цветные, розо- вые	1) 1,5—2,5; 2) 1000—1210; 3) хорошее	1) Прямой отпечат- ток на Co; 2, 3) HNO ₃ конц., эксп. 1—2 мин; 4) розовое; реак- ция на As (см. смальтин)

Продолжение табл.

	Форма и внутреннее строение агрегатов и зерен; методы их выявления	Ассоциация; парагенезис	Главные линии дебаеграммы по В. И. Михееву [1957] (1); показатель преломления минералов по Е. Ларсену [Ларсен Е., Берман Г., 1965] (2)	Однотипные диагностические признаки
кобальта				
As;	Реликты в окисленных и полуокисленных никель-кобальтовых рудах	Реликтовый минерал	1) 2,593 (10), 1,837 (8), 1,609 (8)	Травление HNO_3 , зональное строение индивидов, реакция на Co
Co;	То же	То же	1) 2,495 (10), 2,278 (10) 1,074 (10)	Розово-белый цвет, высокая микротвердость; плохо полируется; зональное строение индивидов, реакция на Co
OH;	" "	" "	1) 1,68 (10), 2,82 (9), 1,82 (8)	От кобальтина отличается более низкой микротвердостью, лучшей полировкой и полной изотропностью; от полидимита, пирротина — реакцией на Co
еч- ц., ик-	Агрегаты аморфного, волокнистого и радиально-лучистого строения; спайность по (010) весьма совершенная; под бинокуляром	Гетерогенит, малахит, асболан, гётит, хризокolla, аниабергит, биберит	1) 3,010 (10), 3,23 (9), 2,729 (8); 2) $Np=1,626$, $Nm=1,661$, $Ng=1,699$, $Ng-Np=0,73$	Розовые внутренние рефлексы; травление; реакция на Co, As; травится HNO_3 , HCl ; парагенезис

№ п/п Минерал: химический состав, %: сингония	Отражение R , % (1); двутра же- ние ΔR (2); цвет (3)	Эффект анизотропии (1); внутренние рефлексы (2)	Твердость по шкале Мооса (1); микротвердость МПа (2); поведение при полировании, относительный рельеф h (3)	Микрохимические реакции: тип реакции (1); растворитель, время экспозиции (2); проявитель (3); окрашивание (4); реакция травления (5)
109 Гетерогенит $\text{CoO} \times$ $\times \text{OH}(\text{H}_2\text{O})_{0-1}$; CoO 72,0, О 5,98, H_2O 21,33; тригон. аморфный	1) 10—25 (АБ); 2) очень сильное с цветным эффектом (белого, кремового, темно-бурового оттенков); нет (для аморфного); 3) серо-белый с желтоватым оттенком	1) Изотропен в поперечных разрезах и в скрытокристаллических разностях; сильно анизотропен в разрезах параллельно удлинению; цветовой эффект (голубоватый, желтовато-белый); 2) слабые красновато-бурые	1) 1—4; 2) 100—3000; 3) хорошее	1) Капельная реакция на Co; 2) минерал+ HCl (1 : 1), эксп. 1—2 мин; 3) α -нитрозо- β -нафтол; 4) красновато-коричневое
110 Стениерит $(\text{Co}, \text{Fe}, \text{Al})_2\text{O}_3 \times$ $\times \text{H}_2\text{O}$; Fe_2O_3 0—9,4; примеси Al_2O_3 — 0,69; Си-гетерогенит; $2\text{Co}_2\text{O}_3 \cdot \text{CuO} \times$ $\times 6\text{H}_2\text{O}$; CuO 0,9—22,6; тригон. аморфный				
111 Биберит $\text{CoSO}_4 \cdot 7\text{H}_2\text{O}$; CoO 26,6, SO_3 28,5, H_2O 44,9; монокл. скры- токристал.	1) 4; 2) слабое, нет; 3) темно-серый	1) Слабо ани- зотропен; изотропен; 2) сильные ро- зово-красные, розовые, розо- вато-белые	1) 2—3; 2) 200—600; 3) хорошее	1) Отпечаток на Co; 2) H_2O , эксп. 5 мин; 3а) α -нитрозо- β -нафтол; 3б) $\text{K}_3\text{Fe}(\text{CN})_6$; 4а) красновато- буровое; 4б) коричнево-бу- ровое

Минералы

112 Рутил TiO_2 ; Ti 60, О 40; тетрагон.	1) 25—21 (Р), 24—20 (Вл); 2) слабое, за- метное по гра- нициам зерен и двойников (В), отчетливое (МИ); 3) серовато-бе- лый	1) Отчетливо анизотропен (мешают вну- тренние реф- лексы); 2) сильные бес- цветные, жел- тые, редко ко- ричневые, крас- но-бурые и зе- леноватые	1) 6—6,5; 2) 10740— 12100, 11390 (БТ); 3) посредствен- ное, хорошее	Спектральный анализ на Ti
--	---	--	--	------------------------------

Продолжение табл.

Форма и внутреннее строение агрегатов и зерен; методы их выявления	Ассоциация; парагенезис	Главные линии дебаеграммы по В. И. Михееву [1957] (1); показатель преломления минералов по Е. Ларсену [Ларсен Е., Берман Г., 1965] (2)	Отличительные диагностические признаки
Корки, почки, порошковые массы со скрытоизом и радиально-лучистым строением; замещает кобальтин, смальтины, саффлорит; под бинокуляром	То же	2) $N=1,85$	От черных марганцевых минералов отличается реакцией на Co и парагенезисом с другими гипогенными минералами Co
Корки, сталактиты, землистые массы аморфного и радиально-лучистого строения; под бинокуляром	Зона окисления кобальтовых сульфидных месторождений	1) 4,87 (100), 4,82 (55), 3,76 (75), 3,71 (20), 2,72 (25); $a_0=14,13$, $b_0=6,55$, $c_0=11,00$; 2) $Np=1,477$, $Nm=1,483$, $Ng=1,489$, $Ng-Np=0,012$	Розовато-красные внутренние рефлексы, травление, отпечаток на Co; сильно травится стандартными реактивами; парагенезис
титана	Мелкие агрегаты призматических и волосовидных кристаллов; простые двойники в зернах; под бинокуляром	Реликтовый минерал в окисленных сульфидных рудах	1) 1,689 (10), 3,242 (9), 2,488 (8); 2) $Ne=2,909$, $No=2,616$, $Ne-No=0,293$

№ п/п Минерал: химический состав, %; сингония	Отражение R , % (1); двоутраже- ние ΔR (2); цвет (3)	Эффект анизотропии (1); внутренние рефлексы (2)	Твердость по шкале Мооса (1); микротвердость МПа (2); поведение при полировании, относительный рельеф h (3)	Микрохимические реакции: тип реакции (1); растворитель, время экспозиции (2); проявитель (3); окрашивание (4); реакция травления (5)
113 Ильменит $FeTiO_3$; Fe 36,8, Ti 31,6, O 31,6; тригон.	1) 21–17 (Вл), 18 (Э, Р); 2) слабое (В), отчетливое (МИ); 3) серый с ко- ричневым оттен- ком	1) Отчетливо анизотропен	1) 5–6; 2) 5930–7340, 6400 (Л), 5190–5530, 5360 (БТ); 3) хорошее	Спектральный анализ на Ti
114 Лейкоксен $TiO_2 \cdot nH_2O$; примесь Fe_2O_3 ; монокл. скры- токристал.	1) 10 (Э), 12–9 (Вл); 2) слабое (МИ); 3) серый	1) Слабо ани- зотропен (ме- шают внутрен- ние рефлексы); 2) сильные бе- лые, бурые, ко- ричевые, реже зеленоватые, золотистые, желтые	1) 5–5,5; 2) 7520–8530 (Янг, Милл- ман); 3) хорошее	То же

Минералы

115 Станин Cu_2FeSnS_4 ; Cu 29,5, Fe 13,1, Sn 27,5, S 29,9; тетрагон.	1) 28 (Б), 23 (Э); 2) нет; 3) серо-белый с коричневатым оттенком (бу- ровато-зелено- вато-белый)	1) Отчетливо анизотропен, слабо анизотро- пен (цветные эффекты), изо- тропен; 2) нет	1) 3,5–4; 2) 2060–3070, 2570 (Л), 1970–2210, 2100 (БТ); 3) посредствен- ное, хорошее	1) Капельная ре- акция на Fe; 2) HNO_3 конц., эксп. 3 мин; 3) $K_3Fe(CN)_6$ 5 %-ный; 4) синее
116 Кассiterит SnO_2 ; Sn 78,8, O 21,2; тетрагон.	1) 12,5 (Вл), 11 (Э); 2) слабое; 3) серый	1) Отчетливо анизотропен (мешают вну- тренние реф- лексы); 2) сильные, бес- цветные, жел- тые, бурые, красноватые	1) 6,5–7; 2) 8110–15320 (АБ); 3) плохое, ша- греневая по- верхность	1) Пленочная ре- акция на Sn; 2, 3) HCl (1 : 1), на шлифе, эксп. 1 мин; в каплю вводится порошок металлического Zn; 4) образуется пленка Sn («оло- вянное зеркало»)
117 Деревянристое олово (колло- морфный касси- терит); SnO_2				

Продолжение табл.

Форма и внутреннее строение агрегатов и зерен; методы их выявления	Ассоциация; парагенезис	Главные линии дифракограммы по В. И. Михееву [1957] (1); показатель преломления минералов по Е. Ларсену [Ларсен Е., Берман Г., 1955] (2)	Отличительные диагностические признаки
Изометрические и таблитчатые зерна; в скрещенных николях	Реликтовый минерал в окисленных и полуокисленных сульфидных рудах	1) 2,74 (10), 2,53 (9), 1,720 (8)	От рутила отличается более слабыми внутренними рефлексами, от магнетита — эффектом анизотропии, двойниковым строением
Псевдоморфозы по ильмениту, анатазу, брукиту, перовскиту, сфену; неправильные мелкие скопления скрытокристаллического строения в гидротермально измененных породах; под бинокуляром	То же		Сильные внутренние рефлексы, форма выделений; спектральный анализ на Ti
олова			
Аллотриоморфноизернистые агрегаты; в скрещенных николях	Реликтовый минерал в окисленных сульфидных рудах	1) 3,12 (10), 1,911 (10), 1,634 (10)	От энагрита, люценита отличается зеленым оттенком; от блеклых руд — анизотропией и микротвердостью; реакция на Sn и Fe; парагенезис
Изометрические кристаллы дипирамидального и призматического облика, колломорфные выделения в окисленных и полуокисленных кассiterит-станин-сульфидных рудах; в скрещенных николях	Кассiterит-реликтовый гипогенный минерал; деревянинистое; олово-гипергенный минерал в окисленных оловянно-сульфидных рудах	1) 1,758 (8), 1,079 (7), 1,213 (6), для кассiterита	Низкое отражение, зональное строение зерен и реакция на Sn отличают SnO_2 от TiO_2

№ п/п Минерал: химический состав, %; сингония	Отражение R , % (1); двоотраже- ние ΔR (2); цвет (3)	Эффект анизотропии (1); внутренние рефлексы (2)	Твердость по шкале Мооса (1); микротвердость МПа (2); поведение при полировании, относительный рельеф h (3)	Микрохимические реакции: тип реакции (1); растворитель; время экспозиции (2); проявитель (3); окрашивание (4); реакция травления (5)
---	---	--	--	---

Минералы

118 Настурран или урановая смол- ка UO_2 ; U 86,8; кубич. (скрытокри- стал.)	1) 11,6—16,8 (ПС); 2) нет; 3) серый, иног- да с буроватым оттенком	1) Изотропен; 2) нет	1) 4—6; 2) 4710—7240 (ГС), 4640— 7270 (ПС); 3) посредствен- ное	1) отпечаток на U; 2) HNO_3 (1 : 1), эксп. 1—3 мин; 3) $K_4Fe(CN)_6$ 5 %-ный; 4) коричневое
119 Урановая чернь UO_2 ; U 7,7—34; аморфный	1) 6—11; 2) нет; 3) серый до темно-серого с буроватым оттенком	1) Изотропен; 2) слабые бу- ровато-желтые, зеленовато-бу- рые	1) 1—4; 2) 200—2000; 3) плохое	

Минералы молибдена;

120 Молибденит MoS_2 ; Mo 59,94, S 40,06; гексагон.	1) 44—15 (Вл), 43—15 (Э); 2) очень силь- ное; 3) белый, серо- белый, серый	1) Сильно ани- зотропен (цве- товой эффект в желтых, си- неватых тонах); 2) нет	1) 1—1,5; 2) 160—190, 170 (БТ), параллельно спайности, 210—280, 230 (БТ), перпен- дикулярно спайности; 3) хорошее	1) Капельная ре- акция на Mo; 2) HNO_3 (1 : 1) на шлифе; эксп. 5 мин+фильтро- вальная бумага; 3) ксантофенат ка- лия (свежеприго- товленный); 4) фиолетово-крас- ное
121 Повеллит $CaMoO_4$; CaO 28, MoO_2 72; тетрагон.	1) 11 (Вл); 2) очень слабое, нет; 3) серый	1) Слабо ани- зотропен (ме- шают внутрен- ние рефлексы); изотропен в скрытокристал- лических агре- гатах; 2) сильные, бес- цветные, жел- тые, зеленова- тые	1) 3—4; 2) 2000—3000; 3) полируется хорошо	1) Отпечаток на Mo; 2) HNO_3 (1 : 1), эксп. 2 мин; 3а) $K_4Fe(CN)_6$ (мешают Fe и Cu); 3б) ксантофенат калия свежеприго- товленный; 4а) коричневое; 4б) фиолетово- красное

Продолжение табл.

Форма и внутреннее строение агрегатов и зерен; методы их выявления	Ассоциация; парагенезис	Главные линии дебаэграмм по В. И. Михееву [1957] (1); показатель преломления минералов по Е. Ларсену [Ларсен Е., Берман Г., 1965] (2)	Отличительные диагностические признаки
--	-------------------------	---	--

урана

Реликты корковых почковидных, колломорфных агрегатов с радиальными и концентрическими трещинами в окисленных сульфидных рудах; под бинокуляром	Реликтовый минерал в зоне окисления ураносульфидных руд	1) 1,903 (10), 1,629 (10), 3,121 (9), рентгеноаморфный	Натечные формы агрегатов и реакция на U; сильно радиоактивен
Корки, землистые массы, прожилки аморфного строения; под бинокуляром	Зона окисления и зона цементации урановых месторождений; настуран, сульфиды, битумы	1) 5,438—5,44 [Гецева Р. В., Савельева К. Т., 1956]	Натечные выделения черного цвета; реакция на U

серы самородная

Таблитчатые кристаллы, чешуйчатые агрегаты; редко скрытокристаллические агрегаты в виде почек; в зернах фигуры смятия и полисинтетические двойники; в скрещенных николях	Реликтовый минерал; замещается повеллитом, ферримолибдитом, гётитом	1) 2,045 (10), 1,826 (10), 1,534 (10)	Сильное двутрение и анизотропия, форма индивидов, реакция на Mo; реликты молибденита в псевдоморфозах повеллита и ферримолибдита
Прожилки, каемки, псевдоморфозы по молибдениту; скрытокристаллический, тонкозернистый; зональное строение зерен выявляется при травлении в HNO_3 конц. в течение 5 мин	Гипергенный минерал; замещает молибденит и сам замещается гётитом	1) 1,249 (10), 3,11 (9), 1,922 (8); 2) $Ne = 1,984$, $No = 1,974$, $Ne - No = 0,01$	Сильные внутренние рефлексы; реакция на Mo; Люминесцирует желтым или зеленовато-желтым

№ п/п Минерал; химический состав, %; сингония	Отражение R , % (1); двоупрежде- ние ΔR (2); цвет (3)	Эффект анизотропии (1); внутренние рефлексы (2)	Твердость по шкале Мооса (1); микротвердость МПа (2); поведение при полировании, относительный рельеф h (3)	Микрохимические реакции; тип реакции (1); растворитель, время экспозиции (2); проявитель (3); окрашивание (4); реакция травления (5)
122 Ферримолиб- дит $Fe_2O_3 \times$ $\times 3MoO_3 \cdot 8H_2O$; MoO_3 61,6, Fe_2O_3 21,3, H_2O 17,2; ромбич., аморфный	1) 10,8; 2) нет; 3) темно-серый	1) Изотропен, слабо анизотро- пен; 2) сильные, желтые, бурые	1) 1—2; 2) 100—300; 3) плохое	1) Капельная ре- акция на Mo; 2) HNO_3 конц., эксп. 1—2 мин; 3) ксантофенат ка- лия (свежеприго- товленный); 4) фиолетово- красное; 1a) реакция на Fe; 2a) HCl (1 : 1), эксп. 2—3 мин; 3a) KCN 20 %-ный; 4a) красное
123 Молибдит MoO_3 ; ромбич.	То же	1) Изотропен, слабо анизотро- пен; 2) сильные, желтые	То же	Реакция на Mo (см. ферримолиб- дит)
124 Сера самород- ная S; α -сера; ромбич.; β -сера; монокл.	1) 10—15 (Вл); 2) отчетливое; 3) серый	1) Отчетливо анизотропен; 2) сильные бе- лы, светло- желтые	1) 1—2; 2) 240—350 (Л); 3) хорошее, h ниже гипса	1) Прямой отпечат- ок на S оранже- вого цвета; 2, 3) $Sb_2O_3 + HCl$, эксп. 1—5 мин

Главные жиль

125 Анкерит, же- лезистый доломит $(Fe,Mg,Ca)CO_3$; CaO 27,1—29,56, MgO 5,4—17,58, FeO 23,5—6,68, CO_2 42,7—45,64, Mn 1,5; тригон.	1) 7—4; 2) сильное; 3) темно-серый	1) Сильно ани- зотропен; 2) сильные бес- цветные, буро- ватые	1) 3,5—4; 2) 1200—2000, 3500—4900 (Янг, Милл- ман); 3) хорошее	1) Реакция окра- шивания; 2, 3) минерал+ре- актив: 1 часть HCl (1 : 20) и 1 часть $K_3Fe(CN)_6$, эксп. 1—2 мин; 4) на поверхности минерала образу- ется пятно синего цвета; слабо вски- пает в HCl (1 : 20)
---	--	---	---	---

Продолжение табл.

Форма и внутреннее строение агрегатов и зерен; методы их выявления	Ассоциация; парагенезис	Главные линии дебаеграммы по В. И. Михееву [1957] (1); показатель преломления минералов по Е. Ларсену [Ларсен Е., Берман Г., 1965] (2)	Отличительные диагностические признаки
Корковые, сферолитовые, охристые агрегаты волокнистого и радиально-лучистого строения; наблюдать под бинокуляром	Зона окисления молибденовых месторождений; замещается гематитом	1) 9,56 (10), 8,16 (10), 3,34 (5); 2,76 (5), 2,15 (5) [Исаенко М. П., 1966]; 2) $Np=1,78$, $Nm=1,79\pm$, $Ng=2,04\pm$, $Ng-Np=0,26$	Парагенезис и реакция на Mo и Fe
То же	То же	1) 3,25 (10), 3,80 (8), 3,46 (7)	Реакция на Fe отличает от ферримолибдита; дебаеграмма
Прожилки, корочки тонкозернистого сложения	Халькозин, ковеллин, борнит, марказит; в зоне цементации замещает сульфиды	1) 3,85 (10), 3,21 (7), 3,10 (6), 2,85 (6), 2,12 (6); 2) $Np=1,957$, $Nm=1,037$, $Ng=2,245$	Парагенезис, реакция на S
ные минералы			
Зернистые агрегаты; форма зерен ромбэдры и аллотриоморфия; спайность совершенная по (1011); в скрещенных николях	Реликтовый минерал в окисленных рудах	2) $Ne=1,547$, $No=1,749$, $No—Ne=0,202$	Железистый доломит и анкерит различаются по химическому составу; от сидерита эти минералы отличаются поведением при травлении в HCl (1 : 20)

№ п/п Минерал: химический состав, %: силигния	Отражение R , % (1); двоотраже- ние ΔR (2); цвет (3)	Эффект анизотропии (1); внутренние рефлексы (2)	Твердость по шкале Мооса (1); микротвердость МПа (2); поведение при полировании, относительный рельеф h (3)	Микрохимические реакции: тип реакции (1); растворитель, время экспозиции (2); проявитель (3); окрашивание (4); реакция травления (5)
126 Кальцит CaCO_3 ; CaO 56, CO_2 44; тригон.	1) 6—4 (Вл), 10—5 (Э); 2) сильное; 3) серый	1) Сильно ани- зотропен (ме- шают внутрен- ние рефлексы); 2) сильные бес- цветные	1) 3; 2) 1200—2020 (БТ); 3) хорошее	1) Реакция окра- шивания; 2, 3) минерал + HCl (1 : 20) + фиолето- вые чернила, эксп. 1 мин; 4) образуется пленка фиолето- вого цвета
126а Арагонит CaCO_3 ; ромбич.	То же	То же	То же	То же
127 Барит BaSO_4 ; BaO 65,7, SO_3 34,3; при- меси Sr, Ca, Fe; ромбич.	1) 4,5—6; 2) нет; 3) темно-серый	1) Изотропен, слабо анизотро- пен; 2) сильные бес- цветные, зеле- новатые, желто- ватые, голубо- ватые	1) 3—3,5; 2) 1200—2000; 3) хорошее	Спектральный ана- лиз на Ba; 5) не травится стандартными реактивами
128 Кварц SiO_2 ; тригон.	1) 4,5 (Вл, Э); 2) нет; 3) темно-серый	1) Слабо ани- зотропен (ме- шают внутрен- ние рефлексы); 2) сильные бес- цветные, ра- дужные	1) 7; 2) 10230— 12360, 11350 (Л), 10970— 11680, 11350 (БТ); 3) хорошее	5) Не травится стандартными реактивами
129 Опал, халцедон $\text{SiO}_2 \cdot n\text{H}_2\text{O}$; H_2O 4—9, SiO_2 96—91; аморфный, скрытокри- стал.	1) 3—4; 2) нет; 3) темно-серый	1) Изотропен; 2) сильные бес- цветные, молоч- но-белые, буро- ватые	1) 5—6,5; 2) 5500—8000; 3) хорошее	То же

Продолжение табл.

	Форма и внутреннее строение агрегатов и зерен; методы их выявления	Ассоциация; парагенезис	Главные линии дебаограммы по В. И. Михееву [1957] (1); показатель преломления минералов по Е. Ларсену [Ларсен Е., Берман Г., 1965] (2)	Однотипные диагностические признаки
	Корки, прожилки, редко кристаллы; характерны тонкопластические двойники в зернах; в скрещенных николях	Реликтовый и гипергенный минерал в окисленных сульфидных рудах	1) 3,029 (10), 1,044 (10), 1,869 (9); 2) $N_e = 1,486$, $No = 1,658$, $No - Ne = 0,172$	Сильное двутражение, сильные внутренние рефлексы, бурое травление в кислотах, реакция окрашивания; полисинтетические двойники
	То же	То же	1) 1,971 (10), 3,391 (9), 1,738 (9)	От кальцита отличается реакцией окрашивания в растворе нитрата кобальта; дебаограммой
на-	Индивиды таблитчатого, редко призматического, столбчатого, изометрического облика; корки, друзы, сталактиты, плотные агрегаты; зернистые, скрытокристаллические; спайность по (001) совершенная; характерны треугольники выкрашивания	Реликтовый и гипергенный минерал в зоне окисления	1) 2,106 (10), 3,058 (8), 3,456 (6); 2) $Ng = 1,648$, $Nm = 1,637$, $Np = 1,636$, $Ng - Np = 0,012$	От кварца отличается меньшей твердостью; не растворим в кислотах
	Аллотриоморфозернистые агрегаты, кристаллы призматического габитуса, шестигранники в сечениях	Реликтовый, редко гипергенный минерал в сульфидных окисленных рудах	α -кварц 1) 3,34 (10), 1,813 (9), 1,539 (9); 2) $Ne = 1,533$, $No = 1,544$, $No - Ne = 0,011$	Сильные рефлексы, высокая твердость; очень низкое отражение; шестиугольные сечения кристаллов
	Натечные агрегаты, почки, корочки коллоидного и скрытокристаллического строения	Гидроокислы Fe, Mn, каолинит и др.	2) $N = 1,433$, до 1,456	От кварца отличается формой выделений и оптическими свойствами в проходящем свете

№ п/п Минерал: химический состав, %: сингония	Отражение R , % (1); двоотраже- ния ΔR (2); цвет (3)	Эффект анизотропии (1); внутренние рефлексы (2)	Твердость по шкале Мооса (1); микротвердость МПа (2); поведение при полировании, относительный рельеф h (3)	Микрохимические реакции: тип реакции (1); растворитель, время экспозиции (2); проявитель (3); окрашивание (4); реакция травления (5)
130 Гипс $\text{CaSO}_4 \cdot 2\text{H}_2\text{O}$; моноклин.	1) 3—4; 2) нет; 3) темно-серый	1) Изотропен; 2) сильные бес- цветные	1) 2; 2) 410—750, 580 (Л); 3) плохое,	То же
131 Каолинит $\text{Al}_2\text{O}_3 \cdot 2\text{SiO}_2 \times$ $\times 2\text{H}_2\text{O}$; Al_2O_3 39,5, SiO_2 46,5; H_2O 14; моноклин.	1) 3—5; 2) нет; 3) темно-серый	1) Изотропен; 2) сильные бес- цветные, желто- ватые, буроватые	1) 1—2; 2) 100—600; 3) плохое	В растворе мети- леновой голубой краски окрашива- ется в фиолетовый цвет в течение 20 мин

П
ко
стСл
тс
об
по
эл
фа
та

Продолжение табл.

Форма и внутреннее строение агрегатов и зерен; методы их выявления	Ассоциация; парагенезис	Главные линии дифрактограммы по В. И. Михееву [1957] (1); показатель преломления минералов по Е. Ларсену [Ларсен Е., Берман Г., 1965] (2)	Отличительные диагностические признаки
Прожилки, гнезда; тонкозернистый, волокнистый, пластинчатый	Ярозит, гидрокислы Fe, Mn, кальцит, ангидрит, халькантий, мелаантит и др.	1) 4,29 (10), 2,87 (7), 3,06 (6); 2) $Np=1,520$, $Nm=1,523$, $Ng=1,530$, $Ng-Np=0,010$	Необходимо изучение в прозрачных шлифах
Скрытокристаллические, тонкочешуйчатые массы образуют псевдоморфозы по алюмосиликатам; в электронном микроскопе форма чешуек таблитчатая	Ярозит, гидрокислы Fe, Mn, малахит, азурит, гипс, скородит, куприт, кальцит, ангидрит и др.	2) $Np=1,561$, $Nm=1,565$, $Ng=1,566$, $Ng-Np=0,005$	Минерал определяется в проходящем свете и под электронным микроскопом; необходимы термограммы и химический анализ

СПИСОК ЛИТЕРАТУРЫ

- Акопян Е. А. Минералогия зоны окисления главнейших медно-молибденовых месторождений Армении. Ереван, Изд. АН Арм. ССР, 1960.
- Амирасланов А. А. Минералогическая характеристика месторождений Урала и вторичные процессы в них.— Тр. ВИМС, 1937, вып. 121.
- Баши С. Х. У., Тейлор К. Определитель рудных минералов.— В кн.: Труды Второй международной конференции по мирному использованию атомной энергии, т. 8. М., 1959, с. 101—183.
- Билибинскит $\text{Au}_3\text{Cu}_2\text{PbTe}_2$ — новый минерал золото-теллуридных месторождений/Э. М. Спиридонов, М. С. Безсмертная, Т. Н. Чвилева, В. В. Безсмертный.— Зап. Всесоюз. минер. о-ва, ч. с. VII, вып. 3—4. 1978, с. 310—315.
- Виноградов В. Н. Экономическая оценка комплексного минерального сырья. М., Недра, 1978.
- Витовская И. В. Новые данные по минералогии зоны окисления месторождения Акчагыл в Центральном Казахстане.— В кн.: Кора выветривания. Вып. 3. М., 1960, с. 74—116.
- Гаррелс Р. Минеральные равновесия. Перевод с английского. М., Изд-во иностр. лит., 1962.
- Гинзбург И. И., Ольшанский Я. И., Беляцкий В. В. Экспериментальные исследования по окислению сульфидов.— Тр. ИГЕМ, 1961, вып. 59, с. 130—131.
- Гипергенные окислы железа. М., Наука, 1975.
- Гецева Р. В., Савельева К. Т. Руководство по определению урановых минералов. М., Госгеолтехиздат, 1956.
- Годовиков А. А. Минералогия. М., Недра, 1975.
- Деды В. Ю. Зоны окисления месторождения Кальмакыр. Ташкент, ФАН, УзССР, 1971.
- Евсеева Л. С., Перельман А. И. Геохимия урана в зоне гипергенеза. М., Атомиздат, 1962.
- Елисеев Э. Н. Зона окисления сульфидных медно-никелевых руд.— Тр. Лабор. геол. докембря, 1961, вып. 10, с. 286—292.
- Зонтов Н. С. О зоне окисления вюрмского времени в Норильском месторождении медно-никелевых сульфидных руд.— Изв. АН СССР, т. 129, № 2, 1959, с. 405—407.
- Иванов О. П. Основные факторы развития зон окисления сульфидных месторождений в условиях многолетней мерзлоты.— Геохимия, 1966, № 9, с. 1095—1105.
- Иванова В. П. Термограммы минералов.— Зап. Всесоюз. минер. о-ва. Вторая серия, ч. 90, вып. 1, 1961, с. 50—90.
- Иванова В. П. Термограммы минералов зоны окисления полиметаллических месторождений.— Материалы ВСЕГЕИ. Новая серия, вып. 45. Минер. сб. № 2, 1961, с. 133—147.
- Ильинский Г. А. Определение микротвердости минералов методом вдавливания. Л., Изд-во ЛГУ, 1963.
- Исаенко М. П. Определитель текстур и структур руд. М., Недра, 1964; 1975.
- Исаенко М. П. Минералы молибдена в рудах медно-молибденовых месторождений Малого Кавказа.— Изв. вузов. Геология и разведка, 1966, № 2, с. 38—52.

Исаенко М. П., By Нгок Хай. Главнейшие минеральные ассоциации в окисленных медно-молибденовых рудах месторождения Каджаран (Армянская ССР).—Изв. вузов. Геология и разведка, 1969, № 7, с. 42—49.

Исаенко М. П., Боришанская С. С., Афанасьева Е. Л. Определитель главнейших минералов руд в отраженном свете. М., Недра, 1972; 1978.

Исаенко М. П., Афанасьева Е. Л., Боришанская С. С. История создания современных таблиц для диагностики рудных минералов в отраженном свете.—Изв. вузов. Геология и разведка, 1977, № 12, с. 163—167.

Изучение зон окисления сульфидных месторождений/Н. А. Цыкункова, В. Н. Дубинина, И. А. Корнилович, Н. А. Читаева. Л., Недра, 1969.

Комбинированные методы переработки окисленных и смешанных медных руд/С. И. Митрофанов, Р. Б. Новик, А. В. Курочкина и др. М., Недра, 1970.

Кротов Б. П. Дифференциация элементов при выветривании. М., Изд-во АН СССР, 1959.

Камерон Ю. Н. Рудная микроскопия. М., Мир, 1966.

Ларсен Е., Берман Г. Определение прозрачных минералов под микроскопом. М., Недра, 1965.

Лебедева С. И. Микротвердость минералов. М., Недра, 1977.

Ляликова Н. Н. Роль бактерий в окислении сульфидных руд.—Тр. Ин-та микробиологии АН СССР, 1961, вып. 9, с. 134—143.

Минералы. Справочник/Под ред. Ф. В. Чухрова. М., Изд-во АН СССР: т. I, 1960; т. II, вып. 1, 1963; т. II, вып. 2, 1965; т. II, вып. 3, 1967.

Мухеев В. И. Рентгенометрический определитель минералов. М., Госгеолтехиздат, 1957.

Мовсесян С. А., Isaenko M. P. Комплексные медно-молибденовые месторождения. М., Недра, 1974.

Молчанов В. И., Юсупов Т. С. Физические и химические свойства тонкодисперсных минералов. М., Недра, 1979.

Осетров О. А. Развитие зоны окисления колчеданно-полиметаллических месторождений в условиях карста на примере Верхнеартинского месторождения.—В кн.: Сб. науч. трудов Цветметзолото, 1961, № 34, с. 42—48.

Поведение золота в зоне окисления золото-сульфидных месторождений/В. М. Крейтер, В. В. Аристов, И. С. Волынский, А. Н. Крестовников, В. В. Кувичинский. М., Госгеолтехиздат, 1958.

Прахова Е. В. К минералогии и геохимии железных шляп колчеданных месторождений Урала. Мугоджар.—Тр. Горно-геол. ин-та. Уральский филиал АН СССР, вып. 35, минер. сб. 4, 1960, с. 209—263.

Рамдор П. Рудные минералы и их срастания. М., Изд-во иностр. лит., 1962.

Росляков Н. А. Методы картирования и оценки выходов сульфидных руд на примере Тушканского месторождения.—Геология и геофизика, 1960, № 9, с. 62—67.

Росляков Н. А., Рослякова Н. В. Метод крупномасштабного картирования зоны окисления сульфидных месторождений Западного Алтая.—В кн.: Геология и геохимия рудных месторождений Сибири. Новосибирск, 1965.

Росляков Н. А. Зоны окисления сульфидных месторождений Западного Алтая. Новосибирск, Наука, 1970.

Свешников Г. Б. Электрохимические процессы на сульфидных месторождениях. Л., Изд. Ленинград. ун-та, 1967.

Синдеева Н. Д., Куликова М. Ф. Редкие элементы в зоне окисления сульфидных месторождений.—Тр. ИМГРЭ, 1963, вып. 10, с. 268—290.

Систематика минералогии. Т. 2/Дж. Д. Дэна, Э. С. Дэна, Г. Берман и др. М., Изд-во иностр. лит., 1953. 773 с.

Смирнов В. И. Лимониты зоны окисления полиметаллических месторождений.— Тр. МГРИ, № 23, 1948, с. 256—273.

Смирнов В. И. Геологические основы поисков и разведок рудных месторождений. Изд. 2. М., Изд-во Моск. ун-та, 1957.

Смирнов В. И. Геология полезных ископаемых. М., Недра, 1969.

Смирнов С. С. Зона окисления сульфидных месторождений. М., Изд-во АН СССР, 1951.

Смольянинов Н. А., Синегуб Е. С. Определитель гипергенных минералов. М., Госгеолиздат, 1950.

Современные методы минералогического исследования. Части I, II/Коллектив авторов. М., Недра, 1969.

Спиридонов Э. М., Чвилева Т. Н. Богдановит $Au_5(Cu, Fe)_3(TePb)_2$ — новый минерал из группы интерметаллических соединений золота.— Вестн. Моск. ун-та. Сер. геология, 1979, № 1, с. 44—52.

Тананаев Н. А. Капельный метод. М., Свердловск. ГОНТИ, 1939.

Тарасенко В. С., Бойко Д. Д., Полканов Ю. А. О номенклатуре продуктов гипергенного изменения ильменита.— В кн.: Основные понятия минералогии. Киев, 1978, с. 97—100.

Татарский Б. В. Кристаллооптика и иммерсионный метод. М., Недра, 1965.

Таужнянская З. А. Технология извлечения окисленного молибдена в СССР и за рубежом. М., ЦИИНЦветмет, 1976.

Файгль Ф. Капельный анализ. М., ОНТИ, 1937.

Хрущев М. М. О выборе основного метода определения твердости минералов.— Заводская лаборатория, 1947, № 9, с. 1121—1128.

Чухров Ф. В. О выветривании ярозитов.— Докл. АН СССР, т. XXIII, № 3, 1939, с. 255—256.

Чухров Ф. В. Мельниковит.— В кн.: Минералы СССР, т. II. М.—Л., 1940, с. 647—650.

Чухров Ф. В. Новые данные о галогенидах серебра в рудных месторождениях Казахстана.— Докл. АН СССР, т. XXVII, № 3, 1940, с. 244—246.

Чухров Ф. В. Некоторые общие вопросы генезиса галоидных минералов серебра.— Докл. АН СССР, т. XXVII, № 7, 1940, с. 697—700.

Чухров Ф. В. О миграции золота в зоне окисления.— Изв. АН СССР. Сер. геол., 1947, № 4, с. 117—126.

Чухров Ф. В. Зона окисления сульфидных месторождений степной части Казахстана. М., Изд-во АН СССР, 1950.

Чухров Ф. В. Коллоиды в земной коре. М., Изд-во АН СССР, 1955.

Шадун Т. Н. Минералогия зоны окисления колчеданного месторождения Блява на Южном Урале.— Тр. ИГН, вып. 96. М., 1948.

Шахов Ф. Н. Морфологические черты зоны окисления.— В кн.: Вопросы геологии рудных месторождений Западной Сибири. Новосибирск, 1960, с. 3—42.

Штеренберг Л. Е. К диагностике карбонатных минералов методом окрашивания.— Литология и полезные ископаемые, 1965, № 2, с. 184—185.

Щербина В. В. Геохимическая эволюция зоны окисления сульфидных месторождений.— В кн.: Международный геологический конгресс, XXI сессия. Докл. сов. геологов. Проблема I, 1960, с. 78—83.

Щербина В. В. Поведение некоторых редких и рассеянных элементов в зоне гипергенеза.— Советская геология, 1962, № 6, с. 94—103.

- Щербина В. В.* Основы геохимии. М., Недра, 1972.
- Эмmons B.* Вторичное обогащение рудных месторождений. М.—Л., ОНТИ, 1935.
- Юшкін Н. П.* Механические свойства минералов. Л., Наука, 1971.
- Юшко С. А.* Методы минералогического исследования окисленных руд. М., Недра, 1973.
- Яхонтова Л. К.* Экспериментальное изучение окисления арсенидов кобальта и никеля в растворах, содержащих кислород и углекислоту.— Геохимия, 1958, № 1, с. 70—80.
- Oelsner O.* Atlas der wichtigsten mineral paragenesen im mikroskopischen Bild. Freiberg, 1961.
- Physical methods in determinative Mineralogy.* Ed. by. J. Lussman. London, Academic Press, 1967.

АЛФАВИТНЫЙ УКАЗАТЕЛЬ МИНЕРАЛОВ

Минерал	Номер минерала в описатель- ных таблицах	Номер определите- льной таблицы	Координаты минерала	
			R, %	H, MPa × 10
Азурит	41	I	10	190
Аканит	50	I	36	24
Алтант	48	I	60	50
Англезит	67	I	9	120
Анкерит, железистый доломит	125	I	7	160
Аниабергит	103	I	7	95
Антимонит (стибнит)	76	I	44	86
Арагонит	126a	I	6	160
Аргентит	50	I	36	24
Арсенопирит	88	I	54	1094
Асболан	22	II	25	95
Атакамит	40	II	9	140
Аурипигмент	89	I	26	30
Аурихальцит	44	II	6	100
Барит	127	I	4	200
Биберит	111	II	4	28
Бингдэймит	66	II	9	200
Бисмит	95	I	16	20; 200
Бисмутит (висмутовая охра)	96	I	15	300
Бодановит	91	II	14	250
Борнит	36	I	23	120
Бравоит	101	II	50	740
Брошантит	43	II	8	180
Валентинит	82	I	15	80
Ванадинит	61	II	17	100
Виоларит	102	II	38	458
Висмут самородный	93	II	68	18
Висмутин	94	I	48	110
Вольтцин	71	II	12	200
Вульфенит	60	II	17	100; 180
Вюрцит	69	I	17	200
Галенит	49	I	44	77
Гематит	4	I	127	1000
Гетерогенит	109	II	9	20; 280
Гётит	9	I	18	554
Гидрогематит	5	I	24	500
Гидрогётит	10	I	17	305
Гидроцинкит	74	II	5	60
Гипс	130	I	3	57
Глёт	58	I	18	30
Гринюкит	70	II	19	75
Даихемит	51	II	22	13
Деклаузит	55	I	16	350
Делафоссит	35	II	22	530
Деревянистое олово	117	I	12	1100
Джарлеит	28	I	32	84
Дигенит	38	II	19	75
Золото самородное	86	I	84	50
Ильменит	113	I	18	640
Каламин	75	I	5	500
Каломель	80	II	10	20
Кальцит	126	I	6	160
Каолинит	131	I	5	45
Касситерит	116	I	12	1100
Кварц	128	I	4,5	1135
Кераргирит	64	II	12	22

Продолжение

Минерал	Номер минерала в описатель- ных таблицах	Номер определни- тельной таблицы	Координаты минерала	
			R, %	H, MPa × 10
Кермезит	81	II	27	60
Киноварь	79	I	85	78
Кировит	15	II	4	65
Кобальтий	106	I	56	1200
Ковеллин	34	I	20	70
Коронадит	19	II	32,5	760
Крокоит	52	II	20	120
Куприт	33	I	27	200
Лампадит	21	II	25	95
Лейкоксен	114	I	10	800
Лепидокрокит	8	I	22	724
Линнент	107	I	47	510
Литаргит	58	I	18	30
Магнетит	7	II	25	400; 946
Магнетит	6	I	21	560
Малахит	39	I	10	130
Манганит	20	II	19	410
Марказит	2	I	52	930
Массикот	57	II	20	30
Медь самородная	25	I	83	134
Мелантерит	14	I	4	30
Мельниковичит	12	I	10	40
Мёрдокит	54	II	17	590
Миллерит	100	I	54	250
Метастибнит	77	II	40	85
Миметезит	62	I	13	155
Мимиум	59	I	20	20?
Молибденит	120	I	44	20
Молибдит	123	II	8	28
Монгеймит	73	I	9	410
Монтрамит	56	I	16	400
Моренозит	104	II	4	50
Мышьяк самородный	87	II	62	63; 123
Настуран (урановая смолка)	118	I	15	720
Никелин	97	I	69	420
Оливенинит	42	II	8	130
Опал, халцедон	129	II	4	800
Пентландит	99	I	53	220
Пизанит	16	II	4	65
Пирит	1	I	54,5	1165
Пиролюзит	17	I	40	20; 210; 1300
Пироморфит	65	II	12	150
Пиротит	3	I	42	260
Платтнерит	53	I	17	570
Плюмбоярозит	13	I	8	210
Повеллит	121	I	11	250
Псиломелан	18	I	35	20; 572
Реальгар	90	I	20	54
Родонит	24	I	6,7	800
Родохрозит	23	I	9	175
Ртуть самородная	78	—	—	—
Рутил	112	I	24	1200
Сенармонтит	85	I	10	65
Сера	124	II	15	30
Сервантит	84	I	12	400
Серебро самородное	47	I	95	53
Сидерит	11	I	9	200
Скородит	92	I	8	247
Смальтин	105	I	60	650
Смитсонит	72	I	9	410

Продолжение

Минерал	Номер минерала в описатель- ных таблицах	Номер определен- таблицы	Координаты минерала	
			R, %	H, МПа×10
Станин	115	I	28	220
Стениерит	110	II	9	20
Стибиоконит	85	I	7	400
Сфалерит	68	I	18	200
Теннантит	30	I	28	340
Тенорит	35	I	22	236
Тетраэдрит	29	I	30	370
Урановая чернь	119	II	11	27; 380
Ферримолибдит	122	I	8	28
Халькантит	45	I	6	38
Халькозин	27	I	32	84
Халькопирит	26	I	44	205
Хлоантит	98	I	60	400
Хризоколла	46	I	4	100
Церуссит	63	I	12	200
Штромейерит	31	II	27	41
Энаргит	32	I	27	250
Эритрин	108	I	8	100
Ярозит	13	I	8	210

Пре

Гла

Гла

Гла

Гла

Гла

Гла

Опра

Опра

Опис

Спич

Алф

СОДЕРЖАНИЕ

Предисловие	3
Глава I. Вещественный состав окисленных и полуокисленных руд сульфидных месторождений	5
Глава II. Текстуры и структуры окисленных руд	13
Глава III. Парагенетический и текстурно-структурный анализ окисленных медно-молибденовых руд	24
Глава IV. Морфологические виды срастаний гипогенных и гипергенных рудообразующих минералов, неблагоприятных для обогащения	30
Глава V. Методы изучения вещественного состава окисленных руд	42
Глава VI. Атлас таблиц для определения гипергенных и реликтовых гипогенных рудообразующих минералов	59
Определительная таблица I. Главные и второстепенные минералы	62
Определительная таблица II. Редкие и очень редкие минералы	64
Описательные таблицы	66
Список литературы	128
Алфавитный указатель минералов	132

Задачи по изучению
рудообразующих минералов
и методы их определения
для геологических
исследований

авторы: В. Я. Симонов, А. И. Григорьев,
В. Ф. А. З. О. Бакланова, Ю. О.
Бакланова, В. И. Симонов, А. А. Григорьев,
М. Г. А. А. Григорьев, А. А. Григорьев,
Г. А. Григорьев, В. Т. Григорьев
редактор: В. И. Симонов

издательство Университетской типографии
Министерства народного образования СССР
1958 год

На страницах 120-123 даны схемы геологических
контактов, которые изображены в виде схематиче-

Евгения Лукьяновна Афанасьева
Мария Прокофьевна Исаенко

ОПРЕДЕЛИТЕЛЬ
ГИПЕРГЕННЫХ МИНЕРАЛОВ
ОКИСЛЕННЫХ
СУЛЬФИДНЫХ РУД
В ОТРАЖЕННОМ СВЕТЕ

Редактор издательства Р. В. Добровольская
Обложка художника Ю. Г. Асафова
Художественный редактор Е. Л. Юрковская
Технический редактор А. Г. Иванова
Корректор Т. В. Чиркова
ИБ № 3785

Сдано в набор 19.08.80. Подписано в печать 16.02.81. Т-05601 Формат 70×100^{1/16}. Типографская бумага № 1. Гарнитура «Литературная». Печать высокая. Усл.-печ. л. 10,97. Уч.-изд. л. 10,33
Тираж 3000 экз. Заказ 587/8015-14. Цена 55 коп.